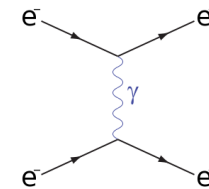
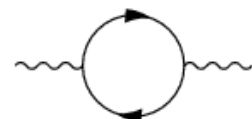


1. Quantenmechanische Beschreibung von Elektronen  
Dirac Gleichung → berücksichtigt Spin 1/2 des Elektrons  
→ relativistisch korrekt

2. Feynman-Regeln und -Diagramme  
- Elektronenstreuung  
- Wirkungsquerschnitte



3. Lagrange Formalismus ( $\Rightarrow$  Feynman-Regeln) und Eichprinzip ( $\Rightarrow$  Existenz des elektromagnetischen Feldes)
4. QED (Quanten-Elektro-Dynamik)



→ Unendlichkeiten in der Berechnung solcher Diagramme  
→ Renormierung,  $\Rightarrow$  laufende Kopplung  $\alpha(Q^2)$

---

## Literatur:

- Peter Schmüser, "Feynman-Graphen und Eichtheorien für Experimentalphysiker" Springer Verlag, 1988/1995 → Vorlesung folgt in Abschnitten 1.-3. weitgehend diesem Buch
- F. Halzen & A.D. Martin, "Quarks & Leptons" Wiley & Sons, 1984 → folgen wir insbesondere für Abschnitt 4.
- Otto Nachtmann, "Elementarteilchenphysik, Phänomene und Konzepte" Vieweg Verlag, 1986 zum "Tieferbohren": dieses Buch liefert auch den kompletten feldtheoretischen Hintergrund

# 1) Quantenmechanische Beschreibung von Elektronen

---

*Zur Erinnerung:* Grundlegende Axiome der QM:

1. Zustand eines Systems wird durch Zustandsvektor  $|\Psi\rangle$  beschrieben (in einem linearen Raum)
2. Physikalische Observablen: durch *hermitesche Operatoren* beschrieben:  
 $A^+ = (A^t)^* = A \quad \Rightarrow A$  hat reelle Eigenwerte
3. Erwartungswert einer Observablen:  $\langle A \rangle = \langle \Psi | A | \Psi \rangle$
4. Zeitentwicklung:  $i\hbar \frac{\partial \Psi}{\partial t} = H|\Psi\rangle$
5. Messung von  $A$ :  $|\Psi\rangle$  geht in den Eigenzustand  $|n\rangle$  über  
(Eigenwert  $a_n$  wurde gemessen, Reduktion der Wellenfunktion)

## 1.1 Schrödingergleichung

---

$$E \quad \xrightarrow{QM} \quad i\hbar \frac{\partial}{\partial t}$$

$$\vec{p} \quad \xrightarrow{QM} \quad -i\hbar \vec{\nabla}$$

→ Schrödingergleichung  $E = \frac{p^2}{2m}$

$$i\hbar \frac{\partial \Psi}{\partial t} = -\frac{\hbar^2}{2m} \nabla^2 \Psi \quad \text{mit } \Psi = \Psi(\vec{r}, t)$$

mit Potenzial

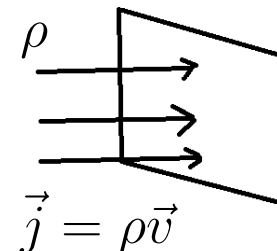
$$i\hbar \frac{\partial \Psi}{\partial t} = \left( -\frac{\hbar^2}{2m} \nabla^2 + V(\vec{r}, t) \right) \Psi$$

Lösung der freien Schrödingergleichung:

$$\Psi(\vec{r}, t) = \frac{1}{\sqrt{V}} e^{i\vec{k}\vec{r}} \cdot e^{-i\omega t}, \quad E = \hbar\omega, \quad \frac{p^2}{2m} = \frac{\hbar^2 k^2}{2m}$$

## 1.2 Kontinuitätsgleichung

Klassisch: Teilchenfluss durch Fläche



Lokaler Erhaltungssatz → Kontinuitätsgleichung:

$$\boxed{\frac{\partial \rho}{\partial t} + \vec{\nabla} \cdot \vec{j} = 0} \quad (\equiv \text{wenn die Dichte geringer wird muss an diesem Ort mehr raus- als reinfließen})$$

QM → Wahrscheinlichkeitsdichte:  $\rho = \Psi^* \Psi$  freies Teilchen  $\rho_{frei} = \frac{1}{V}$

Wahrscheinlichkeitsstromdichte:  $\vec{j} = \frac{\hbar}{2im} \left( \Psi^* (\vec{\nabla} \Psi) - (\vec{\nabla} \Psi^*) \Psi \right)$

Herleitung der K.Gl. aus Schrödinger Gl. (gute interaktive Übung!): benutze  $i\hbar \frac{\partial \Psi}{\partial t} = H\Psi$  und  $-i\hbar \frac{\partial \Psi^*}{\partial t} = H\Psi^*$

$$\begin{aligned} i\hbar \frac{\partial}{\partial t} (\Psi^* \Psi) &= i\hbar \frac{\partial \Psi^*}{\partial t} \Psi + i\hbar \Psi^* \frac{\partial \Psi}{\partial t} = -(H\Psi^*) \Psi + \Psi^* (H\Psi) \\ &= - \left( -\frac{\hbar^2}{2m} (\nabla^2 \Psi^*) \Psi + V \Psi^* \Psi \right) + \Psi^* \left( -\frac{\hbar^2}{2m} \nabla^2 \Psi + V \Psi \right) \\ &= -\frac{\hbar^2}{2m} (\Psi^* (\nabla^2 \Psi) - (\nabla^2 \Psi^*) \Psi) = -i\hbar \frac{\hbar^2}{2m} \vec{\nabla} \left( \Psi^* (\vec{\nabla} \Psi) - (\vec{\nabla} \Psi^*) \Psi \right) \end{aligned}$$

$$\rightarrow \frac{\partial \rho}{\partial t} = -\vec{\nabla} \cdot \vec{j}$$

## 1.3 Klein Gordon Gleichung

Versuch:  $E = \sqrt{p^2c^2 + m^2c^4}$  (relativistische Energie- Impulsbeziehung)

$$i\hbar \frac{\partial \Phi}{\partial t} = \sqrt{-\hbar^2 c^2 \nabla^2 + m^2 c^4} \Phi$$

Problem: Entwicklung nach  $\infty$  hohen Potenzen nötig!

deshalb:

$$E^2 = p^2 c^2 + m^2 c^4$$

$$-\hbar^2 \frac{\partial^2}{\partial t^2} \Phi = (-\hbar^2 c^2 \nabla^2 + m^2 c^4) \Phi \rightarrow \text{Klein Gordon Gleichung (1926)}$$

$$\rightarrow \left[ \frac{1}{c^2} \frac{\partial^2}{\partial t^2} - \Delta + \left( \frac{mc}{\hbar} \right)^2 \right] \Phi = 0 \quad \begin{matrix} \text{KGGL: ist 2. Ordnung in } t \text{ und in } \vec{x} \\ \Rightarrow \text{Lorentz kovariant} \end{matrix}$$

Lösungen:

$$\Phi_+(\vec{r}, t) = \frac{1}{\sqrt{V}} e^{i\vec{k}\vec{r} - i\omega t} \quad E = +\hbar\omega$$

$$\Phi_-(\vec{r}, t) = \frac{1}{\sqrt{V}} e^{i\vec{k}\vec{r} + i\omega t} \quad E = -\hbar\omega \quad \text{!!! Bedeutung?}$$

Einsetzen in KGGL:  $\hbar^2 \omega^2 = p^2 c^2 + m^2 c^4$ ;  $E = \pm \hbar\omega = \pm \sqrt{p^2 c^2 + m^2 c^4}$

# Kontinuitätsgleichung aus Klein Gordon Gleichung

$$\dot{\rho} + \operatorname{div} \vec{j} = 0 \quad \text{konstruiere } \rho \text{ und } \vec{j} \text{ die das erfüllen}$$

$$\rho = \frac{i\hbar}{2mc^2} [\Phi^* \dot{\Phi} - \dot{\Phi}^* \Phi], \quad \vec{j} = \frac{\hbar}{2im} [\Phi^* (\vec{\nabla} \Phi) - (\vec{\nabla} \Phi^*) \Phi]$$

---

Verifikation: (gute interaktive Übung!) benutze KGGL:

$$\ddot{\phi} = \left( c^2 \Delta + \frac{m^2 c^4}{\hbar^2} \right) \phi; \quad \ddot{\phi}^* = \left( c^2 \Delta + \frac{m^2 c^4}{\hbar^2} \right) \phi^*$$

$$\begin{aligned} \dot{\rho} &= \frac{i\hbar}{2mc^2} (\phi^* \ddot{\phi} - \ddot{\phi}^* \phi) = \frac{i\hbar}{2mc^2} \left[ \Phi^* (c^2 \Delta + \frac{m^2 c^4}{\hbar^2}) \Phi - (c^2 \Delta + \frac{m^2 c^4}{\hbar^2}) \Phi^* \Phi \right] \\ &= \frac{i\hbar}{2m} [\Phi^* \Delta \Phi - (\Delta \Phi^*) \Phi] = -\frac{\hbar}{2im} \vec{\nabla} [\Phi^* (\vec{\nabla} \Phi) - (\vec{\nabla} \Phi^*) \Phi] = -\vec{\nabla} \vec{j} \end{aligned}$$

---

$$\rho_+ = \frac{1}{V} \frac{\hbar \omega}{mc^2}, \quad \vec{j}_+ = \frac{1}{V} \frac{\hbar k}{m} = \frac{1}{V} \vec{v}$$

↪  $\rho \sim E$  → relativistische Volumenkontraktion,  $\rho^\mu = (\rho, \vec{j})$  ist Lorentz Vierervektor

$\rho_- < 0$  Problem !?

→ KGGL wurde aufgrund der nicht positiv definiten Wahrs. Dichte für die negativen Energielösungen verworfen! Rehabilitierung 1934 durch Pauli & Weisskopf, die gezeigt haben, dass man  $\rho_\pm$  als Ladungsdichte interpretieren kann wenn man es mit  $-e$  multipliziert. Die Lösungen mit der negativen Energie entsprechen Antiteilchen (Positronen) mit positiver Ladungsdichte. In der Quantenfeldtheorie ist KGGL die Feldgleichung für neutrale und geladene Mesonen mit Spin=0 (Pionen).

## 1.4 Die Dirac-Gleichung

2. Vorlesung, 9.4.2010

Suche Differentialgleichung 1. Ordnung in der Zeit,  
relativistische Kovarianz  $\Rightarrow$  1. Ordnung auch in Ortskoordinaten

$$H^{rel}\Psi = i\frac{\partial\Psi}{\partial t} \quad (\hbar = c = 1)$$

$\uparrow$  zu bestimmen

Ansatz:

$$\begin{aligned} H^{rel} &= \alpha_1 p_1 + \alpha_2 p_2 + \alpha_3 p_3 + \beta m \\ &= \vec{\alpha} \cdot \vec{p} + \beta m \end{aligned} \quad \text{mit } \vec{p} = \begin{pmatrix} p_1 \\ p_2 \\ p_3 \end{pmatrix} = -i \begin{pmatrix} \frac{\partial}{\partial x_1} \\ \frac{\partial}{\partial x_2} \\ \frac{\partial}{\partial x_3} \end{pmatrix}, \quad \vec{\alpha} = \begin{pmatrix} \alpha_1 \\ \alpha_2 \\ \alpha_3 \end{pmatrix}$$

Es muss gelten  $H^2 = \vec{p}^2 + m^2 \Rightarrow$  Bedingungen für  $\alpha_i$  und  $\beta$ :

$$1. \alpha_i \alpha_j + \alpha_j \alpha_i = 2\delta_{ij}$$

$$2. \alpha_i \beta + \beta \alpha_i = 0$$

$$3. \beta^2 = 1$$

$\Rightarrow \alpha_i, \beta$  sind nicht vertauschbar

Behauptung:  $\alpha_i, \beta$  müssen  $n \times n$  Matrizen sein mit  $n \geq 4$ .

## Dimension von $\alpha_i, \beta$ : $N \geq 4$

---

Beweis:

1.  $\alpha_j, \beta$  hermitesch, weil  $H$  hermitesch:  $\alpha_j^+ = ((\alpha_j)^*)^t, \beta^+ = \beta$
2.  $\alpha_j^2 = \beta^2 = 1 \Rightarrow$  Eigenwerte von  $\alpha_j, \beta$  sind  $\pm 1$ .
3.  $\alpha_j, \beta$  haben Spur=0

Beweis:

$$\text{Spur}(\alpha_j) = \text{Spur}(\beta \beta \alpha_j) = \text{Spur}(\beta \alpha_j \beta) = -\text{Spur}(\beta \beta \alpha_j) = -\text{Spur}(\alpha_j) = 0$$

$$\text{Spur}(\beta) = \text{Spur}(\alpha_i \alpha_i \beta) = \text{Spur}(\alpha_i \beta \alpha_i) = -\text{Spur}(\alpha_i \alpha_i \beta) = -\text{Spur}(\beta) = 0$$

Dabei benutzt:  $\text{Spur}(AB) = \text{Spur}(BA)$  und  $\alpha_j \beta = -\beta \alpha_j$

4.  $\text{Spur}(A) = \sum \text{Eigenwerte}$

Da die Eigenwerte  $\pm 1$ , muss  $N$  gerade sein

Falls  $N = 2$ : gibt nur drei linear unabhängige Matrizen

mit  $\text{Spur} = 0 \rightarrow$  Pauli Matrizen  $\sigma_1, \sigma_2, \sigma_3 \Rightarrow N \geq 4$

## Darstellung der $\alpha_j, \beta$ :

---

Die Paulimatrizen sind gegeben durch:

$$\sigma_1 = \begin{pmatrix} 0 & 1 \\ 1 & 0 \end{pmatrix}, \quad \sigma_2 = \begin{pmatrix} 0 & -i \\ +i & 0 \end{pmatrix}, \quad \sigma_3 = \begin{pmatrix} 1 & 0 \\ 0 & -1 \end{pmatrix}$$

Die Diracmatrizen sind gegeben durch:

$$\alpha_i = \begin{pmatrix} 0 & \sigma_i \\ \sigma_i & 0 \end{pmatrix}, \quad \beta = \begin{pmatrix} 1 & 0 \\ 0 & -1 \end{pmatrix} \quad (\text{Dirac Darstellung})$$

existieren andere Darstellungen, z.B. die von Weyl

$$\alpha_1 = \begin{pmatrix} 0 & 0 & 0 & 1 \\ 0 & 0 & 1 & 0 \\ 0 & 1 & 0 & 0 \\ 1 & 0 & 0 & 0 \end{pmatrix}, \quad \alpha_2 = \begin{pmatrix} 0 & 0 & 0 & -i \\ 0 & 0 & +i & 0 \\ 0 & -i & 0 & 0 \\ +i & 0 & 0 & 0 \end{pmatrix},$$

$$\alpha_3 = \begin{pmatrix} 0 & 0 & 1 & 0 \\ 0 & 0 & 0 & -1 \\ 1 & 0 & 0 & 0 \\ 0 & -1 & 0 & 0 \end{pmatrix}, \quad \beta = \begin{pmatrix} 1 & 0 & 0 & 0 \\ 0 & 1 & 0 & 0 \\ 0 & 0 & -1 & 0 \\ 0 & 0 & 0 & -1 \end{pmatrix}$$

Diracgleichung:  $i\hbar \frac{\partial \Psi}{\partial t} = -i\hbar c \vec{\alpha} \cdot \vec{\nabla} \Psi + mc^2 \beta \Psi$

Bedeutung? Was ist  $\Psi$ ?  $\Rightarrow$  4 Komponenten Spinor

$$\Psi = \begin{pmatrix} \Psi_1 \\ \Psi_2 \\ \Psi_3 \\ \Psi_4 \end{pmatrix}, \quad \Psi^+ = (\Psi_1^*, \Psi_2^*, \Psi_3^*, \Psi_4^*)$$

Vermutung:  $\rho = \Psi^+ \Psi = \Psi_1^* \Psi_1 + \Psi_2^* \Psi_2 + \dots = |\Psi_1|^2 + |\Psi_2|^2 + |\Psi_3|^2 + |\Psi_4|^2$

---

Aufstellung einer Kontinuitätsgleichung: ( $c = \hbar = 1$ )

$\Psi^+$ . Diracgleichung – komplex konjugierte Diracgleichung  $\cdot \Psi$

$$a) \quad \Psi^+ i \frac{\partial \Psi}{\partial t} = -i \Psi^+ \vec{\alpha} \cdot \vec{\nabla} \Psi + m \Psi^+ \beta \Psi$$

$$b) \quad -i \frac{\partial \Psi^+}{\partial t} \Psi = +i (\vec{\nabla} \Psi^+) \cdot \vec{\alpha} \Psi + m \Psi^+ \beta \Psi$$

$$\begin{aligned} \dot{\rho} &= \frac{\partial}{\partial t} \Psi^+ \Psi = \Psi^+ \frac{\partial \Psi}{\partial t} + \frac{\partial \Psi^+}{\partial t} \Psi = -i[a) - b)] \\ &= -\Psi^+ \vec{\alpha} \cdot \vec{\nabla} \Psi - (\vec{\nabla} \Psi^+) \cdot \vec{\alpha} \Psi = -\vec{\nabla} \vec{j}, \quad \text{mit } \vec{j} = \Psi^+ \vec{\alpha} \Psi \end{aligned}$$

# Nichtrelativistischer Grenzfall der Dirac-Gleichung

zunächst freies, ruhendes Elektron

$$\vec{k} = 0 \rightarrow \vec{\nabla} \Psi = 0$$

Diracgl.:  $i\hbar \frac{\partial \Psi}{\partial t} = mc^2 \beta \Psi$

$$i\hbar \frac{\partial}{\partial t} \begin{pmatrix} \Psi_1 \\ \Psi_2 \\ \Psi_3 \\ \Psi_4 \end{pmatrix} = mc^2 \begin{pmatrix} 1 & 0 & 0 & 0 \\ 0 & 1 & 0 & 0 \\ 0 & 0 & -1 & 0 \\ 0 & 0 & 0 & -1 \end{pmatrix} \begin{pmatrix} \Psi_1 \\ \Psi_2 \\ \Psi_3 \\ \Psi_4 \end{pmatrix}$$

→ 4 unabhängige Lsg.

$$\Psi_1 = e^{-i\omega_0 t} \begin{pmatrix} 1 \\ 0 \\ 0 \\ 0 \end{pmatrix}, \quad \Psi_2 = e^{-i\omega_0 t} \begin{pmatrix} 0 \\ 1 \\ 0 \\ 0 \end{pmatrix}, \quad \Psi_3 = e^{+i\omega_0 t} \begin{pmatrix} 0 \\ 0 \\ 1 \\ 0 \end{pmatrix}, \quad \Psi_4 = e^{+i\omega_0 t} \begin{pmatrix} 0 \\ 0 \\ 0 \\ 1 \end{pmatrix}$$

$$E_1 = E_2 = \hbar\omega_0 = mc^2$$

$$E_3 = E_4 = -\hbar\omega_0 = -mc^2$$

Für folgende Diskussion des nichtrelativistischen Grenzfalles:  
betrachte nur die positiven Energielösungen

## Grenzfall: Kleine, aber nichtverschwindende kinetische Energie

---

$$E = \sqrt{\vec{p}^2 c^2 + m^2 c^4} \approx \underbrace{mc^2}_{\hbar\omega_0} + \underbrace{\frac{\vec{p}^2}{2m}}_{\ll mc^2}$$

Ansatz:

$$\Psi(\vec{r}, t) \approx e^{-i\omega_0 t} \begin{pmatrix} \varphi(\vec{r}, t) \\ \chi(\vec{r}, t) \end{pmatrix} \quad (\varphi, \chi \text{ haben jeweils 2 Kompon.})$$

$\varphi, \chi$  nur "langsam" zeitabhängig:  $\varphi, \chi \sim e^{-i\omega' t}$  mit  $\hbar\omega' = \frac{\vec{p}^2}{2m}$

Zeige im Folgenden:  $\chi \ll \varphi$  und  $\varphi$  erfüllt Schrödingergleichung

$$\Psi = e^{-i\omega_0 t} \begin{pmatrix} \varphi(\vec{r}, t) \\ \chi(\vec{r}, t) \end{pmatrix} \text{ in Diracgl. mit } \alpha_i = \begin{pmatrix} 0 & \sigma_i \\ \sigma_i & 0 \end{pmatrix}$$

$$\rightarrow \hbar\omega_0 \begin{pmatrix} \varphi \\ \chi \end{pmatrix} + i\hbar \begin{pmatrix} \dot{\varphi} \\ \dot{\chi} \end{pmatrix} = c \begin{pmatrix} 0 & \vec{\sigma} \cdot \vec{p} \\ \vec{\sigma} \cdot \vec{p} & 0 \end{pmatrix} \begin{pmatrix} \varphi \\ \chi \end{pmatrix} + mc^2 \begin{pmatrix} 1 & 0 \\ 0 & 1 \end{pmatrix}$$

$$\rightarrow \text{Gl. für } \chi: \underbrace{i\hbar \dot{\chi}}_{\hbar\omega' \chi \approx 0 \ll mc^2} = c \vec{\sigma} \cdot \vec{p} \varphi - 2mc^2 \chi \quad \Rightarrow \chi \approx \frac{\vec{\sigma} \cdot \vec{p}}{2mc} \varphi$$

$$\chi^+ \chi = \frac{(\vec{\sigma} \cdot \vec{p})^2}{4m^2c^2} \varphi^+ \varphi = \underbrace{\frac{\vec{p}^2}{2m}}_{\ll 1} \cdot \underbrace{\frac{1}{2mc^2}}_{\ll 1} \varphi^+ \varphi$$

d.h. für freies nichtrelativist. Elektronen:  $\chi^+ \chi \ll \varphi^+ \varphi$

---

Einschub: Beweis  $(\vec{\sigma} \cdot \vec{p})^2 = \vec{p}^2 \mathbf{1}$

$$\begin{aligned} \vec{\sigma} \cdot \vec{p} &= \sigma_1 p_x + \sigma_2 p_y + \sigma_3 p_z = \begin{pmatrix} 0 & p_x \\ p_x & 0 \end{pmatrix} + \begin{pmatrix} 0 & -ip_y \\ +ip_y & 0 \end{pmatrix} + \begin{pmatrix} p_z & 0 \\ 0 & -p_z \end{pmatrix} = \begin{pmatrix} p_z & p_x - ip_y \\ p_x + ip_y & -p_z \end{pmatrix} \\ &\begin{pmatrix} p_z & p_x - ip_y \\ p_x + ip_y & -p_z \end{pmatrix} \begin{pmatrix} p_z & p_x - ip_y \\ p_x + ip_y & -p_z \end{pmatrix} = \begin{pmatrix} p_z^2 + p_x^2 + p_y^2 & 0 \\ 0 & p_z^2 + p_x^2 + p_y^2 \end{pmatrix} \end{aligned}$$


---

Gleichung für die (grosse)  $\varphi$ -Komponente

$$\underbrace{\hbar\omega_0}_{mc^2} \varphi + i\hbar\dot{\varphi} = c\vec{\sigma} \cdot \vec{p}\chi + mc^2\varphi$$

$$i\hbar \frac{\partial \varphi}{\partial t} = \frac{(\vec{\sigma} \cdot \vec{p})^2}{2m} \varphi = \frac{\vec{p}^2}{2m} \varphi \quad \rightarrow \text{Schroedingergleichung!}$$

# Nichtrelativ. Grenzfall der Diracgl. im elektromagnetischen Feld

---

zur Erinnerung:

$$H_{\text{ohne Feld}}^{\text{Schrödinger}} = \frac{\vec{p}^2}{2m}$$

$$H_{\text{mit Feld}} = \frac{(\vec{p} - q\vec{A})^2}{2m} + q\Phi$$

Hier  $\vec{A}$  = Vektorpotenzial und  $q\Phi$  = potenzielle Energie im elektrischen Feld

$$\underbrace{\vec{p}}_{\text{ohne Feld}} \longrightarrow \vec{P} = (\vec{p} - q\vec{A})$$

$\vec{P}$  ist der kanonische Impuls aus Langrangefunktion und  $\vec{p}$  der kinetische Impuls

---

nichtrelativistische Grenzfall der Dirac-Gleichung mit elektromagnetischem Feld:

$$\begin{aligned} i\hbar\dot{\varphi} &= \frac{1}{2m}(\vec{\sigma} \cdot \vec{P})(\vec{\sigma} \cdot \vec{P})\varphi + q\Phi\varphi \\ &= \frac{1}{2m} \left( \vec{\sigma}(\vec{p} - q\vec{A}) \right) \left( \vec{\sigma}(\vec{p} - q\vec{A}) \right) \varphi + q\Phi\varphi \end{aligned}$$

Übungsblatt 1  $\Rightarrow$  Pauli Gl. herleiten

## Pauli-Gleichung und $g$ Faktor

Mit  $q = -e$  (Elektron) und  $\vec{\nabla} \times \vec{A} = \vec{B}$

$$\hookrightarrow i\hbar \frac{\partial \varphi}{\partial t} = \left[ \frac{1}{2m} (-i\hbar \vec{\nabla} + e\vec{A})^2 + \frac{e\hbar}{2m} \vec{\sigma} \cdot \vec{B} - e\Phi \right] \varphi \quad \text{Pauli Gleichung}$$

Term  $\frac{e\hbar}{2m} \vec{\sigma} \cdot \vec{B} = -\vec{\mu} \cdot \vec{B}$  = potenzielle Energie des magnetischen Momentes des Elektrons mit dem äusseren Magnetfeld, dieser Term fehlt in der Schrödinger-Gleichung, weil Sie nichts vom Spin des Elektrons weiss!

$$|\mu_{\text{Elektron}}| = g \cdot \frac{e}{2m} \cdot \frac{\hbar}{2}$$

g-Faktor      gyromagnet.  
                    Verhältnis      Spin

Aus Pauli Gl.  $\rightarrow g = 2$ , Gemessen  $g = 2^a$ , klassisch nicht erklärbar  
 $\Rightarrow$  wichtiger Erfolg der Dirac-Gleichung

---

<sup>a</sup>kleine Abweichung von  $g=2$  durch QED Effekte, Diskussion später

# Dirac Gleichung relativistischer Fall

3. Vorlesung, 13.4.2010

Freie Dirac Gleichung (ohne Feld):  $(\hbar = c = 1)$

$$i\hbar \frac{\partial \Psi}{\partial t} = [\vec{\alpha} \cdot \vec{p} + m\beta] \Psi$$

$$\vec{\alpha} = \begin{pmatrix} 0 & \vec{\sigma} \\ \vec{\sigma} & 0 \end{pmatrix}, \quad \beta = \begin{pmatrix} 1 & 0 \\ 0 & -1 \end{pmatrix}$$

$\uparrow 2 \times 2$  Pauli Matrizen

Lösungsansatz:

$$\Psi(x) = \begin{pmatrix} \varphi(p) \\ \chi(p) \end{pmatrix} e^{\mp ipx} \leftarrow \begin{array}{l} \downarrow \text{pos. Energie} \\ \uparrow \text{neg. Energie} \end{array}$$

$$e^{\mp ipx} \leftarrow \mp i(Et - \vec{p} \cdot \vec{x})$$

Lösungen  $\sim e^{-ipx}$  (pos. Energie):

$$i \frac{\partial}{\partial t} \left[ \begin{pmatrix} \varphi \\ \chi \end{pmatrix} e^{-ipx} \right] = \left[ \begin{pmatrix} 0 & \vec{\sigma} \cdot \vec{p} \\ \vec{\sigma} \cdot \vec{p} & 0 \end{pmatrix} + \begin{pmatrix} m & 0 \\ 0 & -m \end{pmatrix} \right] \begin{pmatrix} \varphi \\ \chi \end{pmatrix} e^{-ipx}$$

$$(E - m)\varphi - \vec{\sigma} \cdot \vec{p}\chi = 0$$

$$(E + m)\chi - \vec{\sigma} \cdot \vec{p}\varphi = 0$$

gekoppelte Gl. für  $\varphi, \chi$

$$\hookrightarrow \chi = \frac{\vec{\sigma} \cdot \vec{p}}{E + m} \varphi; \quad \vec{\sigma} \cdot \vec{p} = \begin{pmatrix} p_z & p_x - ip_y \\ p_x + ip_y & -p_z \end{pmatrix}$$

Obere Gl. damit automatisch erfüllt:

$$(E - m)\varphi - \underbrace{(\vec{\sigma} \cdot \vec{p}) \frac{\vec{\sigma} \cdot \vec{p}}{E + m}\varphi}_{\frac{\vec{p}^2}{E+m}\varphi} = 0$$

$$\frac{\vec{p}^2}{E+m}\varphi = \frac{E^2 - m^2}{E+m}\varphi = (E - m)\varphi$$

Wähle  $\varphi_1 = N \begin{pmatrix} 1 \\ 0 \end{pmatrix}; \quad \varphi_2 = N \begin{pmatrix} 0 \\ 1 \end{pmatrix}; \Rightarrow$  Lsg. der Dirac-Gl.:  $u_1(p)e^{-ipx}, u_2(p)e^{-ipx}$

$$u_1(p) = N \begin{pmatrix} 1 \\ 0 \\ \frac{p_z}{E+m} \\ \frac{p_x + ip_y}{E+m} \end{pmatrix}, \quad u_2(p) = N \begin{pmatrix} 0 \\ 1 \\ \frac{p_x - ip_y}{E+m} \\ \frac{-p_z}{E+m} \end{pmatrix}$$

Lösungen negativer Energie  $\mathcal{E} = -E < 0$ :  $v_1(p)e^{+ipx}, v_2(p)e^{+ipx}$

$$(-E - m)\varphi + \vec{\sigma} \cdot \vec{p}\chi = 0$$

$$(-E + m)\chi + \vec{\sigma} \cdot \vec{p}\varphi = 0$$

$$\varphi = \frac{\vec{\sigma} \cdot \vec{p}}{E + m}\chi \quad \text{Hier: wähle } \chi_1 = N \begin{pmatrix} 0 \\ 1 \end{pmatrix}, \chi_2 = N \begin{pmatrix} 1 \\ 0 \end{pmatrix}$$

$$v_1(p) = N \begin{pmatrix} \frac{p_x - ip_y}{E+m} \\ \frac{-p_z}{E+m} \\ 0 \\ 1 \end{pmatrix}, \quad v_2(p) = N \begin{pmatrix} \frac{p_z}{E+m} \\ \frac{p_x + ip_y}{E+m} \\ 1 \\ 0 \end{pmatrix}$$

# Normierung der Spinoren

---

$$\Psi^+ \Psi \longrightarrow u^+ u, v^+ v$$

Beliebteste Möglichkeiten für  $N$ :

a)  $N_{\text{Bjorken,Drell}} = \sqrt{\frac{E+m}{2m}}$   $\rightarrow u^+ u = \frac{E}{m}$  ( $=1$  im Ruhesystem)

b)  $N_{\text{Eichtheorien}} = \sqrt{E+m}$   $\rightarrow u^+ u = 2E$  ( $=2m$  im Ruhesystem)

---

Komplette Lösungen:

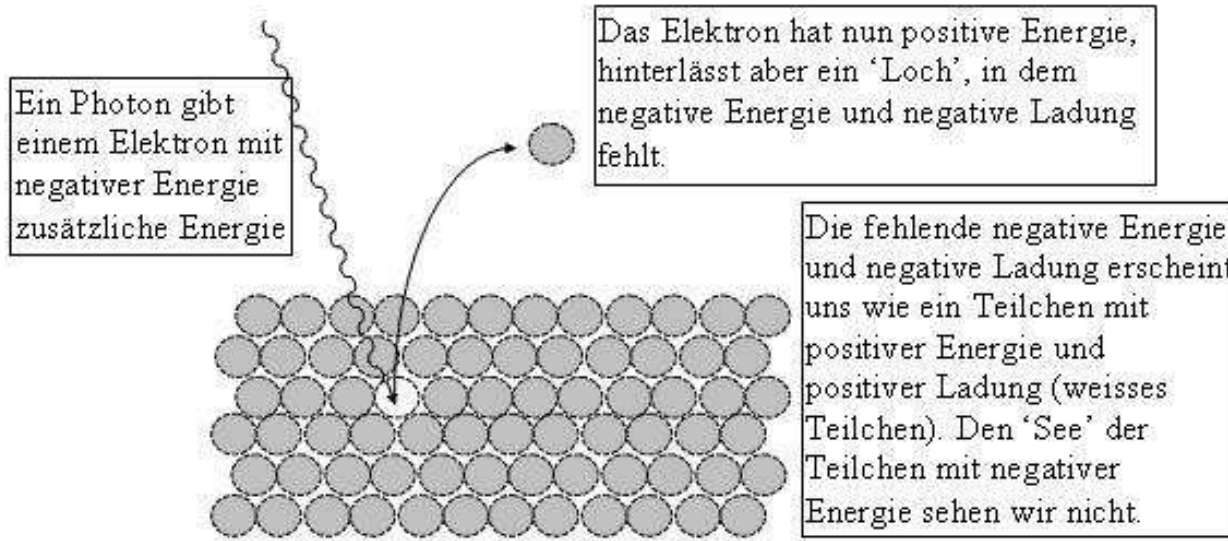
$$\Psi_+(x) = u_{1,2}(p) e^{-iEt} e^{+i\vec{p}\cdot\vec{x}}$$

$$\Psi_-(x) = v_{1,2}(p) e^{+iEt} e^{-i\vec{p}\cdot\vec{x}}$$

$\rightarrow$  Problem: neg. Energie!

# Interpretation der Lösungen negativer Energie:

- ① Dirac-See: Alle negativen Energieniveaus besetzt  $\equiv$  "See" von Elektronen



$\rightarrow$  erklärt  $\gamma \rightarrow e^+e^-$  Paarerzeugung ( $E_\gamma > 2m_e c^2$ )

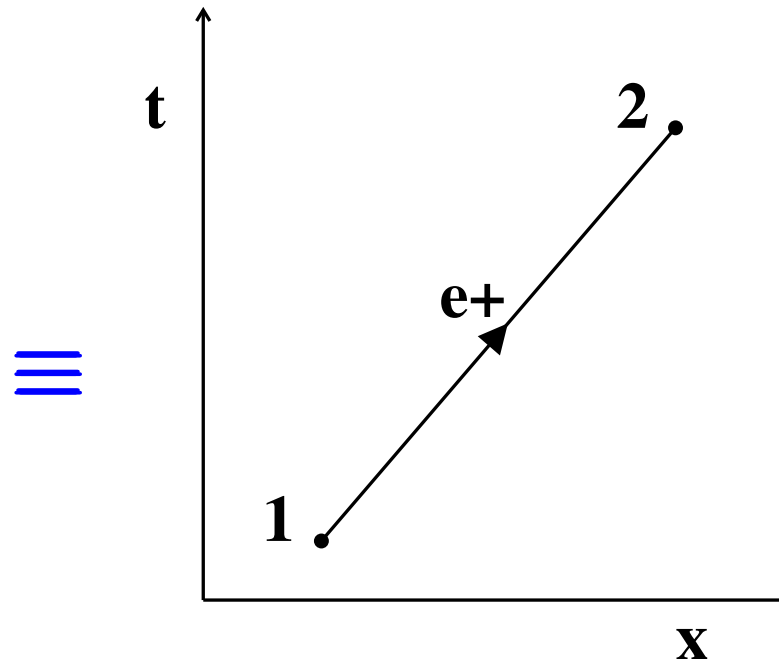
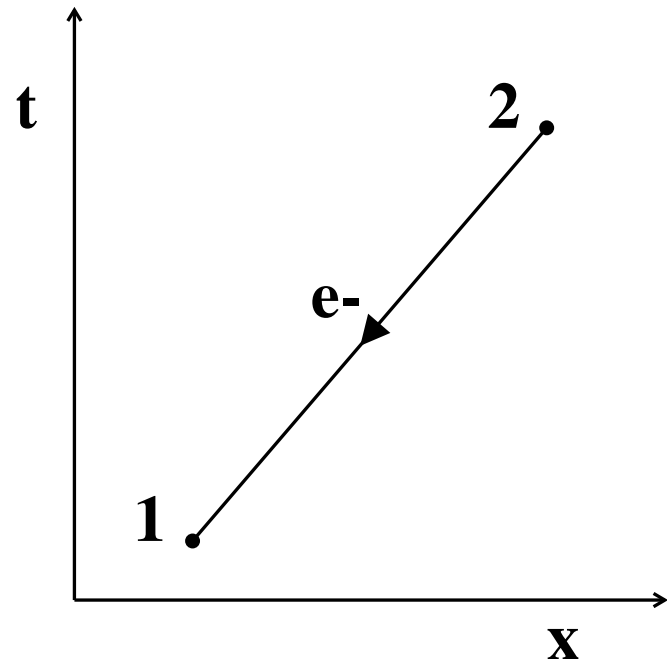
Entdeckung der Positronen 1932 durch C.D. Anderson

② Feynman - Stückelberg Interpretation (um 1934)

Wellenfunktion Energie  $< 0$ , Teilchen  $e^-$ , läuft rückwärts in der Zeit



Wellenfunktion Energie  $< 0$ , Antiteilchen  $e^+$ , läuft vorwärts in der Zeit



# Moderne Schreibweise der Diracgl. mit $\gamma$ Matrizen

---

Vierervektoren:

kontravariante (wie  $x^\mu$ ) und kovariante (wie  $x_\mu$ )

$$p^\mu = (E, p_x, p_y, p_z) = (E, p_1, p_2, p_3) = (E, \vec{p}), \quad \mu = 0, 1, 2, 3$$

$$p_\mu = (E, -\vec{p}) \quad \sum_\mu p^\mu p_\mu = E^2 - \vec{p}^2 = m^2 \quad \text{Lorentz-invariant}$$

Metrischer Tensor  $g_{\mu\nu}$ :

$$g_{\mu\nu} = g^{\mu\nu} = \begin{pmatrix} 1 & 0 & 0 & 0 \\ 0 & -1 & 0 & 0 \\ 0 & 0 & -1 & 0 \\ 0 & 0 & 0 & -1 \end{pmatrix} \quad p_\mu = g_{\mu\nu} p^\nu := \sum_{\nu=0}^3 g_{\mu\nu} p^\nu$$

↑ Einsteinsche Summenkonvention

Lorentz invariantes Skalarprodukt von 4-Vektoren:

$$ab = a_\mu b^\mu = a^\mu b_\mu = a^\mu g_{\mu\nu} b^\nu = a_0 b_0 - \vec{a} \cdot \vec{b}$$

$a^2 > 0$  zeitartig,  $a^2 = 0$  lichtartig,  $a^2 < 0$  raumartig

## Lorentz-Trafo:

$$x'^\nu = a_\mu^\nu x^\mu \quad \text{LT in } z\text{-Richtung:} \quad a_\mu^\nu = \begin{pmatrix} \gamma & 0 & 0 & -\gamma\beta \\ 0 & 1 & 0 & 0 \\ 0 & 0 & 1 & 0 \\ -\gamma\beta & 0 & 0 & \gamma \end{pmatrix}$$

---

## Beispiele für Vierervektoren:

Zeit-Ort  $x^\mu = (t, \vec{x})$

Energie-Impuls  $p^\mu = (E, \vec{p})$

elektromagn. Viererpotential  $A^\mu = (\Phi, \vec{A})$

Viererstromdichte  $j^\mu = (\rho, \vec{j})$

Gradient  $\partial^\mu = \left( \frac{\partial}{\partial t}, -\vec{\nabla} \right) \quad (\text{weil } \partial^\mu = \frac{\partial}{\partial x_\mu})$

## Diracgleichung und $\gamma$ -Matrizen

---

$$\gamma^0 = \beta, \gamma^1 = \beta\alpha_1, \gamma^2 = \beta\alpha_2, \gamma^3 = \beta\alpha_3$$

Dirac-Pauli Darstellung:

$$\gamma^0 = \begin{pmatrix} 1 & 0 \\ 0 & 1 \end{pmatrix}, \quad \gamma^i = \begin{pmatrix} 0 & \sigma_i \\ -\sigma_i & 0 \end{pmatrix}, \quad i = 1, 2, 3$$

$\beta$ . Diracgleichung ( $\hbar = c = 1$ )

$$i \left( \beta \frac{\partial \Psi}{\partial t} + \beta \alpha_1 \frac{\partial \Psi}{\partial x_1} + \beta \alpha_2 \frac{\partial \Psi}{\partial x_2} + \beta \alpha_3 \frac{\partial \Psi}{\partial x_3} \right) - m \beta^2 \Psi = 0$$

$$\left\{ +i \left[ \gamma^0 \frac{\partial}{\partial t} + \gamma^1 \frac{\partial}{\partial x_1} + \gamma^2 \frac{\partial}{\partial x_2} + \gamma^3 \frac{\partial}{\partial x_3} \right] - m \mathbf{1} \right\} \Psi = 0$$

$$\gamma^\mu = (\gamma^0, \gamma^1, \gamma^2, \gamma^3) \quad \text{Achtung! Ist kein 4-Vektor, } \gamma^\mu \text{ sind in jedem Lorentzsystem gleich}$$

$(i\gamma^\mu \partial_\mu - m)\Psi(x) = 0$

Diracgleichung

## Eigenschaften der $\gamma$ -Matrizen:

---

$$\gamma^\mu \gamma^\nu + \gamma^\nu \gamma^\mu = 2g^{\mu\nu} \cdot \mathbf{1}$$

$$(\gamma^0)^+ = \gamma^0 \quad (\gamma^k)^+ = -\gamma^k, \quad k = 1, 2, 3$$

$$(\gamma^0)^2 = \mathbf{1} \quad (\gamma^k)^2 = -\mathbf{1}$$

$$(\gamma^\mu)^+ = \gamma^0 \gamma^\mu \gamma^0$$

---

Weitere Abkürzungen:

$$\not{a} \equiv \gamma^\mu a_\mu$$

"a dagger, a slash"

$$\Rightarrow (i\not{\partial} - m)\Psi = 0 \quad \text{Diracgleichung}$$

# Dirac Gl. mit elektromagnetischem Feld $A^\mu$

---

$$p_\mu = i\partial_\mu \xrightarrow{\text{Eichtheorie}} p_\mu - qA_\mu = i\partial_\mu - qA_\mu$$
$$\partial_\mu \rightarrow \partial_\mu + iqA_\mu$$

$$(i\gamma^\mu \partial_\mu - m)\Psi(x) = g\gamma^\mu A_\mu \Psi(x)$$

$$(i\cancel{\partial} - m)\Psi = q\cancel{A}\Psi$$

---

Adjungierter Spinor und Vierer-Stromdichte:

Def.  $\bar{\Psi} \equiv \psi^+ \gamma^0$  adjungierter Spinor

Warum nützlich?  $\Psi^+ \Psi = \rho$ , Wahrs.Dichte, transformiert bei LT  $\sim E$

$\bar{\Psi}\Psi$  ist ein Skalar, s. Übungsblatt 2.1

Def.  $j^\mu = \bar{\Psi} \gamma^\mu \psi$

$$j^0 = \bar{\Psi} \gamma^0 \Psi = \Psi^+ \gamma^0 \gamma^0 \Psi = \Psi^+ \Psi = \rho, \quad \underbrace{j^k}_{k=1,2,3} = \bar{\Psi} \gamma^k \Psi = \Psi^+ \gamma^0 \gamma^k \Psi = \Psi^+ \beta \beta \alpha_k \Psi = \Psi^+ \alpha_k \Psi$$

Diracgleichung für den adjungierten Spinor  $\bar{\Psi}$ :  
 $i\partial_\mu \bar{\Psi} \gamma^\mu + m\bar{\Psi} = 0$

## Fragen und Antworten von der Stunde 13.4.2010:

- Man kann Teilchen mit
  - negativer Energie die sich rückwaerts in der Zeit ausbreiten behandeln wie
  - Antiteilchen mit positiver Energie die sich vorwärts in der Zeit ausbreiten.

Frage: ist es besser a) oder b) zu benutzen und gibt es irgenwelche Unterschiede?

Antwort: a) und b) sind absolut äquivalent und es gibt keine Unterschiede. Das sieht man z.B. wenn man das Skalarprodukt von einem auslaufenden Teilchen mit negativer Energie  $\phi_f = e^{iE_f t - i\vec{p}_f \cdot \vec{x}}$  mit einem einlaufenden Zustand mit positiver Energie  $\phi_i = e^{-iE_i t + i\vec{p}_i \cdot \vec{x}}$  bildet:

$$\begin{aligned} \langle \phi_f | \phi_i \rangle &= \int d^3x \phi_f^*(\vec{x}) \phi_i \vec{x} = \int d^3x e^{-iE_f t + \vec{p}_f \cdot \vec{x}} e^{-iE_i t + \vec{p}_i \cdot \vec{x}} \\ &\equiv \int d^3x e^{+i(-E_i)t - i(-\vec{p}_i) \cdot \vec{x}} e^{-iE_f t + \vec{p}_f \cdot \vec{x}} \equiv \langle \phi_{i_{E_i \rightarrow -E_i, \vec{p}_i \rightarrow -\vec{p}_i}} | \phi_{f_{-E_f \rightarrow E_f, -\vec{p}_f \rightarrow \vec{p}_f}} \rangle \end{aligned}$$

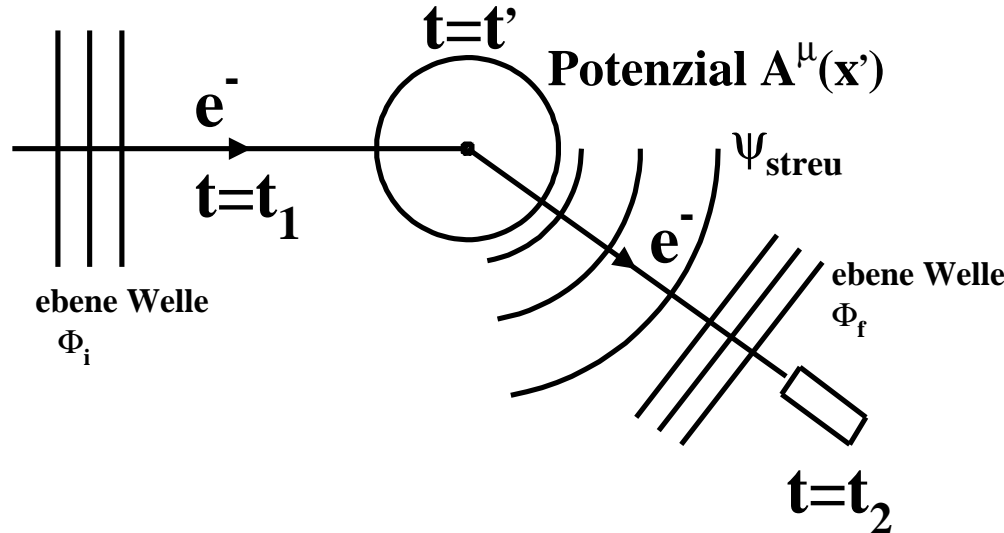
D.h. Ein- und Auslaufen von Teilchen und Antiteilchen kann man gegeneinander austauschen wenn man Energie und Impuls umdreht. (Nebenbei: Physikalische Observable werden immer durch solche Skalarprodukte (Matrixelemente) beschrieben). Mehr dazu im Schmüserbuch Kapitel 3., S29 ff

- Wo kommt es her, dass  $S = \begin{pmatrix} \vec{\sigma} & 0 \\ 0 & \vec{\sigma} \end{pmatrix} \rightarrow$  Die Paulimatrizen sind Repräsentanten der SU2 Drehgruppe und charakterisieren in der Quantenmechanik den Spin von Spin 1/2 Teilchen s. [http://en.wikipedia.org/wiki/Pauli\\_matrices](http://en.wikipedia.org/wiki/Pauli_matrices) Für die Diracspinoren müssen wir das noch auf die Vierervektoren verallgemeinern, d.h. die Teilchen und Antiteilchen gleichzeitig beschreiben.
- Beweis, dass  $\partial^\mu = \frac{\partial}{\partial x_\mu} = (\frac{\partial}{\partial t}, -\vec{\nabla})$  sich wie kontravarianter Vierervektor verhält (d.h. wie  $x^\mu$ ). Wenn wir als Beispiel nehmen  $\partial^\mu S$  mit  $S = x_\nu x^\nu = x_0 x_0 - x_1 x_1 - x_2 x_2 - x_3 x_3$  ( $S$  ist ein Lorentzskalar, d.h. invariant unter LTs) finden wir sofort:  $\partial^\mu S = 2x^\mu = 2(x_0, x_1, x_2, x_3)$  d.h. verhält sich wie kontravarianter Vektor  $x^\mu$ . (Formaler Beweis auch über LT von  $\frac{\partial}{\partial x_\mu}$  möglich.)

## 2. Herleitung der Feynman-Regeln

4. Vorlesung, 16.4.2010

Matrixelement von Streuprozessen (z.B. Elektronenstreuung)



Von Streuwelle  $\Psi_{\text{Streu}}$  wird nur Anteil  $\Phi_f$  mit  $\vec{p}_f$  gemessen. Wahrscheinlichkeit für Übergang  $\Phi_i \rightarrow \phi_f$  ist gegeben durch:

$$\begin{aligned} S_{fi} &\equiv \langle \Phi_f | \Psi_{\text{streu}} \rangle = \langle \Phi_f | S | \Phi_i \rangle \\ \sigma, \frac{\partial \sigma}{\partial \Omega}, \Gamma \cancel{\downarrow} &= \int d^3x_2 \Phi_f^+(x_2) \Psi_{\text{streu}}(x_2) = \underbrace{\int d^3x_2 \Phi_f^+(x_2) S \Psi_i(x_2)}_{\text{Störungstheorie, Feynmangraphen}} \end{aligned}$$

## Berechnung von $\Psi_{Streu}$ (Kapitel 4 Schmüser)

---

$$(i\gamma^\mu \partial_\mu - m)\Psi_{streu}(x) = -e\gamma^\mu A_\mu(x)\Psi_{streu}(x) = -eA\Psi_{streu}(x)$$

Erinnerung: Lösung von DGLs mit Greenschen Funktion

↪ Bsp. Elektrostat. Potenzial:

$$\nabla^2 \Phi(x) = -\rho(x) \quad \text{Poissongleichung}$$

Lösung ist

$$\Phi(x) = \int G(\vec{x} - \vec{x}') \rho(\vec{x}') d^3x'$$

mit Greenscher Funktion:

$$G(\vec{x} - \vec{x}') = \frac{1}{4\pi |\vec{x} - \vec{x}'|}, \quad \text{denn } \nabla^2 G(\vec{x} - \vec{x}') = -\delta^3(\vec{x} - \vec{x}')$$

# Greensche Funktion für Diracgleichung mit Feld

$$(i\not{\partial} - m)K(x - x') = \delta^4(x - x')$$

↑ gesucht

$$\Psi(x) = -e \int K(x - x') \mathcal{A}\Psi(x') d^4x'$$

Integralgleichung                      ↑  $\Psi$  taucht wieder auf

Vorteil: Iterative Lösung möglich → Störungstheorie

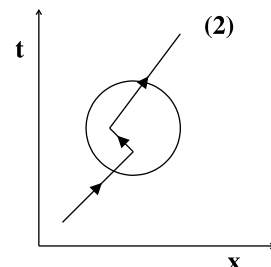
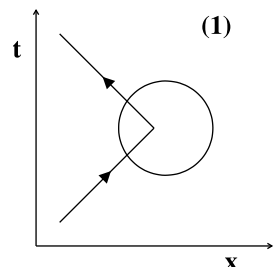
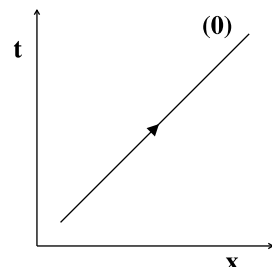
$$\Psi^{(0)}(x) = \Phi(x) \quad \text{ebene Welle}$$

$$\Psi^{(1)}(x) = \Phi(x) - e \int K(x - x') \mathcal{A}\Psi^{(0)}(x') d^4x$$

$$\Psi^{(2)}(x) = \Phi(x) - e \int K(x - x') \mathcal{A}\Psi^{(1)}(x') d^4x$$

Allgemeine Lösung einer DGL

= Lsg. des homogenen Systems +  
spezielle Lsg. des inh. Systems



Störungstheorie Terme für  $S_{fi}^2 \sim \alpha^{0,1,2}$   
mit  $\alpha = \frac{e^2}{4\pi\hbar c} = 1/137$

# Der Elektronpropagator

Berechnung der Greenschen Funktion  $K(x - x')$  → Propagator!

$$K(x - x') = \frac{1}{(2\pi)^4} \int d^4 p \tilde{K}(p) e^{-ip(x-x')}$$

↑ Fouriertransf. von  $K$

$$(i\nabla - m)K(x - x') = \frac{1}{(2\pi)^4} \int d^4 p (\not{p} - m) \tilde{K}(p) e^{-ip(x-x')}$$

fordere  $\delta^4(x - x') = \frac{1}{(2\pi)^4} \int d^4 p e^{-ip(x-x')}$

$$\Rightarrow (\not{p} - m) \tilde{K}(p) = 1$$

$$\underbrace{(\not{p} + m)(\not{p} - m)}_{p^2 - m^2} \tilde{K}(p) = (\not{p} + m)$$

$$\tilde{K}(p) = \frac{\not{p} + m}{p^2 - m^2}$$

Elektronpropagator

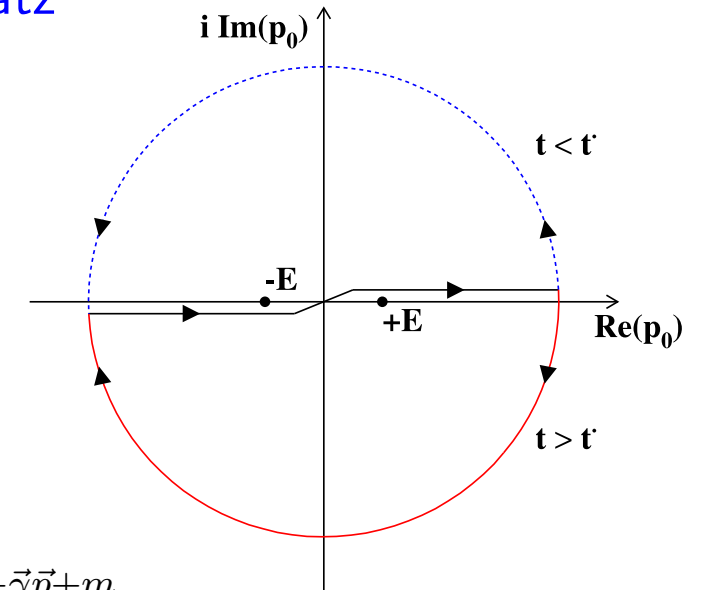
Beachte:  $p^2 - m^2 \neq 0$ , virtuelles Teilchen! (reelles Teilchen:  $p^2 = E^2 - \vec{p}^2 = m^2$ )

Wie sieht  $K(x - x')$  aus?

$$K(x - x') = \frac{1}{(2\pi)^4} \int d^3 p e^{i\vec{p}(\vec{x}-\vec{x}')} \underbrace{\int_{-\infty}^{\infty} dp_0 \frac{e^{-ip_0(t-t')}}{(p_0 - E)(p_0 + E)}}_{\text{Pole bei } p_0 = \pm E} \quad \text{mit } E = +\sqrt{\vec{p}^2 + m^2}$$

Integral konvergiert nicht bei Integration über reelle Achse (über  $p_0$ )

Trick: Erweiterung auf komplexe  $p_0$  Ebene → **Residuensatz**



$t > t'$ :

$$K(x - x') \underset{\text{Pol } +E}{=} -i \frac{1}{(2\pi)^3} \int d^3 p e^{+i\vec{p}(\vec{x}-\vec{x}')} -iE(t-t') \frac{\gamma^0 E - \vec{\gamma} \vec{p} + m}{2E}$$

$t < t'$ :

$$K(x - x') \underset{\text{Pol } -E}{=} -i \frac{1}{(2\pi)^3} \int d^3 p e^{+i\vec{p}(\vec{x}-\vec{x}')} +iE(t-t') \frac{-\gamma^0 E - \vec{\gamma} \vec{p} + m}{2E}$$

Äquivalente Herleitung  $\tilde{K}(p) = \frac{\not{p} + m}{p^2 - m^2 + i\epsilon}$

## Warum heisst $K(x'-x)$ Propagator?

---

$K(x - x')$  bewirkt Propagation (Ausbreitung) eines freien Dirac Spinors von  $x'$  nach  $x$ :

$$t > t' : \quad i \int d^3x' K(x - x') \gamma^0 \phi(x') = \Phi(x)$$

$$t < t' : \quad i \int d^3x' K(x - x') \gamma^0 \phi(x') = 0$$

Mit  $\bar{\phi}(x) = \phi^+ \gamma^0$ :

$$t < t' : \quad i \int d^3x' \bar{\phi}(x') \gamma^0 K(x - x') = \bar{\phi}(x)$$

$$t > t' : \quad i \int d^3x' \bar{\phi}(x') \gamma^0 K(x - x') = 0$$

## Beweis für Propagatorrolle von $K$ :

---

$$\phi(x') = u(k) e^{-ik_0 t' + i\vec{k} \cdot \vec{x}'}$$

$$\phi(x) = \underbrace{\int d^3 p \frac{1}{(2\pi)^3} \int d^3 x' e^{i(\vec{k}-\vec{p}) \cdot \vec{x}'} \frac{\gamma^0 E - \vec{\gamma} \cdot \vec{k} + m}{2E} e^{i(E-k_0)t'}}_{\delta^3(\vec{k}-\vec{p}) \Rightarrow \vec{k}=\vec{p} \text{ und } k_0=E} u(k) e^{i\vec{p} \cdot \vec{x} - iEt}$$

$$= e^{-ik_0 t + i\vec{k} \cdot \vec{x}} \frac{\gamma^0 E - \vec{\gamma} \cdot \vec{k} + m}{2k_0} \gamma^0 u(k) = ?$$

$$(\gamma^0 k_0 - \vec{\gamma} \cdot \vec{k} + m) \gamma^0 u(k) = \gamma^0 [\gamma^0 k_0 u(k) + \underbrace{(\vec{\gamma} \cdot \vec{k} + m) u(k)}_{Dirac-Gl.=\gamma^0 k_0 u(k)}]$$

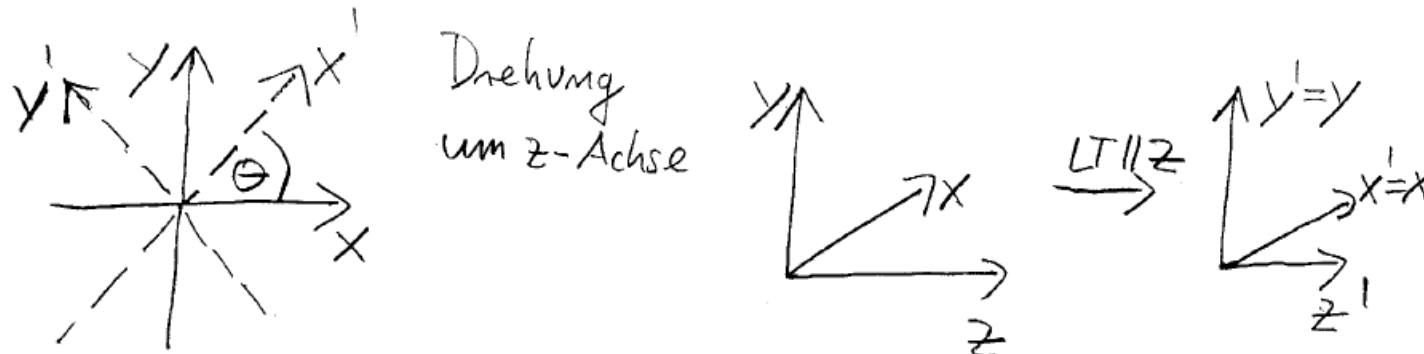
$$= 2k_0 u(k)$$

↪ **einsetzen** →  $\phi(x) = e^{-ik_0 t + i\vec{k} \cdot \vec{x}} u(k) = \phi(x)$

# Kovarianz der Dirac-Gleichung

Forderung: Dirac Gl. sollte in jedem Inertialsystem gleich aussehen.

homogene<sup>a</sup> Koordinatentransformationen  $x' = ax$ : *Drehungen und LTs*



Ansatz für Spinortrafo:

$$\Psi'(x') = S(a) \cdot \Psi(x) = S(a) \cdot \Psi(a^{-1}x'); \quad \text{Es sollte gelten: } S^{-1}(a) = S(a^{-1})$$

$$\text{Dirac Gl.: } i\gamma^\mu \partial_\mu - m \psi(x) = 0; \quad \text{benutze } \partial_\mu = \frac{\partial}{\partial x^\mu} = \frac{\partial}{\partial x'^\nu} \frac{\partial x'^\nu}{\partial x^\mu} = a_\mu^\nu \partial'_\nu$$

$$\Rightarrow (i\gamma^\mu a_\mu^\nu \partial'_\nu - m) S^{-1} \psi'(x') = 0$$

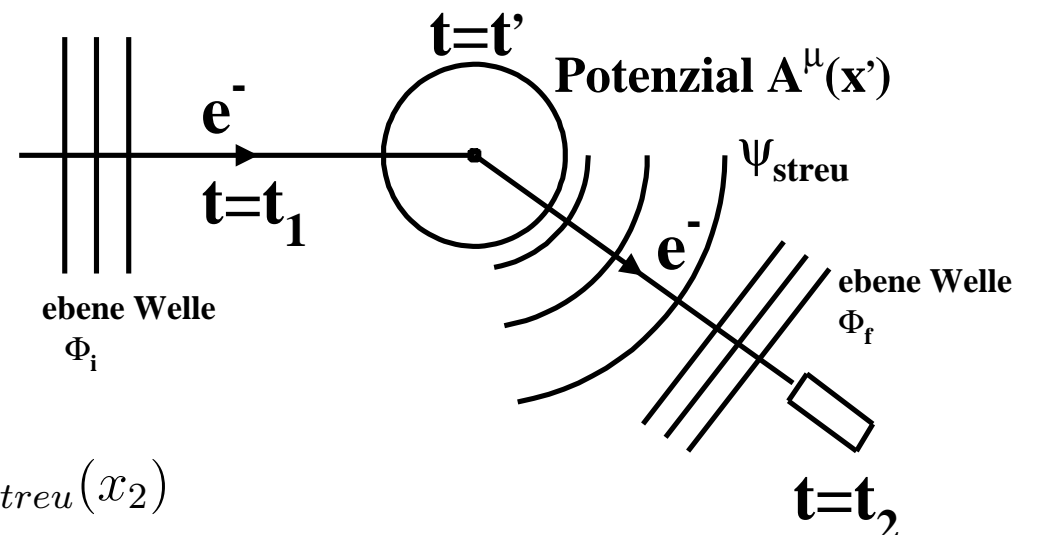
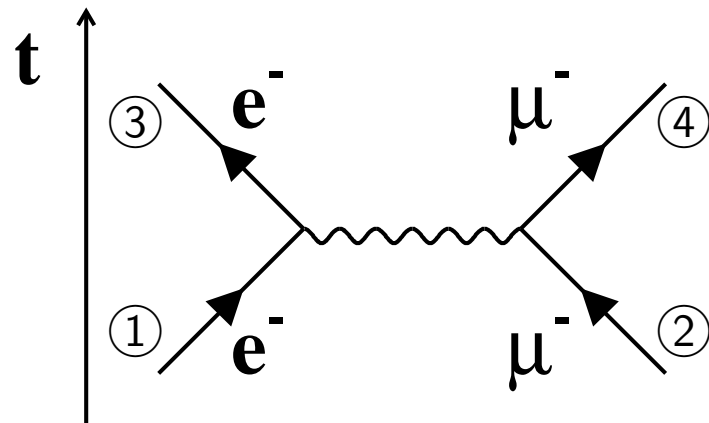
$$(i \underbrace{S a_\mu^\nu \gamma^\mu S^{-1}}_{=\gamma^\nu} \partial'_\nu - m) \psi'(x') = 0$$

$$\Rightarrow S^{-1} \gamma^\nu S = a_\mu^\nu \gamma^\mu$$

---

<sup>a</sup>homogene K.T. lassen den Koordinatenursprung unverändert

Ziel: Wirkungsquerschnitt ( $\sigma, \frac{d\sigma}{d\Omega}$ ) für  $e^- + \mu^- \rightarrow e^- + \mu^-$



$$S_{fi} = \underbrace{\langle \Phi_f | \Psi_{Streu} \rangle}_{\downarrow \sigma, \frac{d\sigma}{d\Omega}} = \int d^3x_2 \Phi_f^+(x_2) \Psi_{Streu}(x_2)$$

$\Psi_{Streu}$  lässt sich in Störungstheorie berechnen

$$\Psi_{Streu} \approx \Psi^{(1)}(x) = \Phi_i(x) - e \int d^4x' K(x-x') \mathcal{A}(x') \Phi_i(x'), \quad \text{z.B. } \Phi(x) = u(p_1)e^{-ip_1 x}$$

$$S_{fi} = \underbrace{\int d^3x_2 \Phi_f^+(x_2) \Phi_i(x_2)}_{2E_i \delta_{fi}} - e \int d^4x' \underbrace{\int d^3x_2 \Phi_f^+(x_2) K(x_2 - x') \mathcal{A}(x') \Phi_i(x')}_{i\bar{\Phi}_f(x')}$$

$$S_{fi} = S_{fi}^{(0)} + S_{fi}^{(1)} + \dots$$

$$S_{fi}^{(1)} = ie \int d^4x' \bar{\Phi}_f(x') \mathcal{A}(x') \Phi_i(x')$$

Zwischenergebnis, wie erhält man  $\mathcal{A}$  aus Myonstrom?  $\Rightarrow$

# Berechnung von $A^\mu$ aus Muonstrom $\Rightarrow$ konstruiere Photonpropagator

$$\square A^\mu(x) = \left( \frac{\partial^2}{\partial t^2} - \nabla^2 \right) A^\mu(x) = \underbrace{e J^\mu(x)}_{\text{Viererstrom eines Teilchens mit Ladung } +e}$$

(Lorentz-Eichung  $\partial_\mu A^\mu = 0$ )

Sei  $D^{\mu\nu}$  eine Lösung von:

$$\square D^{\mu\nu}(x - x') = g^{\mu\nu} \delta^4(x - x')$$

Dann gilt:

$$A^\mu(x) = e \int d^4x' D^{\mu\nu}(x - x') J_\nu(x')$$

Berechnung von  $D^{\mu\nu}(x - x')$

$$D^{\mu\nu}(x - x') = \int \frac{d^4q}{(2\pi)^4} \tilde{D}^{\mu\nu}(q) e^{-iq(x-x')}$$

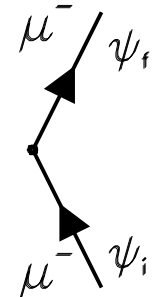
$$\square D^{\mu\nu}(x - x') = \int \frac{d^4q}{(2\pi)^4} (-q^2) \tilde{D}^{\mu\nu}(q) e^{-iq(x-x')} \stackrel{!}{=} g^{\mu\nu} \delta^4(x - x')$$

$$\Rightarrow \boxed{\tilde{D}^{\mu\nu}(q) = \frac{-g^{\mu\nu}}{q^2 + i\epsilon}}$$

→ Interaktive Übungsaufgabe

Hier (Streuproblem  $e^- \mu^- \rightarrow e^- \mu^-$ ) gilt:

$$\square A^\mu(x) = -e \underbrace{J^\mu(x)}_{Myon} = -e \underbrace{\bar{\Psi}_f(x)}_{Myon} \gamma^\mu \underbrace{\Psi_i(x)}_{Myon}$$



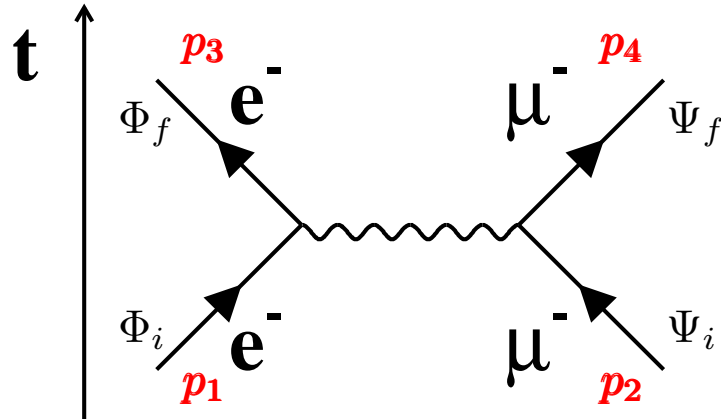
$$J^\mu(x) = \bar{u}(p_f) \gamma^\mu u(p_i) e^{i(p_f - p_i)x}$$

$$A^\mu(x) = -e \int d^4x' \underbrace{\int \frac{d^4q}{(2\pi)^4} \frac{-g^{\mu\nu}}{q^2 + i\epsilon} e^{-iq(x-x')} \cdot \bar{u}(p_f) \gamma_\nu u(p_i) e^{i(p_f - p_i)x'}}_{D^{\mu\nu}(x-x')}$$

Integration über  $x'$  kann man ausführen  $(2\pi)^4 \delta^4(k) = \int d^4x' e^{-ikx'}$

$$A^\mu(x) = -e \int d^4q \delta^4(p_f - p_i + q) \frac{-g^{\mu\nu}}{q^2 + i\epsilon} e^{-iqx} \bar{u}(p_f) \gamma_\nu u(p_i)$$

→ Zwischenergebnis



Elektron:

$$\Phi_i(x') = u(p_1)e^{-ip_1x'}$$

$$\Phi_f(x') = u(p_3)e^{-ip_3x'}$$

Myon:

$$\Psi_i(x') = u(p_2)e^{-ip_2x'}$$

$$\Psi_f(x') = u(p_4)e^{-ip_4x'}$$

$$\begin{aligned}
 S_{fi}^{(1)} &= +ie \int d^4x' \bar{u}(p_3)e^{+ip_3x'} \gamma_\mu A^\mu(x') u(p_1)e^{-ip_1x'} \\
 &= +ie^2 \int d^4x' \bar{u}(p_3)e^{+ip_3x'} \gamma_\mu \underbrace{\int d^4q \delta^4(p_4 - p_2 + q) \frac{g^{\mu\nu}}{q^2 + i\epsilon} e^{-iqx'}}_{A^\mu(x')} \bar{u}(p_4)\gamma_\nu u(p_2) u(p_1)e^{-ip_1x'}
 \end{aligned}$$

Integration über  $x' \rightarrow \delta^4()$ :

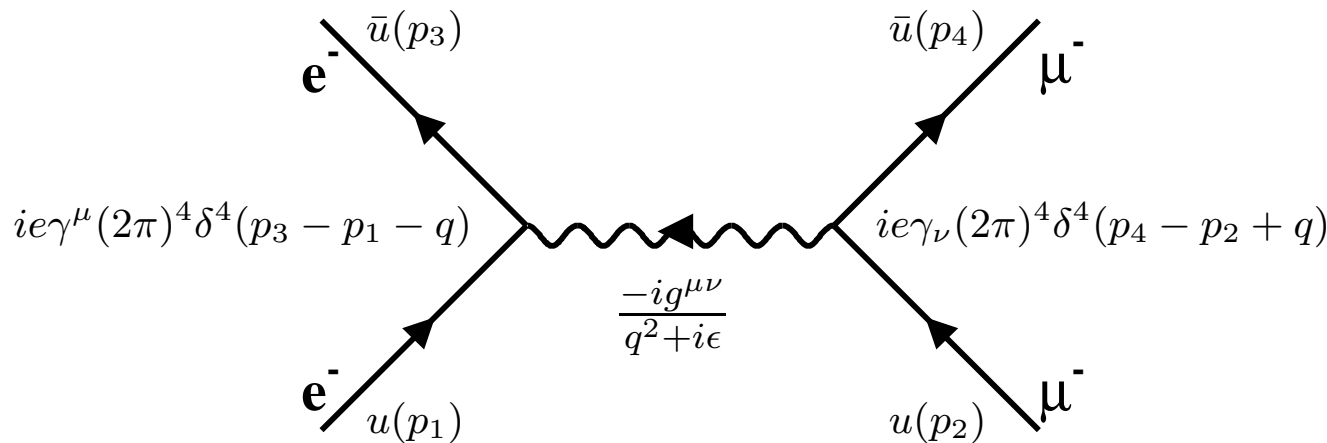
$$\underbrace{S_{fi}^{(1)} = ie^2 \int d^4q (2\pi)^4 \delta^4(p_4 - p_2 + q) \delta^4(p_3 - p_1 - q) \bar{u}(p_3)\gamma_\mu u(p_1) \frac{g^{\mu\nu}}{q^2 + i\epsilon} \bar{u}(p_4)\gamma_\nu u(p_2)}_{\equiv \text{Resultat mit Feynmanregeln}}$$

$$S_{fi}^{(1)} = ie^2 (2\pi)^4 \delta^4(p_3 + p_4 - p_1 - p_2) \bar{u}(p_3)\gamma_\mu u(p_1) \frac{1}{(p_1 - p_3)^2} \bar{u}(p_4)\gamma^\mu u(p_2)$$

$$S_{fi}^{(1)} = M^{(1)} (2\pi)^4 \delta^4(p_3 + p_4 - p_1 - p_2),$$

$$M^{(1)} = +ie^2 \bar{u}(p_3)\gamma_\mu u(p_1) \frac{1}{(p_1 - p_3)^2} \bar{u}(p_4)\gamma^\mu u(p_2)$$

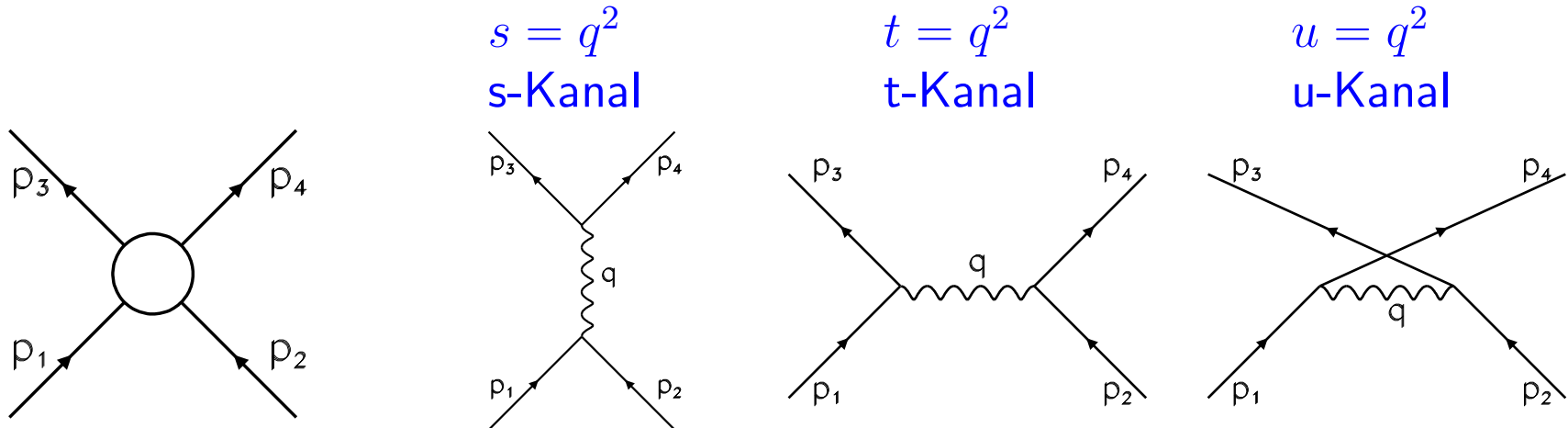
# Feynman-Diagramme:



## Feynman-Diagramm (QED) Konventionen:

Fermionen	$\longrightarrow$	gerade Linien
Photonen	$\longrightarrow$	Wellenlinien
einlaufendes Fermion	$\longrightarrow$	$u(p)$
auslaufendes Fermion	$\longrightarrow$	$\bar{u}(p)$
einlaufendes Photon (relles)	$\longrightarrow$	$\epsilon_\mu(k)$ Pol.vektor $\epsilon_\mu = (\epsilon_0, \vec{\epsilon}) = (0, \vec{\epsilon})$
ausl. Photon	$\longrightarrow$	$\epsilon_\mu^*(k)$
virtuelles Photon	$\longrightarrow$	$\frac{-ig^{\mu\nu}}{q^2+i\epsilon}$
Lepton-Photon Vertex	$\longrightarrow$	$-i(\pm e)\gamma^\mu(2\pi)^4\delta^4(p_f - p_i - q)$
integriere über innere Linien	$\longrightarrow$	$\int \frac{d^4 q}{(2\pi)^4}$
virtuelles Elektron $\longrightarrow i \frac{(p + m)}{p^2 - m^2 + i\epsilon}$		

## Kinematik der $2 \rightarrow 2$ Streuung:



Energie- und Impulserhaltung:  $\rightarrow p_1 + p_2 = p_3 + p_4$

Erinnerung:  $p_i p_i = m_i^2$ ,  $i=1,2,3,4$

2 unabhängige Größen beschreiben diese Streusituation  $\Rightarrow$  Mandelstam-Variablen:

$$s = (p_1 + p_2)^2 = (p_3 + p_4)^2 = p_1^2 + p_2^2 + 2p_1 p_2 \quad \begin{matrix} \text{sehr hohe Energie} \\ \approx \end{matrix} \quad 2p_1 p_2$$

$$t = (p_1 - p_3)^2 = (p_2 - p_4)^2 = p_1^2 + p_3^2 - 2p_1 p_3 \quad \approx \quad -2p_1 p_3$$

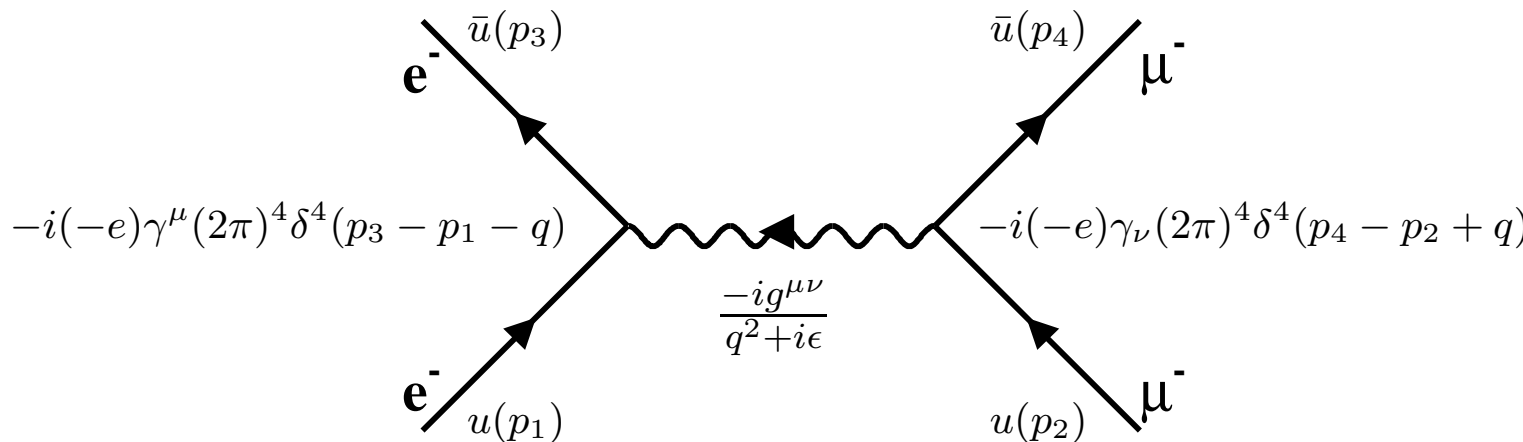
$$u = (p_1 - p_4)^2 = (p_2 - p_3)^2 = p_1^2 + p_4^2 - 2p_1 p_4 \quad \approx \quad -2p_1 p_4$$

Es gilt  $s + t + u = \sum_{i=1}^4 m_i^2$  zu zeigen!

$$\begin{aligned} s + t + u &= (p_1 + p_2)^2 + (p_1 - p_3)^2 + (p_1 - p_4)^2 \\ &= \underbrace{p_1^2}_{=m_1^2} + 2p_1 p_2 + \text{weiterrechnen, für } -2p_1 p_4 \text{ für } p_1 \text{ ersetzen durch } p_1 = p_3 + p_4 - p_2 \end{aligned}$$

# Wiederholung: Ziel Matrixelement $M$ eines Prozesses

6. Vorlesung, 23.4.2010

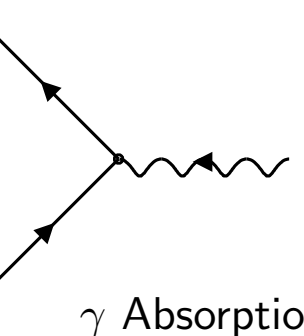
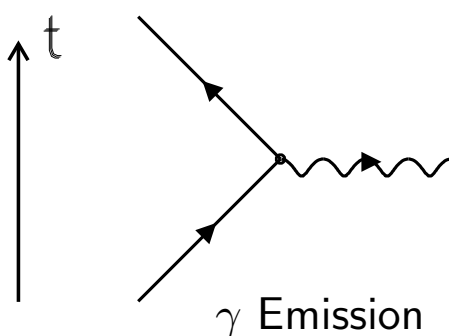


- ① Diagramm aufzeichnen
- ② Pfeile einfügen
- ③  $u, \bar{u}, v, \bar{v}$  Spinoren mit Impulsen verteilen, Propagatoren
- ④ Faktoren für die Vertices
- ⑤ über innere Linien integrieren  $\int \frac{d^4q}{(2\pi)^4}$

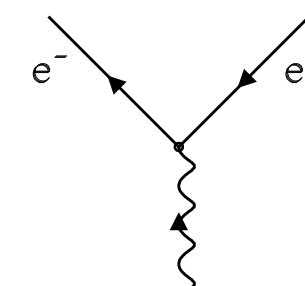
$$S_{fi}^{(1)} = ie^2 \int \frac{d^4q}{(2\pi)^4} (2\pi)^4\delta^4(p_4 - p_2 + q) \underbrace{\bar{u}(p_3)\gamma_\mu u(p_1)}_{J_\mu = \text{Elektronstrom}} \frac{g^{\mu\nu}}{q^2 + i\epsilon} (2\pi)^4\delta^4(p_3 - p_1 - q) \underbrace{\bar{u}(p_4)\gamma_\nu u(p_2)}_{J_\nu = \text{Muonstrom}}$$

$$S_{fi}^{(1)} = (2\pi)^4\delta^4(p_3 + p_4 - p_1 - p_2) \underbrace{i e^2 \bar{u}(p_3)\gamma_\mu u(p_1) \frac{1}{q^2} \bar{u}(p_4)\gamma^\mu u(p_2)}_M \quad \text{mit } q = p_1 - p_3$$

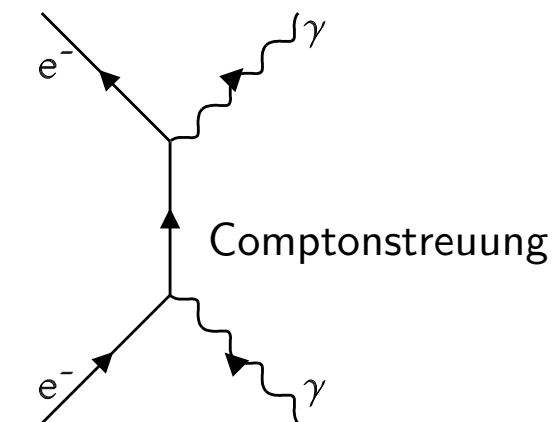
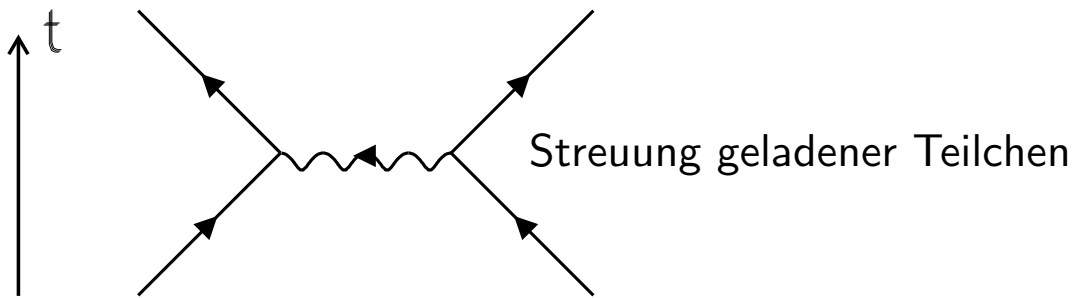
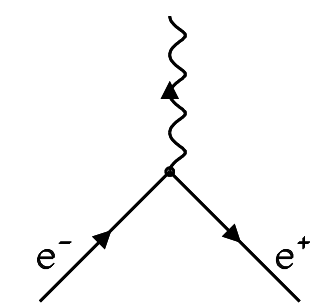
# Elementarprozesse



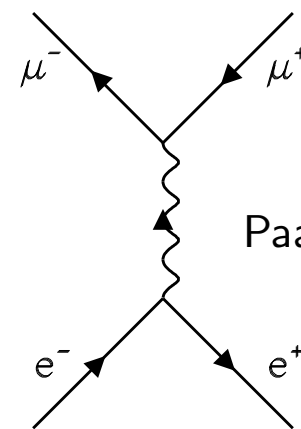
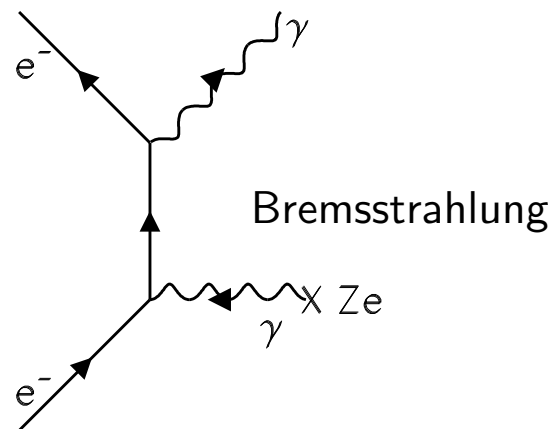
Paarvernichtung



Paarerzeugung



Comptonstreuung



Paarerzeugung + -vernichtung

## Berechnung von Zerfallsraten und Wirkungsquerschnitten aus dem Matrixelement $M$ :

---

Notationshinweis: wir benutzen kleine  $p_i$  für Viererimpulse und grosse  $P_i$  für Dreierimpulse

1. Goldene Regel für Zerfälle  $1 \rightarrow 2 + 3 + 4 + \dots + n$

(Hier ohne Herleitung, siehe Schmüser S. 51 ff für  $d\sigma$ )

$$d\Gamma = |M|^2 \frac{S}{2\hbar m_1} \left[ \left( \frac{c d^3 P_2}{(2\pi)^3 2E_2} \right) \left( \frac{c d^3 P_3}{(2\pi)^3 2E_3} \right) \dots \left( \frac{c d^3 P_n}{(2\pi)^3 2E_n} \right) \right] \cdot (2\pi)^4 \delta^4(p_1 - p_2 - p_3 - \dots - p_n)$$

$S$  ist statistischer Faktor:  $\frac{1}{j!}$  für jede Gruppe von  $j$  identischen Teilchen

2. Goldene Regel für Streuprozesse  $1 + 2 \rightarrow 3 + 4 + \dots + n$

$$d\sigma = |M|^2 \frac{\hbar^2 S}{4 \sqrt{(p_1 p_2)^2 - (m_1 m_2 c^2)^2}} \underbrace{\left[ \left( \frac{c d^3 P_3}{(2\pi)^3 2E_3} \right) \left( \frac{c d^3 P_4}{(2\pi)^3 2E_4} \right) \dots \left( \frac{c d^3 P_n}{(2\pi)^3 2E_n} \right) \right]}_{dLips, \text{ Lorentz inv. Phasenraum}} \cdot (2\pi)^4 \delta^4(p_1 + p_2 - p_3 - p_4 - \dots - p_n)$$

$$F = 4\sqrt{(\ )^2 - (\ )^2} \quad \text{Lorentz-invarianter Flussfaktor}$$

Im Folgenden:

Ziel ist die komplette Herleitung des Wirkungsquerschnittes für den Streuprozess  
 $e^- \mu^- \rightarrow e^- \mu^-$   
(diese Reaktion ist vom Typ  $1 + 2 \rightarrow 3 + 4$ )

Schritte:

1. Bestimme Flussfaktor  $F$  für einlaufende Teilchen
2. Führe Phasenraumintegration aus über die auslaufenden Impulse, ersetze dabei Integration über Impulse durch Integration über Energie und Raumwinkel
3. Berechne Matrixelementquadrat  $|M|^2$  unter Berücksichtigung aller möglichen Spineinstellungen

## Bemerkungen zum Flussfaktor:

$$d\sigma \sim \frac{1}{F}$$

↓ Dichte der Targetteilchen

$$F = |j_{ein}| \cdot n_{target} = \frac{|\vec{v}_1|}{V/2 E_1} \cdot \frac{2E_2}{V} = \frac{|\vec{v}_1| 4 E_1 E_2}{V^2}$$

↑ Stromdichte der einlaufenden Teilchen

( $u^+ u \sim 2E$  Normierung)

$$\text{zu zeigen } F = \frac{4}{V^2} \sqrt{(p_1 p_2)^2 - (m_1 m_2)^2}$$

Beweis im Laborsystem:



$$p_1 = (E_1, \vec{P}_1), \quad p_2 = (m_2, 0), \quad \Rightarrow p_1 p_2 = E_1 m_2$$

$$F = \frac{4}{V^2} \sqrt{E_1^2 m_2^2 - m_1^2 m_2^2} = \frac{4}{V^2} m_2 |\vec{P}_1| = \frac{4}{V^2} m_2 |\vec{v}_1| E_1 = \frac{4 |\vec{v}_1| E_1 E_2}{V^2}$$

Im Schwerpunktssystem (CMS) (*Empfehlung: nachrechnen!*)

$F_{cms} = \frac{4}{V^2} P_i \sqrt{s}$	$s = (p_1 + p_2)^2$
	$ \vec{P}_1  =  \vec{P}_2  = P_i$

Im Folgenden: Lasse  $\frac{1}{V^2}$  weg, kürzt sich mit entsprechenden Faktoren in  $|M|^2$

## Ziel: Differenzieller WQ → ausintegrieren von $dLips$ im CMS:

$$1 + 2 \rightarrow 3 + 4 \quad d\sigma = |M^2| \underbrace{\frac{1}{4P_i\sqrt{s}}}_F \underbrace{\frac{d^3 P_3}{(2\pi)^3 2E_3} \frac{d^3 P_4}{(2\pi)^3 2E_4}}_{dLips} \cdot 2\pi^4 \delta^4(p_1 + p_2 - p_3 - p_4)$$

$\int d^3 P_4$  kann leicht ausgeführt werden; es gilt  $\vec{P}_3 = -\vec{P}_4$ ,  $|\vec{P}_3| = |\vec{P}_4| = P_f$

$$s = (p_1 + p_2)^2 = (E_1 + E_2)^2 = (p_3 + p_4)^2 = (E_3 + E_4)^2$$

$$dLips = \int d^3 P_4 \frac{1}{(2\pi)^2} \frac{d^3 P_3}{4E_3 E_4} \delta(\sqrt{s} - E_3 - E_4) \delta^3(\vec{P}_3 + \vec{P}_4 - \underbrace{\vec{P}_2 - \vec{P}_1}_{=0}) = \frac{1}{(2\pi)^2} \frac{d^3 P_3}{4E_3 E_4} \delta(\sqrt{s} - E_3 - E_4)$$

Ersetze Impuls- durch Energieintegration:

$$\text{mit } E_3 = \sqrt{|P_f|^2 + m_3^2}, \quad E_4 = \sqrt{|P_f|^2 + m_4^2} \Rightarrow dE_3 = \frac{P_f}{E_3} dP_f, \quad dE_4 = \frac{P_f}{E_4} dP_f$$

$$W = E_3 + E_4, \quad dW = dE_3 + dE_4 = dE_3 \left(1 + \frac{E_3}{E_4}\right) = dE_3 \frac{W}{E_4}$$

$$\Rightarrow \frac{d^3 P_3}{E_3 E_4} = \frac{P_f^2 dP_f d\Omega}{E_3 E_4} = \frac{P_f dE_3 dE_3 d\Omega}{E_3 E_4} = P_f \frac{dW}{W} d\Omega$$

$$dLips = \int \frac{1}{(2\pi)^2} \frac{d^3 P_3}{4E_3 E_4} \delta(\sqrt{s} - W) = \int \frac{1}{(2\pi)^2} \frac{P_f dW d\Omega}{4W} \delta(\sqrt{s} - W) = \frac{1}{(2\pi)^2} \frac{P_f}{4\sqrt{s}} d\Omega$$

$$\boxed{\frac{d\sigma}{d\Omega}|_{cms} = \frac{1}{64\pi^2} \cdot \frac{1}{s} \cdot \frac{P_f}{P_i} |M|^2} \quad s = (p_1 + p_2)^2$$

Hochenergiegrenze:  $\frac{P_f}{P_i} \rightarrow 1$   $\sigma \sim \frac{1}{s}$   
 $(m \ll \sqrt{s})$

Jetzt:  $\frac{d\sigma}{d\Omega}$  für  $e^- \mu^- \rightarrow e^- \mu^-$

---

Berechnung von  $|M|^2 = M \cdot M^*$

$$M = ie^2 \bar{u}(p_3) \gamma_\mu u(p_1) \frac{1}{q^2} \bar{u}(p_4) \gamma^\mu u(p_2)$$

$$\begin{array}{lll} u_1(p), & u_2(p) & (\text{und } v_1(p), v_2(p)) \\ Spin \uparrow \uparrow^p & \downarrow \uparrow^p & \end{array}$$

unterscheiden sich durch Spinstellung

### Streuung von unpolarisierten Teilchen:

- Mittelung über die Spins der Teilchen im Anfangszustand

$$\overline{|M|^2} = \frac{1}{4} \sum_{S_1, S_2} |M|^2$$

- Wenn Polarisation nicht beobachtet:

Summation über alle möglichen Spins im Endzustand

$$\overline{|M|^2} = \frac{1}{4} \sum_{S_1, S_2} \sum_{S_3, S_4} |M|^2 = 2e^4 \frac{s^2 + u^2}{t^4} \text{ nächstes Mal Beweis}$$

# Elektron Myonstreuung: Betrachtungen der Dimensionalität

Eine Betrachtung der physikalischen Dimensionen ist hilfreich im Verständnis der QED Streuprozesse. Mit natürlichen Einheiten  $\hbar = 1, c = 1$  gibt es nur eine unabhängige Dimension die wir als Länge  $L$  wählen wollen. Damit:  $[x] = [t] = L, [E] = [P] = L^{-1}$

Aufgabe: Tragen Sie für die Streuamplitude  $S_{fi}^{(1)}$  unter den Klammern die Dimension der jeweiligen Ausdrücke ein und bestimmen Sie die resultierende Dimension:

$$S_{fi}^{(1)} = (2\pi)^4 \underbrace{\delta^4(p_3 + p_4 - p_1 - p_2)}_{L^4} ie^2 \underbrace{\bar{u}(p_3)\gamma_\mu u(p_1)}_{L^{-1}} \underbrace{\frac{1}{q^2}}_{L^2} \underbrace{\bar{u}(p_4)\gamma^\mu u(p_2)}_{L^{-1}} = M^{(1)} (2\pi)^4 \delta^4(p_3 + p_4 - p_1 - p_2)$$

Wie ändert sich die Situation wenn wir ein Normierungsvolumen für die Spinoren einführen?

$$S_{fi}^{(1)} = \underbrace{\frac{1}{V^2}}_{L^{-6}} (2\pi)^4 \underbrace{\delta^4(p_3 + p_4 - p_1 - p_2)}_{L^4} ie^2 \underbrace{\bar{u}(p_3)\gamma_\mu u(p_1)}_{L^{-1}} \underbrace{\frac{1}{q^2}}_{L^2} \underbrace{\bar{u}(p_4)\gamma^\mu u(p_2)}_{L^{-1}}$$

Wir betrachten die Übergangswahrscheinlichkeit und integrieren über ein- und auslaufende Impulszustände. Was ist die Dimension von  $W$ ?

$$W = \underbrace{|S_{fi}|^2}_{\text{hat korrekte Dimension}} \cdot V \int \frac{d^3 p_1}{(2\pi)^3 2E_1} \underbrace{V \int \frac{d^3 p_2}{(2\pi)^3 2E_2}}_{\text{hat korrekte Dimension}} \underbrace{V \int \frac{d^3 p_3}{(2\pi)^3 2E_3}}_{\text{hat korrekte Dimension}} \underbrace{V \int \frac{d^3 p_4}{(2\pi)^3 2E_4}}_{\text{hat korrekte Dimension}}$$

Streuung Teilchen 1 an Targetteilchen 2 (beide mit fixem Impuls): Hinweis:  $S_{fi}^2$  enthält  $[\delta^4(\omega)]^2$  mit  $\omega = p_3 + p_4 - p_1 - p_2$ , benutze  $(2\pi)^4 [\delta^4(\omega)]^2 = \frac{1}{(2\pi)^4} \int d^4 x e^{-i\omega x} \int d^4 x' e^{-i\omega x'} = \int d^4 x e^{-i\omega x} \delta(\omega) \approx VT \delta(\omega)$

$$W = \underbrace{|M_{fi}|^2}_{\text{hat korrekte Dimension}} V \int \frac{d^3 p_3}{(2\pi)^3 2E_3} \underbrace{V \int \frac{d^3 p_4}{(2\pi)^3 2E_4}}_{\text{hat korrekte Dimension}} \underbrace{(2\pi)^4 \delta^4(p_3 + p_4 - p_1 - p_2)}_{\text{hat korrekte Dimension}} \cdot \underbrace{\frac{VT}{2E_2}}_{\text{Faktor } \frac{1}{2E_2} \text{ für Dichte Targetteilchen}}$$

Wirkungsquerschnitt:

$$\sigma = \frac{W}{T \cdot j_{ein}} = \underbrace{|M_{fi}|^2}_{\text{hat korrekte Dim.!}} V \int \frac{d^3 p_3}{(2\pi)^3 2E_3} \underbrace{V \int \frac{d^3 p_4}{(2\pi)^3 2E_4}}_{\text{hat korrekte Dim.!}} \underbrace{(2\pi)^4 \delta^4(p_3 + p_4 - p_1 - p_2)}_{\text{hat korrekte Dim.!}} \cdot \underbrace{\frac{V}{2E_2} \frac{V}{v_1 2E_1}}_{\text{hat korrekte Dim.!}}$$

beachte: dieser WQ = dem aus Fermis goldener Regel! (s. Vorlesung) Die letzten beiden Terme  $\equiv \frac{1}{F}$  (mit  $F = \text{Flussfaktor}$ ).

# $|\text{Matrixelement}|^2$ für $e^- \mu^- \rightarrow e^- \mu^-$ Streuung: Spinmittelung

7. Vorlesung, 27.4.2010

$$\overline{|M|^2} = \frac{1}{4} \sum_{s_1, s_3} \sum_{s_2, s_4} \left( \frac{e^4}{q^4} \right) [\bar{u}(p_3) \gamma_\mu u(p_1)] [\bar{u}(p_3) \gamma_\nu u(p_1)]^+ [\bar{u}(p_4) \gamma^\mu u(p_2)] [\bar{u}(p_4) \gamma^\nu u(p_2)]^+$$

$$\overline{|M|^2} = \left( \frac{e^4}{q^4} \right) L_{\mu\nu} \cdot M^{\mu\nu}$$

Leptontensor des  $e^-$ :  $L_{\mu\nu} = \frac{1}{2} \sum_{s_1, s_3} [\bar{u}(p_3) \gamma_\mu u(p_1)] [\bar{u}(p_3) \gamma_\nu u(p_1)]^+$

Leptontensor des  $\mu^-$ :  $M^{\mu\nu} = \frac{1}{2} \sum_{s_2, s_4} [\bar{u}(p_4) \gamma^\mu u(p_2)] [\bar{u}(p_4) \gamma^\nu u(p_2)]^+$

Jetzt Berechnung von  $L_{\mu\nu}$  ( $M^{\mu\nu}$  analog):

$$[\bar{u}(p_3) \gamma_\nu u(p_1)]^+ = u^+(p_1) \gamma_\nu^+ \bar{u}^+(p_3) \underset{(\gamma_\nu)^+ = \gamma_0 \gamma_\nu \gamma_0}{=} u^+(p_1) \gamma_0 \gamma_\nu \gamma_0 \underset{= \gamma_0}{\underbrace{\gamma_0^+}} u(p_3) = \bar{u}(p_1) \gamma_\nu u(p_3)$$

$$L_{\mu\nu} = \frac{1}{2} \sum_{s_1, s_3} \bar{u}(p_3) \gamma_\mu \boxed{u(p_1) \bar{u}(p_1)} \gamma_\nu u(p_3)$$

Behauptung:  $\sum u(p_1) \bar{u}(p_1) = u_1(p_1) \bar{u}_1(p_1) + u_2(p_1) \bar{u}_2(p_1) = (\not{p} + m) \cdot \mathbf{1}$

## Berechnung von $\sum u(p_1)\bar{u}(p_1)$ :

Wir wählen Koordinatensystem so, dass  $\vec{p} \parallel z$ :  $\Rightarrow u_1(p) = \sqrt{E+m} \begin{pmatrix} 1 \\ 0 \\ \frac{p_z}{E+m} \\ 0 \end{pmatrix}, \quad u_2(p) = \sqrt{E+m} \begin{pmatrix} 0 \\ 1 \\ 0 \\ \frac{-p_z}{E+m} \end{pmatrix}$

Verifizieren Sie, dass:  $u_1\bar{u}_1 + u_2\bar{u}_2 = p + m = \gamma^0 E - \gamma^3 p_z + m$

$$= \begin{pmatrix} 1 & 0 & 0 & 0 \\ 0 & 1 & 0 & 0 \\ 0 & 0 & -1 & 0 \\ 0 & 0 & 0 & -1 \end{pmatrix} \cdot E - \begin{pmatrix} 0 & 0 & 1 & 0 \\ 0 & 0 & 0 & -1 \\ -1 & 0 & 0 & 0 \\ 0 & 1 & 0 & 0 \end{pmatrix} \cdot p_z + \begin{pmatrix} 1 & 0 & 0 & 0 \\ 0 & 1 & 0 & 0 \\ 0 & 0 & 1 & 0 \\ 0 & 0 & 0 & 1 \end{pmatrix} \cdot m$$

Anfang der Rechnung:

$$u_1\bar{u}_1 = \begin{pmatrix} E+m & 0 & -p_z & 0 \\ 0 & 0 & 0 & 0 \\ p_z & 0 & \frac{-p_z^2}{E+m} & 0 \\ 0 & 0 & 0 & 0 \end{pmatrix}, \quad u_2\bar{u}_2 = \begin{pmatrix} 0 & 0 & 0 & 0 \\ 0 & E+m & 0 & p_z \\ 0 & 0 & 0 & 0 \\ 0 & -p_z & 0 & \frac{-p_z^2}{E+m} \end{pmatrix} \Rightarrow u_1\bar{u}_1 + u_2\bar{u}_2 = \begin{pmatrix} E+m & 0 & -p_z & 0 \\ 0 & E+m & 0 & p_z \\ p_z & 0 & \frac{-p_z^2}{E+m} & 0 \\ 0 & -p_z & 0 & \frac{-p_z^2}{E+m} \end{pmatrix}$$

Anleitung: ersetze in der letzten Matrix  $-p_z^2$  als Funktion von  $E$  und  $m$ :

$$\Rightarrow u_1\bar{u}_1 + u_2\bar{u}_2 =$$

Lösung:  $p_z^2 = E^2 - m^2 = (E+m)(E-m)$

$$\rightarrow u_1\bar{u}_1 + u_2\bar{u}_2 = \begin{pmatrix} E+m & 0 & -p_z & 0 \\ 0 & E+m & 0 & p_z \\ p_z & 0 & -E+m & 0 \\ 0 & -p_z & 0 & -E+m \end{pmatrix}$$

## Leptontensor $L_{\mu\nu}$

$$L_{\mu\nu} = \frac{1}{2} \sum_{s_3} \bar{u}(p_3) \underbrace{\gamma_\mu(\not{p}_1 + m_1)\gamma_\nu}_{\text{Matrix } A_{jk}} u(p_3)$$

$$L_{\mu\nu} = \frac{1}{2} \sum_{j,k=1}^4 \sum_{s_3} \bar{u}(p_3)_j A_{jk} u(p_3)_k = \frac{1}{2} \sum_{jk} A_{jk} \sum_{s_3} u(p_3)_k \bar{u}(p_3)_j$$

↑ komplexe Zahlen, vertausche Reihenfolge

$$\begin{aligned} L_{\mu\nu} &= \frac{1}{2} \sum_{jk} A_{jk} (\not{p}_3 + m_3)_{kj} \\ &= \frac{1}{2} \sum [\gamma_\mu(\not{p}_1 + m_1)\gamma_\nu]_{jk} [\not{p}_3 + m_3]_{kj} \end{aligned}$$

$$\sum_{jk} A_{jk} B_{kj} = Spur(A \cdot B) \quad \text{Spur = Summe der Diagonalelemente}$$

$$L_{\mu\nu} = \frac{1}{2} Spur [\gamma_\mu(\not{p}_1 + m_1)\gamma_\nu(\not{p}_3 + m_3)]$$

$$M^{\mu\nu} = \frac{1}{2} Spur [\gamma^\mu(\not{p}_2 + m_2)\gamma^\nu(\not{p}_4 + m_4)]$$

## Einige nützliche Rechenregeln: (Griffith S. 252/253)

---

- 1.)  $\text{Spur}(A + B) = \text{Spur}(A) + \text{Spur}(B)$        $A, B$  Matrizen
- 2.)  $\text{Spur}(\alpha \cdot A) = \alpha \cdot \text{Spur}(A)$        $\alpha$  Zahl
- 3.)  $\text{Spur}(AB) = \text{Spur}(BA)$
- 4.)  $g_{\mu\nu} g^{\mu\nu} = 4$        $g^{\mu\nu} = \begin{pmatrix} 1 & & 0 & \\ -1 & -1 & & \\ 0 & & -1 & \\ & & & -1 \end{pmatrix}$
- 5.)  $\gamma^\mu \gamma^\nu + \gamma^\nu \gamma^\mu = 2g^{\mu\nu} \rightarrow q/b + b/q = 2ab$
- 6.)  $\gamma_\mu \gamma^\mu = 4$
- 7.)  $\gamma_\mu \gamma^\nu \gamma^\mu = -2\gamma^\nu \rightarrow \gamma_\mu q/\gamma^\mu = -2q$       (*Beweis?*)
- 8.) ...
- 9.) ...
- 10.)  $\text{Spur}(\text{Produkt einer } \underline{\text{ungeraden}} \text{ Anzahl von } \gamma\text{'s}) = 0$  ! s. interaktive Übungsaufgabe
- 11.)  $\text{Spur}(\mathbf{1}) = 4$
- 12.)  $\text{Spur}(\gamma^\mu \gamma^\nu) = 4g^{\mu\nu}$
- 13.)  $\text{Spur}(\gamma^\mu \gamma^\nu \gamma^\lambda \gamma^\sigma) = 4(g^{\mu\nu} g^{\lambda\sigma} - g^{\mu\lambda} g^{\nu\sigma} + g^{\mu\sigma} g^{\nu\lambda})$

## Berechnung des Leptontensors $L_{\mu\nu}$

$$2L_{\mu\nu} = \underbrace{Sp(\gamma_\mu m_1 \gamma_\nu m_3)}_{(1)} + \underbrace{Sp(\gamma_\mu p'_1 \gamma_\nu m_3)}_{(2)} + \underbrace{Sp(\gamma_\mu m_1 \gamma_\nu p'_3)}_{(3)} + \underbrace{Sp(\gamma_\mu p'_1 \gamma_\nu p'_3)}_{(4)}$$

$$(1) \quad Sp(\gamma_\mu m_1 \gamma_\nu m_3) = m_1 m_3 Sp(\gamma_\mu \gamma_\nu) = m_1 m_3 4g_{\mu\nu} \underset{m_1=m_3=m}{=} m^2 4g_{\mu\nu}$$

$$(2) \quad Sp(\gamma_\mu p'_1 \gamma_\nu m_3) = m Sp(\gamma_\mu \gamma_\alpha p_1^\alpha \gamma_\nu) = m p_1^\alpha Sp(\gamma_\mu \gamma_\alpha \gamma_\nu) = 0$$

$$(3) \quad Sp(\gamma_\mu m \gamma_\nu p'_3) = 0 \quad \text{analog zu (2)}$$

$$\begin{aligned} (4) \quad Sp(\gamma_\mu p'_1 \gamma_\nu p'_3) &= Sp(\gamma_\mu \gamma_\alpha p_1^\alpha \gamma_\nu \gamma_\beta p_3^\beta) = p_1^\alpha p_3^\beta Sp(\gamma_\mu \gamma_\alpha \gamma_\nu \gamma_\beta) \\ &= p_1^\alpha p_3^\beta 4 [g_{\mu\alpha} g_{\nu\beta} - g_{\mu\nu} g_{\alpha\beta} + g_{\mu\beta} g_{\alpha\nu}] \\ &= 4 [p_{1\mu} p_{3\nu} + p_{1\nu} p_{3\mu} - g_{\mu\nu} (p_1 p_3)] \end{aligned}$$

$$\Rightarrow L_{\mu\nu} = 2p_{1\mu} p_{3\nu} + 2p_{1\nu} p_{3\mu} - 2(p_1 p_3) g_{\mu\nu} + 2m^2 g_{\mu\nu}$$

→ Analog für  $M^{\mu\nu}$

# Finales Ergebnis für $|M|^2$ der $e^- \mu^- \rightarrow e^- \mu^-$ Streuung

---

$$\overline{|M|^2} = \frac{e^4}{q^4} L_{\mu\nu} M^{\mu\nu}$$

Def.  $m :=$  Elektronmasse,  $\mathcal{M} :=$  Myonmasse

$$= \frac{4e^4}{q^4} \left\{ p_{1\mu} p_{3\nu} + p_{1\nu} p_{3\mu} + g_{\mu\nu} [m^2 - (p_1 p_3)] \right\} \left\{ p^{2\mu} p^{4\nu} + p^{2\nu} p^{4\mu} + g^{\mu\nu} [\mathcal{M}^2 - (p_2 p_4)] \right\}$$

mit  $g_{\mu\nu} g^{\mu\nu} = 4$  ⇒ Empfehlung: folgenden Schritt nachrechnen:

$$\overline{|M|^2} = \frac{8e^4}{q^4} [(p_1 p_2)(p_3 p_4) + (p_1 p_4)(p_2 p_3) - m^2(p_2 p_4) - \mathcal{M}^2(p_1 p_3) + 2m^2 \mathcal{M}^2]$$

exaktes Ergebnis! (noch keine Näherung gemacht)

Hochenergiefall:  $m, M \rightarrow 0$

$$\overline{|M|^2} = \frac{8e^4}{q^4} \left[ \underbrace{(p_1 p_2)}_{\frac{s}{2}} \underbrace{(p_3 p_4)}_{\frac{s}{2}} + \underbrace{(p_1 p_4)}_{-\frac{u}{2}} \underbrace{(p_2 p_3)}_{-\frac{u}{2}} \right]$$

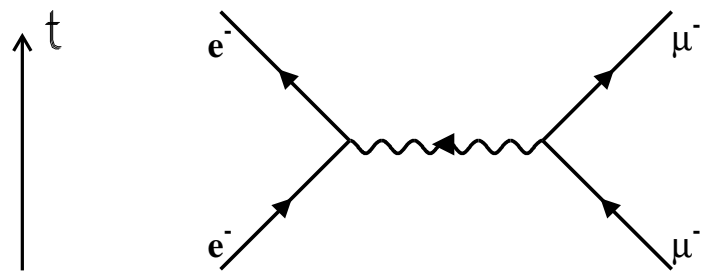
Beweis für  $p_1 p_2$ :

$$\begin{aligned} s &= (p_1 + p_2)^2 = p_1^2 + p_2^2 + 2p_1 p_2 \\ &= m^2 + \mathcal{M}^2 + 2p_1 p_2 \sim 2p_1 p_2 \end{aligned}$$

$$\boxed{\overline{|M|^2} = \frac{2e^4}{t^2} [s^2 + u^2] = 2e^4 \frac{s^2 + u^2}{t^2}}$$

mit  $t = q^2$

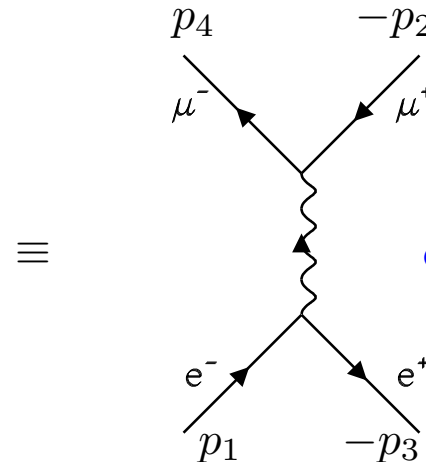
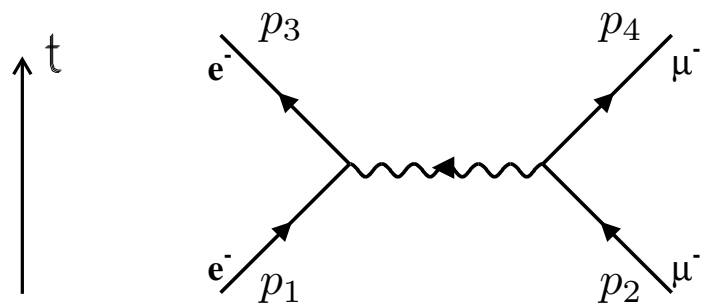
“t-Kanal” Prozess



$$|\overline{M}|^2 = 2 e^4 \frac{s^2 + u^2}{t^2}$$

mit  $t = q^2$ 

Crossing Symmetrie:


Muonpaarzeugung an  $e^+ e^-$  Collidern,  
experimentell wichtiger Prozess!

$$s = (p_1 + p_2)^2 \rightarrow (p_1 - p_3)^2$$

$$t = (p_1 - p_3)^2 \rightarrow (p_1 + p_2)^2$$

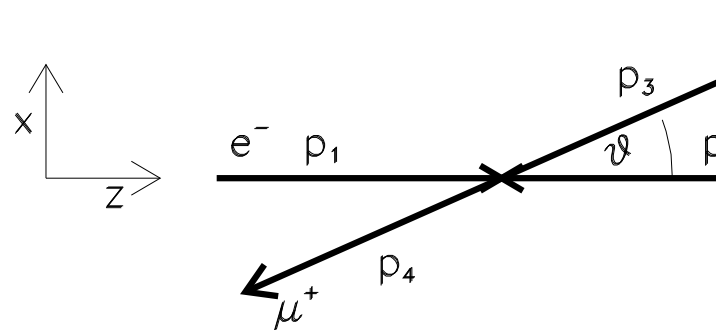
$$u = (p_1 - p_4)^2 \rightarrow (p_1 - p_4)^2$$

 $\Rightarrow$  s und t vertauschen

$$\rightarrow |\overline{M}|^2_{e^- e^+ \rightarrow \mu^- \mu^+} = 2 e^4 \frac{t^2 + u^2}{s^2}$$

# Berechnung $e^-e^+ \rightarrow \mu^-\mu^+$ Wirkungsquerschnitt (Hochenergiefall)

Situation am Collider:



$$\begin{aligned}
 p_1 &= (E, 0, 0, E) \\
 p_2 &= (E, 0, 0, -E) \\
 p_3 &= (E, E \sin \theta, 0, E \cos \theta) \\
 p_4 &= (E, -E \sin \theta, 0, -E \cos \theta)
 \end{aligned}$$

$$s = (p_1 + p_2)^2 \approx 2p_1 p_2 = 4E^2$$

$$t = (p_1 - p_3)^2 \approx -2p_1 p_3 = -2E^2(1 - \cos \theta) = -\frac{s}{2}(1 - \cos \theta)$$

$$u = (p_1 - p_4)^2 \approx -2p_1 p_4 = -2E^2(1 + \cos \theta) = -\frac{s}{2}(1 + \cos \theta)$$

$$\Rightarrow \overline{|M|^2} = 2e^4 \frac{(1 - \cos \theta)^2 + (1 + \cos \theta)^2}{4} = e^4(1 + \cos^2 \theta)$$

$$\text{mit } \alpha = \frac{e^2}{4\pi\hbar c} \Rightarrow \overline{|M|^2} = (4\pi\alpha)^2(1 + \cos^2 \theta)$$

$$\frac{d\sigma}{d\Omega}|_{cms} = \frac{1}{64\pi^2} \frac{1}{s} \overline{|M|^2} = \frac{\alpha^2}{4s} (1 + \cos^2 \theta)$$

$$\sigma(e^-e^+ \rightarrow \mu^-\mu^+) = \int \frac{d\sigma}{d\Omega} d\Omega = \frac{4\pi\alpha^2}{3s} = \frac{87 \text{ nbarn}}{s [\text{GeV}^2]}$$

# Helizitätserhaltung bei hohen Energien

$$\text{Helizität } \lambda = \vec{s} \cdot \vec{P} / |\vec{P}|$$

$\equiv$  Spinprojektion auf Flugrichtung, up = Rechtsschraube, down = Linksschraube

Im Grenzfall hoher Energien (Massen vernachlässigbar) gilt für beliebigen Spinor  $\Psi$

$$\gamma^5 \Psi = \begin{pmatrix} \vec{\sigma} \cdot \frac{\vec{p}}{|\vec{p}|} & 0 \\ 0 & \vec{\sigma} \cdot \frac{\vec{p}}{|\vec{p}|} \end{pmatrix} \Psi \quad \text{mit} \quad \gamma^5 = \begin{pmatrix} 0 & 0 & 1 & 0 \\ 0 & 0 & 0 & 1 \\ 1 & 0 & 0 & 0 \\ 0 & 1 & 0 & 0 \end{pmatrix} \Rightarrow \gamma^5 \equiv \text{Helizitätsoperator!}$$

Bei hohen Energien haben unsere vier Basisspinoren folgende Form (wähle  $z||\vec{P}$ ):

$$u_1 = \sqrt{E} \begin{pmatrix} 1 \\ 0 \\ 1 \\ 0 \end{pmatrix}, \quad u_2 = \sqrt{E} \begin{pmatrix} 0 \\ 1 \\ 0 \\ -1 \end{pmatrix}, \quad v_1 = \sqrt{E} \begin{pmatrix} 0 \\ -1 \\ 0 \\ 1 \end{pmatrix}, \quad v_2 = \sqrt{E} \begin{pmatrix} 1 \\ 0 \\ 1 \\ 0 \end{pmatrix}$$

Chiralitäts-Projektionsoperator:  $P_L = \frac{1}{2}(1 - \gamma^5) = \frac{1}{2} \begin{pmatrix} 1 & 0 & -1 & 0 \\ 0 & 1 & 0 & -1 \\ -1 & 0 & 1 & 0 \\ 0 & -1 & 0 & 1 \end{pmatrix}, P_R = \frac{1}{2}(1 + \gamma^5) = \frac{1}{2} \begin{pmatrix} 1 & 0 & 1 & 0 \\ 0 & 1 & 0 & 1 \\ 1 & 0 & 1 & 0 \\ 0 & 1 & 0 & 1 \end{pmatrix}$

	$u_1$	$u_2$	$v_1$	$v_2$
<i>Impuls/Spin</i>	$\uparrow\uparrow$	$\uparrow\downarrow$	$\downarrow\downarrow$	$\downarrow\uparrow$
$P_L$	$P_L u_1 = 0$	$P_L u_2 = u_2$	$P_L v_1 = v_1$	$P_L v_2 = 0$
$P_R$	$P_R u_1 = u_1$	$P_R u_2 = 0$	$P_R v_1 = 0$	$P_R v_2 = v_2$

Achtung: das linkshändige  $v_1$  mit negativer Energie, Impuls und Spin nach unten

$\equiv$  **rechtshändiges** Positron mit Impuls und Spin nach oben (und  $v_2 \equiv$  **linkshändiges** Positron)

# Helizitätserhaltung der elektromagnetischen WW

Elm. Wechselwirkung  $\sim j^\mu A_\mu$  mit  $j^\mu = \bar{u} \gamma^\mu u$

**Behauptung:** diese WW ist helizitätserhaltend: Beweis:

$$\text{Mit } 1 = \frac{1}{2}(1 - \gamma^5) + \frac{1}{2}(1 + \gamma^5) = P_L + P_R$$

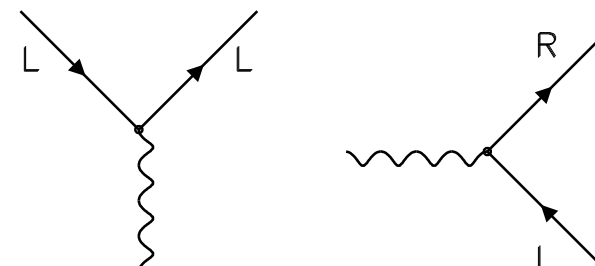
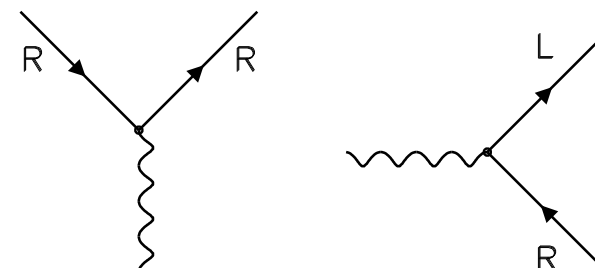
$$\bar{u} \gamma^\mu u = (\bar{u}_L + \bar{u}_R) \gamma^\mu (u_L + u_R) \quad \underbrace{=} \quad (\bar{u}_L \gamma^\mu u_L) + (\bar{u}_R \gamma^\mu u_R)$$

zu zeigen

$$\bar{u}_L = u_L^+ \gamma^0 = u^+ \frac{1}{2}(1 - \gamma^5) \gamma^0 = \bar{u} \frac{1}{2}(1 + \gamma^5)$$

$$\rightarrow \bar{u}_L \gamma^\mu u_R = \frac{1}{4} \bar{u} [(1 + \gamma^5) \gamma^\mu (1 + \gamma^5)] u$$

$$= \frac{1}{4} \bar{u} \gamma^\mu [(1 - \gamma^5)(1 + \gamma^5)] u = 0$$

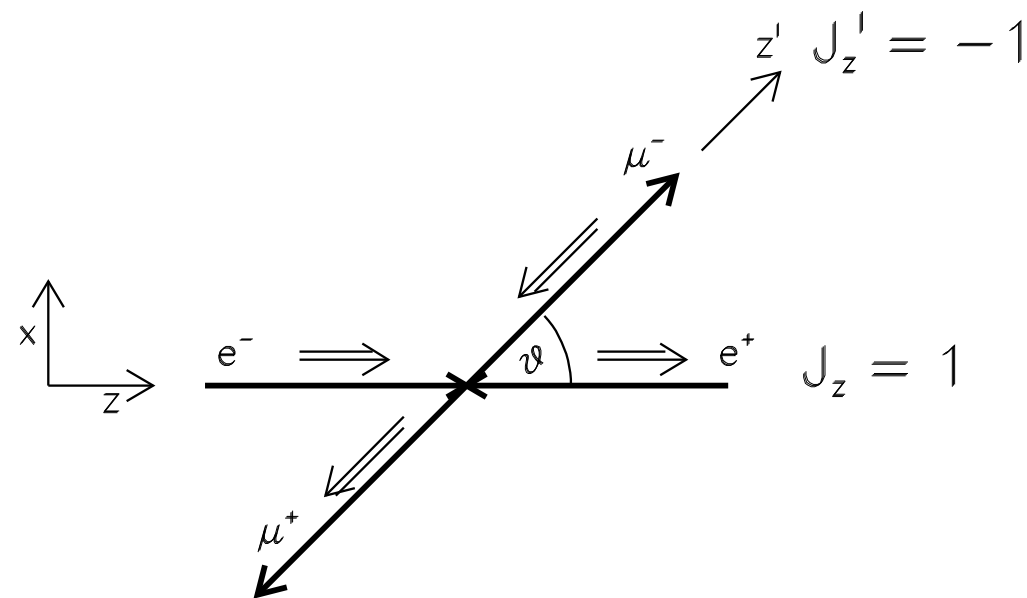


$\Rightarrow$  keine Spinflips erlaubt

Erlaubte Vertices zu  $o(m/E)$

## Berechnung des Matrixelementes für $e^- e^+ \rightarrow \mu^- u^+$ über $LL$ , $RR$ Amplituden

Amplituden für die Streuung  $\sim$  Wahrscheinlichkeitsamplituden dass wenn im rotierten System  $J'_z = \lambda' \rightarrow$  dann im unrotierten System  $J_z = \lambda$



Amplituden  $M \sim d_{\lambda' \lambda}^J(\theta) = \langle j\lambda' | e^{-i\theta J_y} | j\lambda \rangle$        $d = \text{Rotationsmatrizen}^a$

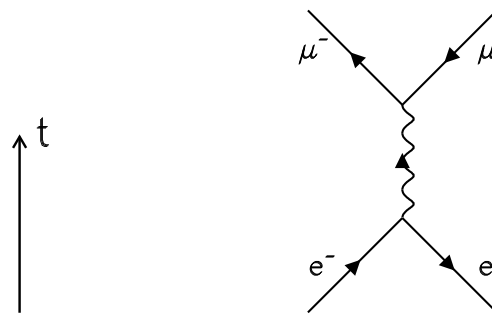
$\lambda, \lambda'$  = Nettohelizitäten || zur  $z$  und  $z'$  Achse

$$\left. \begin{aligned} d_{11}^1(\theta) &= d_{-1-1}^1(\theta) = \frac{1}{2}(1 + \cos \theta) = -\frac{u}{s} \\ d_{1-1}^1(\theta) &= d_{-11}^1(\theta) = \frac{1}{2}(1 - \cos \theta) = -\frac{t}{s} \end{aligned} \right\} \Rightarrow |M|^2 \sim \frac{u^2 + t^2}{s^2}$$

---

<sup>a</sup>mehr zu den Rotationsmatrizen und ihrer Bedeutung: siehe D. Perkins: Introduction to HEP, Appendix c

# Myon-Paarerzeugung $e^+e^- \rightarrow \mu^+\mu^-$ mit Spinoren gerechnet



$$M = +ie^2 \frac{1}{q^2} [\bar{v}(p_2)\gamma_\mu u(p_1)] [\bar{u}(p_4)\gamma^\mu v(p_3)]$$

↓ Unterschied zu  $u$

$$\overline{|M|^2} = \left( \frac{e^4}{q^4} \right) \underbrace{L_{\mu\nu}}_{\text{Elektron}} \underbrace{M^{\mu\nu}}_{\text{Myon}}$$

$$\sum_{s_1, s_2} v\bar{v} = (\not{p} - m)$$

$$\sum_{s_1, s_2} u\bar{u} = (\not{p} + m)$$

$$\begin{aligned} L_{\mu\nu} &= \frac{1}{2} \sum_{s_1, s_2} [\bar{v}(p_2)\gamma_\mu u(p_1)] [\bar{u}(p_1)\gamma_\nu v(p_2)] = \frac{1}{2} Spur [\gamma_\mu (\not{p}_1 + m)\gamma_\nu (\not{p}_2 - m)] \\ &= 2 [p_{1\mu}p_{2\nu} + p_{1\nu}p_{2\mu} - (p_1 p_2)g_{\mu\nu} - m^2 g_{\mu\nu}] \\ &\quad \text{"+" bei } e^- \mu^- \rightarrow e^- \mu^- \end{aligned}$$

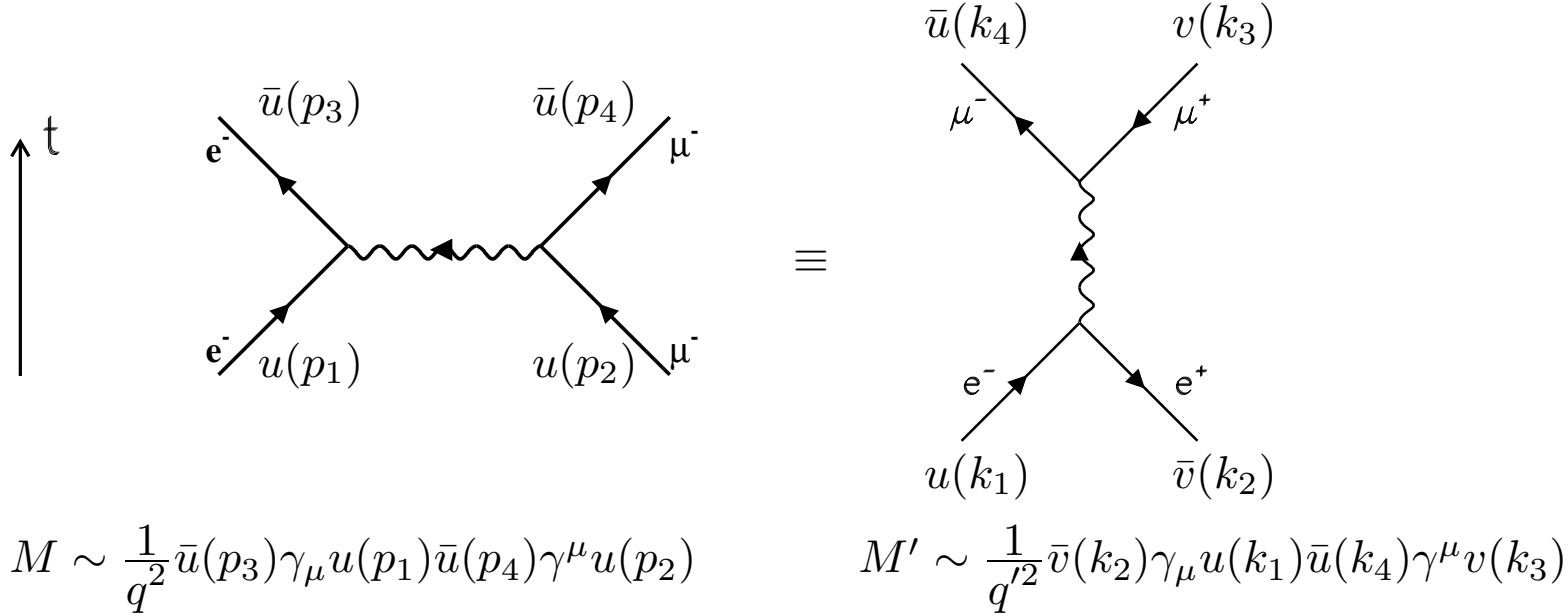
$$\text{Analog } M^{\mu\nu} = \frac{1}{2} Spur [\gamma^\mu (\not{p}_4 - M)\gamma^\nu (\not{p}_3 + m)] = \dots$$

$$L_{\mu\nu} M^{\mu\nu}|_{e^-e^+ \rightarrow \mu^-\mu^+} = 8 [(p_1 p_4)(p_2 p_3) + (p_1 p_3)(p_2 p_4) + m^2 (p_3 p_4) + \mathcal{M}^2 (p_1 p_2) + 2m^2 \mathcal{M}^2]$$

$$\text{Vergleiche: } L_{\mu\nu} M^{\mu\nu}|_{e^-\mu^- \rightarrow e^-\mu^-} = 8 [(p_1 p_2)(p_3 p_4) + (p_1 p_4)(p_2 p_3) - m^2 (p_2 p_4) - \mathcal{M}^2 (p_1 p_3) + 2m^2 \mathcal{M}^2]$$

identisch wenn  $p_2 \leftrightarrow -p_3 \Rightarrow$  Ergebnisse können durch Crossing gewonnen werden (Resultate s. oben)

## Crossingregeln



Um  $M$  in  $M'$  zu überführen, substituiere:

$$p_2 \rightarrow -k_3 \quad u(p_2) \rightarrow v(k_3)$$

$$p_3 \rightarrow -k_2 \quad \bar{u}(p_3) \rightarrow \bar{v}(k_2)$$

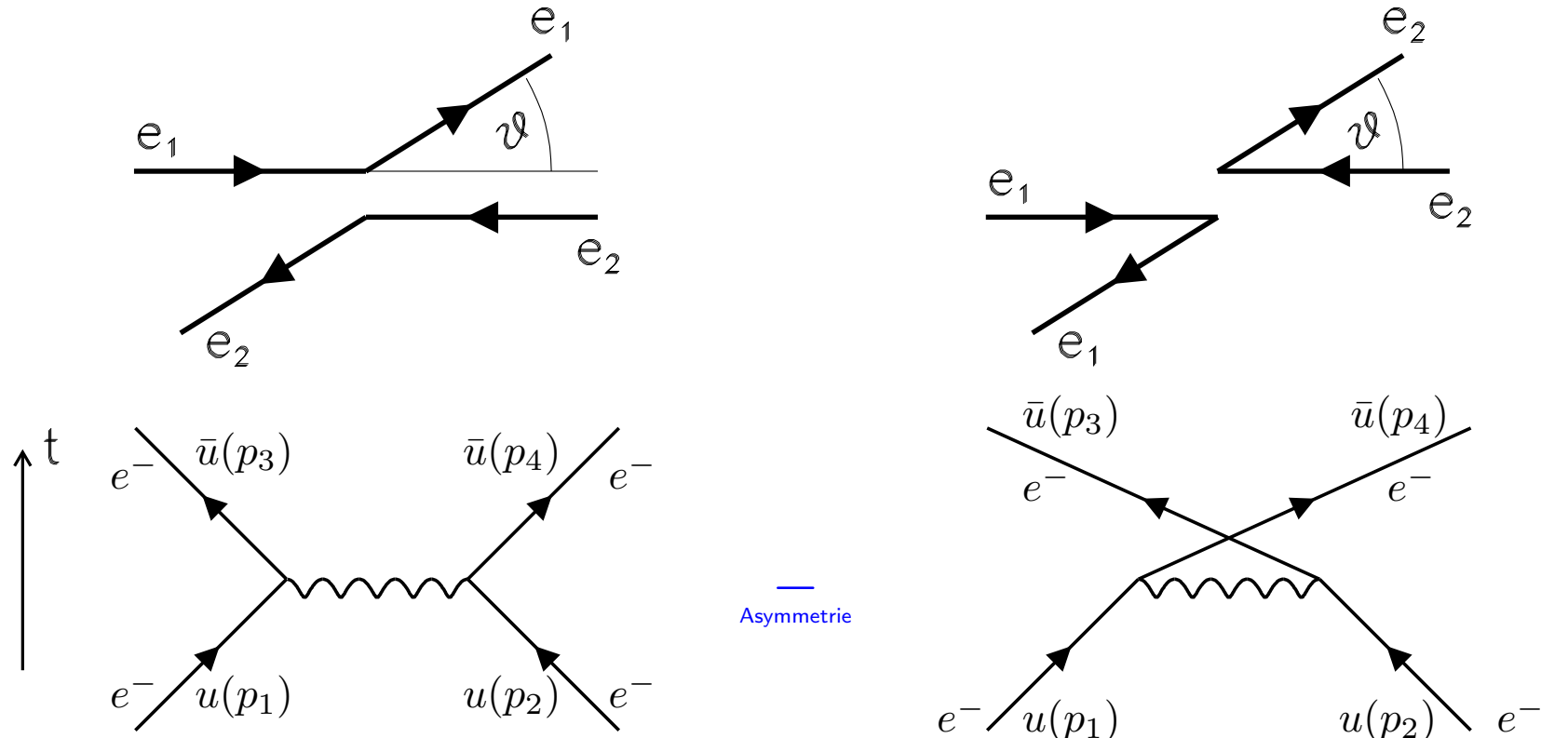
$$p_1 \rightarrow k_1 \quad p_4 \rightarrow k_4$$

## $e^- e^- \rightarrow e^- e^-$ Streuung (Møller Streuung)

(Praktische Bedeutung: Zur Messung der  $e^-$  Polarisation ( $e^-$  Streuung an Fe-Folien))

Besonderheit: Elektronen im Endzustand sind **ununterscheidbar**

Fermionen:  $\Rightarrow$  Streuamplitude muss antisymmetrisch sein bezüglich Vertauschung der Elektronen!



$$\text{"t-Kanal":} \quad q^2 = (p_1 - p_3)^2 = t$$

$$\underbrace{ie^2 \left[ \frac{1}{q^2} \bar{u}(p_3) \gamma_\mu u(p_1) \bar{u}(p_4) \gamma^\mu u(p_2) \right]}_{M_1}$$

$$\text{"u-Kanal":} \quad q'^2 = (p_1 - p_4)^2 = u$$

$$- \underbrace{ie^2 \left[ \frac{1}{q'^2} \bar{u}(p_4) \gamma_\mu u(p_1) \bar{u}(p_3) \gamma^\mu u(p_2) \right]}_{M_2}$$

## Møller Streuung Wirkungsquerschnitt:

Matrixelement:

$$M = M_1 - M_2 \Rightarrow |M|^2 = M \cdot M^* = (M_1 - M_2)(M_1 - M_2)^*$$

$$= |M_1|^2 + |M_2|^2 - \underbrace{2\text{Re}(M_1 M_2^*)}_{\text{Interferenzterm}}$$

*Im folgenden Hochenergienäherung:*

$$\overline{|M_1|^2} = 2e^4 \frac{s^2 + u^2}{t^2}, \quad \overline{|M_2|^2} = 2e^4 \frac{s^2 + t^2}{u^2}$$

$$\overline{M_1 M_2^*} = \frac{e^4}{tu} \frac{1}{4} \sum_{s_1, s_2} \sum_{s_3, s_3} [\bar{u}(p_3) \gamma_\mu \underbrace{u(p_1)}_{\not{p}_1}][\bar{u}(p_1) \gamma_\nu \underbrace{u(p_4)}_{\not{p}_4}][\bar{u}(p_4) \gamma^\mu \underbrace{u(p_2)}_{\not{p}_2}][\bar{u}(p_2) \gamma^\nu \underbrace{u(p_3)}_{\not{p}_3}]$$

$$\approx \frac{e^4}{4tu} \text{Spur}(\gamma_\mu \not{p}_1 \gamma_\nu \not{p}_4 \gamma^\mu \not{p}_2 \gamma^\nu \not{p}_3) = -\frac{8e^4}{tu} (p_1 p_2)(p_3 p_4) \approx -2e^4 \frac{s^2}{tu}$$

$$\overline{|M|^2} = 2e^4 \left[ \frac{s^2 + u^2}{t^2} + \frac{s^2 + t^2}{u^2} - 2 \frac{s^2}{tu} \right]$$

$$\frac{d\sigma}{d\Omega}|_{cms} = \frac{\alpha^2}{2s} \left\{ \frac{1 + \cos^4 \frac{\theta}{2}}{\sin^4 \frac{\theta}{2}} + \frac{1 + \sin^4 \frac{\theta}{2}}{\cos^4 \frac{\theta}{2}} + \frac{2}{\sin^2 \frac{\theta}{2} \cos^2 \frac{\theta}{2}} \right\}$$

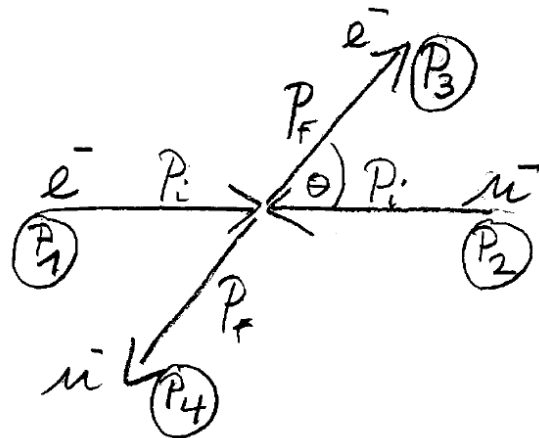
**TABLE 6.1**  
Leading Order Contributions to Representative QED Processes

	Feynman Diagrams			$ \mathcal{M} ^2/2e^4$		
	Forward peak	Backward peak	Forward	Interference	Backward	
Möller scattering $e^- e^- \rightarrow e^- e^-$ (Crossing $s \leftrightarrow u$ )			$\frac{s^2 + u^2}{t^2} + \frac{2s^2}{tu} + \frac{s^2 + t^2}{u^2}$			$(u \leftrightarrow t \text{ symmetric})$
Bhabha scattering $e^- e^+ \rightarrow e^- e^+$			$\frac{s^2 + u^2}{t^2} + \frac{2u^2}{ts} + \frac{u^2 + t^2}{s^2}$	Forward	Interference	Time-like
$e^- \mu^- \rightarrow e^- \mu^-$ (Crossing $s \leftrightarrow t$ )			$\frac{s^2 + u^2}{t^2}$			$\frac{u^2 + t^2}{s^2}$
$e^- e^+ \rightarrow \mu^- \mu^+$						

# Von der $e^- \mu^-$ zur $e^-$ Quark Streuung

9. Vorlesung, 7.5.2010

Vorbemerkung: Wir vernachlässigen in dieser Vorlesung durchgehend die Elektronmasse, d.h.  $m_e = 0$



$$\frac{d\sigma}{d\Omega}_{cms} = \frac{1}{(8\pi)^2 s} \frac{P_f}{P_i} \overline{|M|^2}$$

Herleitung s. Vorlesung 6

$$Q^2 \approx 2p_1 p_3 = E_1 E_3 - 2P_i P_f \cos \theta \quad \Rightarrow dQ^2 = 2P_f P_i d(-\cos \theta) = \frac{P_i P_f}{\pi} d\Omega$$

$$\Rightarrow \frac{d\sigma}{dQ^2} = \frac{1}{64\pi s P_i^2} \overline{|M|^2}$$

lorentzinvariant!

Es gilt:

$$P_i = \frac{s - \mathcal{M}^2}{2\sqrt{s}} \Rightarrow 4sP_i^2 = \bar{s}^2 \quad \text{mit } \bar{s} := s - \mathcal{M}^2 = 2p_1 p_2$$

$$\Rightarrow \frac{d\sigma}{dQ^2} = \frac{1}{16\pi \bar{s}^2} \overline{|M|^2}$$

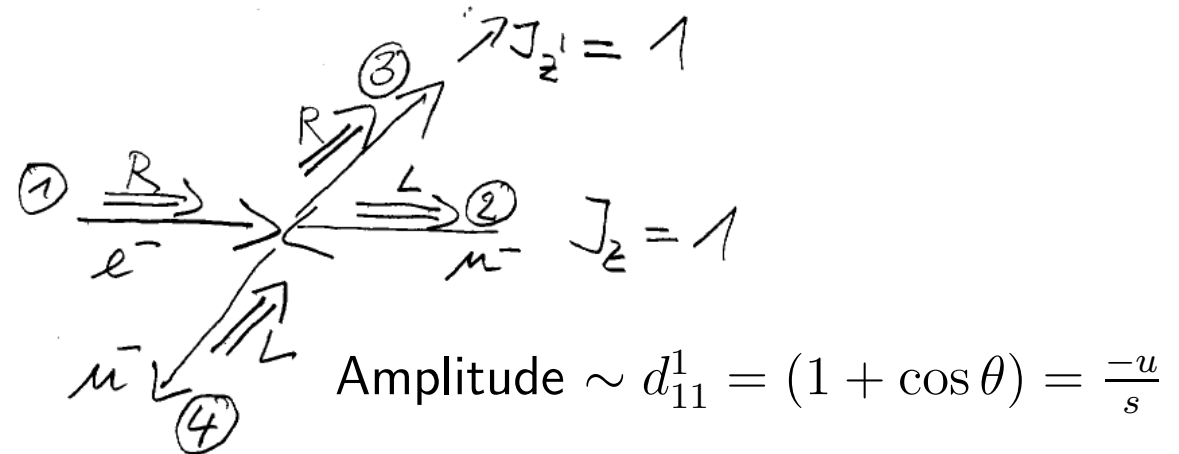
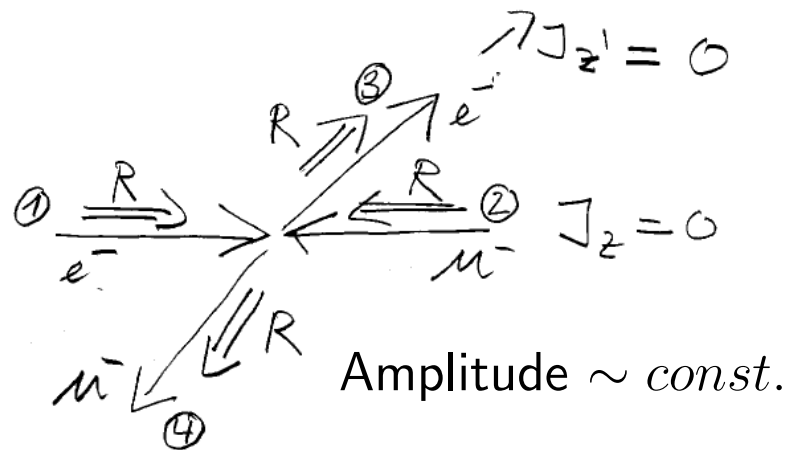
Beweis für  $P_i$ :

$$\begin{aligned} E_1 &\approx P_i, E_2 = \sqrt{\mathcal{M}^2 + P_i^2} \\ \sqrt{s} &= P_i + \sqrt{\mathcal{M}^2 + P_i^2} \\ \Rightarrow s &+ P_i^2 - 2\sqrt{s}P_i = P_i^2 + \mathcal{M}^2 \\ \Rightarrow P_i &= \frac{s - \mathcal{M}^2}{2\sqrt{s}} \end{aligned}$$

# $e^- \mu^-$ Streuung in der Hochenergienäherung (Wiederholung)

$$\overline{|M|^2} = \frac{e^4}{q^4} L_{\mu\nu} M^{\mu\nu} = \frac{8e^4}{q^4} \left[ \underbrace{(p_1 p_2)}_{\bar{s}/2} \underbrace{(p_3 p_4)}_{\bar{s}/2} + \underbrace{(p_1 p_4)}_{\bar{u}/2} \underbrace{(p_2 p_3)}_{\bar{u}/2} - \mathcal{M}^2 \underbrace{(p_1 p_3)}_{-q^2/2} \right] \quad \text{mit } \bar{u} = u - \mathcal{M}^2$$

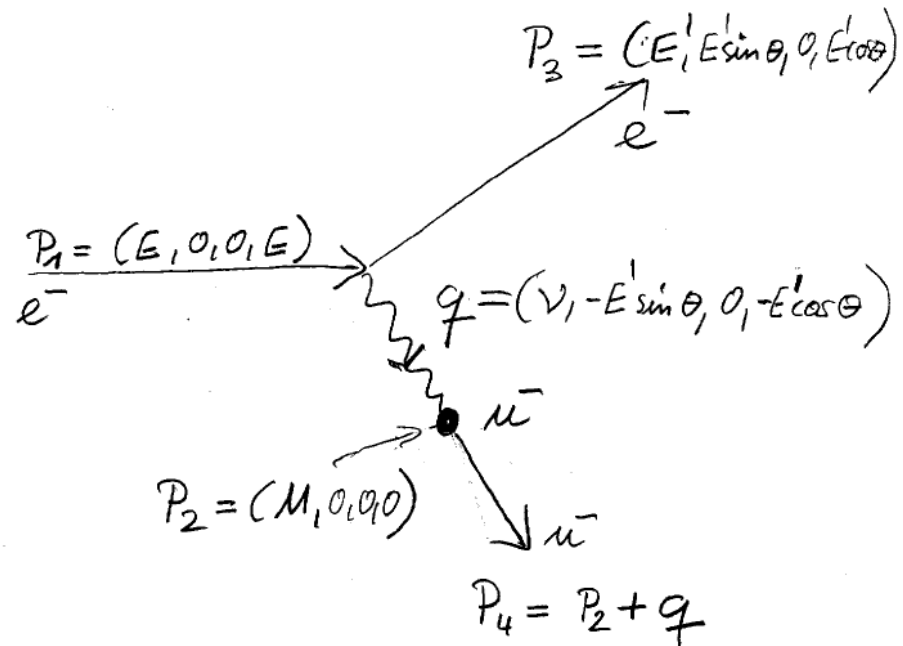
$$I := \frac{L_{\mu\nu} M^{\mu\nu}}{4\bar{s}^2} = \left[ \frac{1}{2} + \frac{\bar{u}^2}{2\bar{s}^2} + \mathcal{M}^2 \frac{q^2}{\bar{s}^2} \right] \xrightarrow{\text{Hochenergienäherung } \mathcal{M} \approx 0} \left[ \frac{1}{2} + \frac{\bar{u}^2}{2\bar{s}^2} \right]$$



Nützliche Umformungen:

$$t + s + u \approx 2\mathcal{M}^2 \Rightarrow t = -\bar{s} - \bar{u} \quad \Rightarrow \frac{t^2}{2\bar{s}^2} = \frac{(-\bar{s} - \bar{u})^2}{2\bar{s}^2} = \frac{1}{2} + \frac{\bar{u}^2}{2\bar{s}^2} + \frac{\bar{u}}{\bar{s}}$$

$$\Rightarrow I = \left[ \frac{t^2}{2\bar{s}^2} - \frac{\bar{u}}{\bar{s}} + \mathcal{M}^2 \frac{q^2}{\bar{s}^2} \right]$$



## $e^- \mu^-$ Streuung im Muonruhesystem

Auszurechnen:

$$\begin{aligned} \frac{d\sigma}{dQ^2} &= \frac{1}{16\pi\bar{s}^2} \overline{|M|^2} = \frac{4\pi\alpha^2}{q^4} I \\ &= \frac{4\pi\alpha^2}{q^4} \left[ \frac{t^2}{2\bar{s}^2} - \frac{\bar{u}}{\bar{s}} + \mathcal{M}^2 \frac{q^2}{\bar{s}^2} \right] \end{aligned}$$

$$\left\{ \begin{array}{l} \bar{s} = 2p_1 p_2 = 2\mathcal{M}E \\ \bar{u} = -2p_2 p_3 = -2\mathcal{M}E' \\ q^2 = -2p_1 p_3 = -4EE' \sin^2 \frac{\theta}{2} \\ q^2 = -2\mathcal{M} \underbrace{(E - E')}_{=\nu} \end{array} \right\} \Rightarrow \begin{array}{l} \frac{t^2}{2\bar{s}^2} = q^2 \frac{q^2}{2\bar{s}^2} = -\frac{E'}{E} \frac{q^2}{2\mathcal{M}^2} \sin^2 \frac{\theta}{2} \\ -\frac{\bar{u}}{\bar{s}} = \frac{E'}{E} \\ \mathcal{M}^2 \frac{q^2}{\bar{s}^2} = -\frac{E'}{E} \sin^2 \frac{\theta}{2} \end{array}$$

Beweis für zweite  $q^2$  Formel:  $\mathcal{M}^2 = (p_2 + q)^2 = \mathcal{M}^2 + 2p_2 q + q^2 \Rightarrow q^2 = -2\mathcal{M}(E - E')$

$$\Rightarrow \boxed{\frac{d\sigma}{dQ^2} = \frac{4\pi\alpha^2}{Q^4} \frac{E'}{E} \left( \cos^2 \frac{\theta}{2} + \frac{Q^2}{2\mathcal{M}^2} \sin^2 \frac{\theta}{2} \right)}$$

$E'$  ausrechnen:

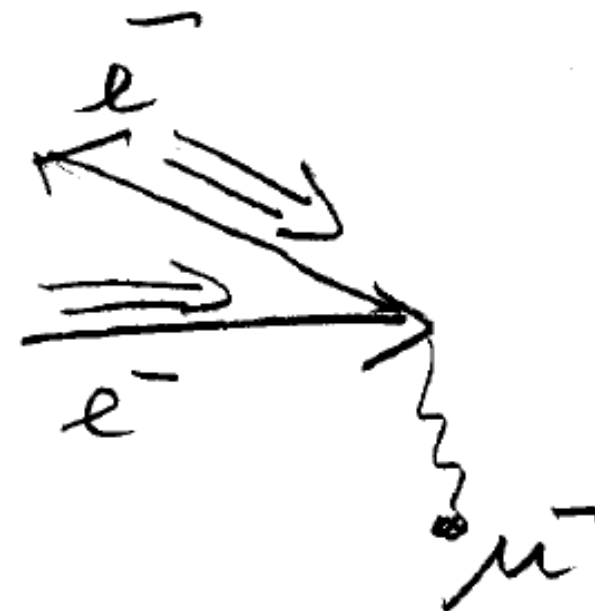
$$\begin{aligned} -4EE' \sin^2 \frac{\theta}{2} &= -2\mathcal{M}(E - E') \\ E'(E \sin^2 \frac{\theta}{2} + \frac{1}{2}\mathcal{M}) &= \frac{1}{2}\mathcal{M}E \\ E' &= \frac{E}{1 + \frac{2E}{M} \sin^2 \frac{\theta}{2}} \end{aligned}$$

## $e^- \mu^-$ Streuung im Muonruhesystem



Mottstreuung:

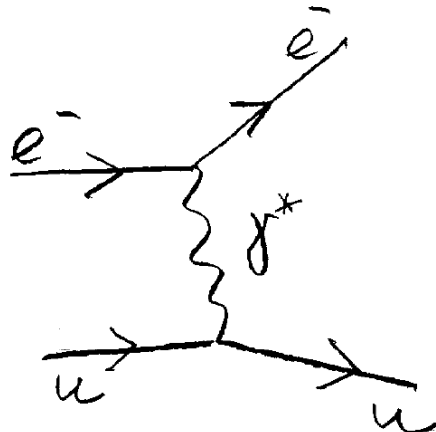
$$\text{Amplitude} \sim d_{1/2 \ 1/2}^{1/2} = \cos \frac{\theta}{2}$$



Modifikation durch Wechselwirkung mit magnetischem  
Moment des Muons  $\rightarrow$  Helizität des Elektrons wechselt!  
Amplitude:  $\sim d_{1/2 - 1/2}^{1/2} = \sin \frac{\theta}{2}$

## $e^- u$ Quark Streuung

Wenn es freie Quarks gäbe...

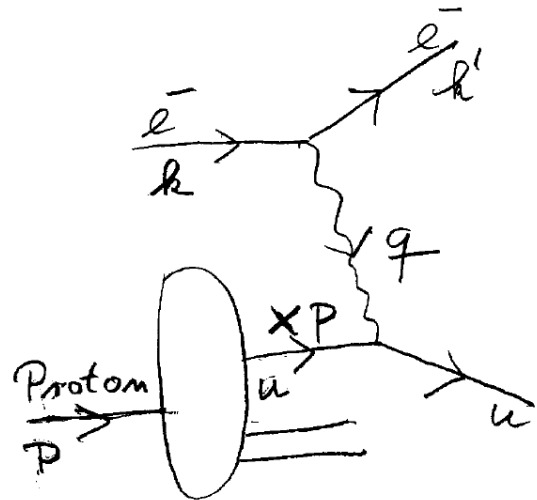


Mit  $s_q = (p_e + p_u)^2$ , Quarkmasse  $m_u$  und Ladung  $Q_u = 2/3$ :

$$\frac{d\sigma}{dQ^2} = \frac{4\pi\alpha^2 Q_u^2}{q^4} I = \frac{4\pi\alpha^2 Q_u^2}{q^4} \left[ \frac{t^2}{2\bar{s}_q^2} - \frac{\bar{u}}{\bar{s}_q} + \frac{m_u^2 q^2}{\bar{s}_q^2} \right]$$

$$\underset{m_u \sim 0}{\approx} \frac{4\pi\alpha^2 Q_u^2}{q^4} \left[ \frac{t^2}{2s_q^2} - \frac{u}{s_q} \right] = \frac{4\pi\alpha^2}{q^4} \left[ \frac{t^2}{2s_q^2} + 1 + \frac{t}{s_q} \right]$$

Inelastische Elektronprotonstreuung bei HERA im Quark Parton Modell:



$$s = (p + k)^2 \approx 2pk$$

$x p$  = Viererimpuls des einlaufenden  $u$  Quarks, ( $x \equiv$  Impulsbruchteil)

$$s_q = (xp + k)^2 \approx 2xpk = xs$$

$q = (k - k')$  Photonviererimpuls

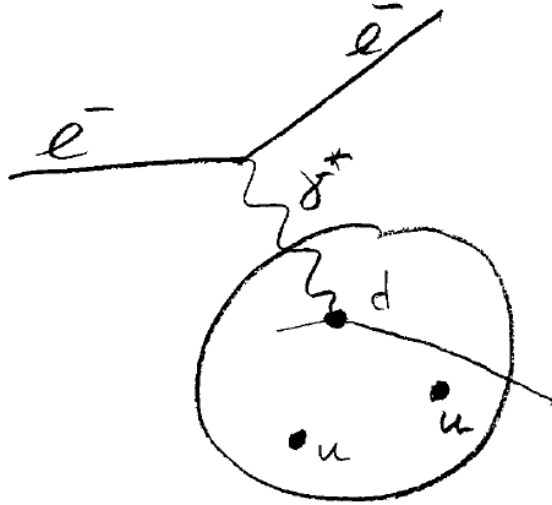
$$Q^2 = -q^2 \approx -2kk' \quad (\equiv \text{Auflösung des Photons})$$

$$y = \frac{pq}{pk} \quad (\equiv \text{Energie des Photons})$$

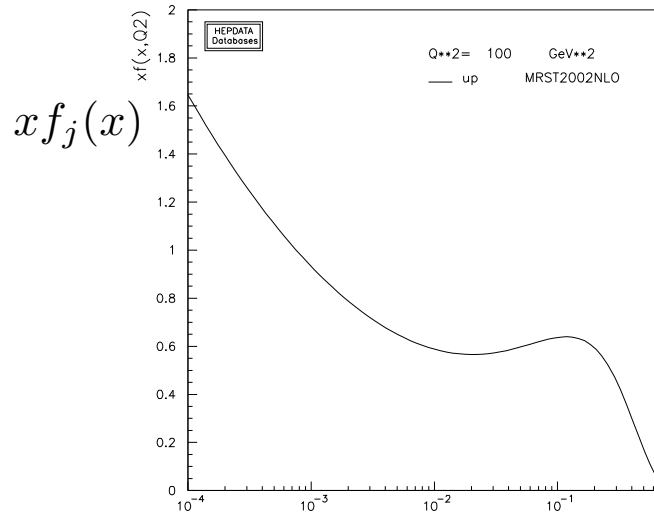
$$(xp + q)^2 = 2xpk + q^2 \approx 0 \Rightarrow x = \frac{Q^2}{2pq}$$

$$Q^2 = 2kp \frac{pq}{pk} \frac{Q^2}{2pq} = syx \Rightarrow y = \frac{Q^2}{sx} = \frac{Q^2}{s_q} = \frac{-t}{s_q}$$

# Inelastische Elektronprotonstreuung und Formfaktoren



Annahme: inkohärente Streuung  
an verschiedenen Partonen



$f_j$ : Wahrscheinlichkeit Parton  $j$  mit Impulsanteil zwischen  $x$  und  $x+dx$  zu finden

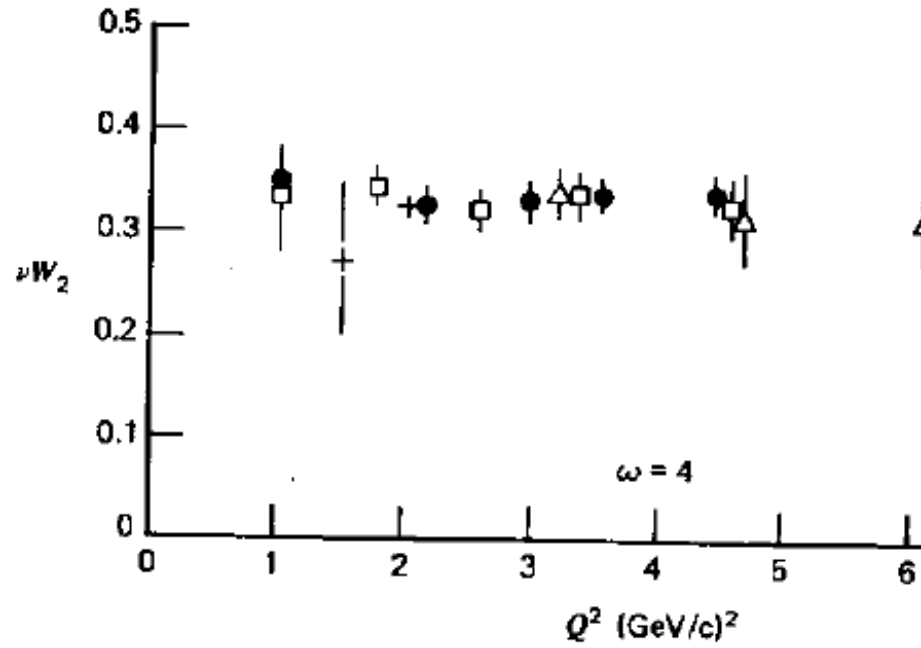
$$\frac{d^2\sigma}{dQ^2dx} = \frac{4\pi\alpha^2}{q^4} \left(1 - y + \frac{1}{2}y^2\right) \sum_j Q_j^2 f_j(x)$$

$$\text{Definiere Strukturfunktion: } F_2 := x \sum Q_j^2 f_j(x) \Rightarrow \frac{d\sigma}{dQ^2dx} = \frac{4\pi\alpha^2}{Q^4 x} (1 - y + \frac{1}{2}y^2) F_2(x)$$

$$\text{Allgemeinerer Ansatz: } \frac{d^2\sigma}{dQ^2dx} = \frac{4\pi\alpha^2}{Q^4 x} \left[ \underbrace{(1-y)}_{\sim \cos^2 \frac{\theta}{2}} \overbrace{F_2(x)}^{\text{elektr. Formfaktor}} + \underbrace{xy^2}_{\sim \sin^2 \frac{\theta}{2}} \overbrace{F_1(x)}^{\text{magn. Formfaktor}} \right]$$

Wären Quarks Bosonen:  $F_1 = 0$ , Spin 1/2:  $2xF_1 = F_2$  (**Callan Gross Relation, experimentell bestätigt!**)

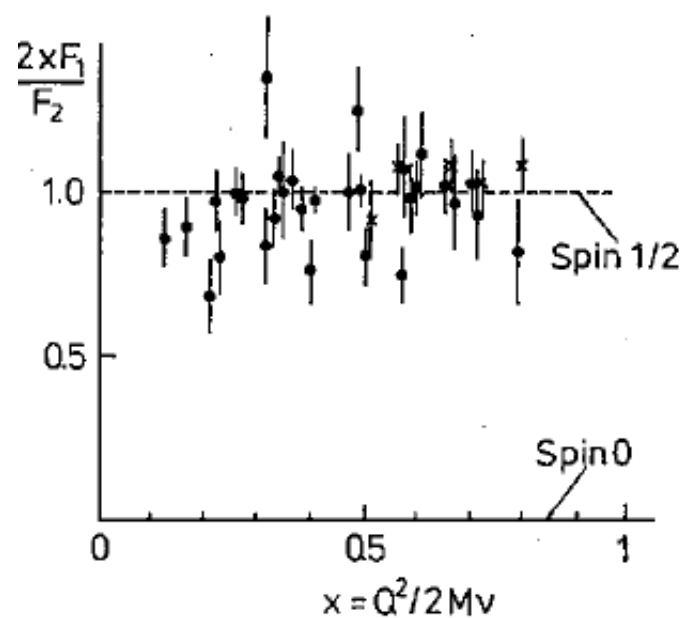
# Bjorken Scaling und Callan Gross Relation



SLAC Daten

$$\nu \omega_2 = F_2, \omega = \frac{1}{x}$$

Die Partondichten hängen bei dem getesteten  $x = 0.25$  im Bereich  $1 < Q^2 < 6$  GeV $^2$  kaum von der Auflösungsskala  $Q^2$  ab, was man als "Bjorken Scaling" bezeichnet. (Dies ist bei den viel kleineren  $x$  Werten und höheren Auflösungsskalen  $Q^2$  bei HERA ganz anders! → durch Effekte der QCD (Gluonabstrahlungen))



SLAC Daten

## 3.1 Eichinvarianz

10. Vorlesung, 11.5.2010

Eichinvarianz und Maxwellgleichungen:

$(\epsilon_0 = \mu_0 = 1, \text{ Heaviside-Lorentz-Einheiten})$

$$\vec{\nabla} \vec{E} = \rho, \quad \vec{\nabla} \vec{B} = 0$$

$$\vec{\nabla} \times \vec{E} = -\frac{d\vec{B}}{dt}, \quad \vec{\nabla} \times \vec{B} = \vec{j} + \frac{\partial \vec{E}}{\partial t}$$

Einführung von Potentialen:  $\vec{B} = \vec{\nabla} \times \vec{A}$

$$\vec{\nabla} \times \vec{E} = -\frac{\partial \vec{B}}{\partial t} = -\frac{\partial}{\partial t} (\vec{\nabla} \times \vec{A}) = -\vec{\nabla} \times \frac{\partial \vec{A}}{\partial t}$$

$$\rightarrow \vec{\nabla} \times \left( \vec{E} + \frac{\partial \vec{A}}{\partial t} \right) = 0 \quad \rightarrow \vec{E} + \frac{\partial \vec{A}}{\partial t} = -\vec{\nabla} \Phi$$

$$\left. \begin{array}{l} \vec{E} = -\vec{\nabla} \Phi - \frac{\partial \vec{A}}{\partial t} \\ \vec{B} = \vec{\nabla} \times \vec{A} \end{array} \right\} \quad \begin{array}{l} \text{statt} \\ \longrightarrow \end{array} \quad \begin{array}{l} \vec{E}, \vec{B} \\ \Phi, \vec{A} \end{array}$$

$\vec{A}, \Phi$  sind nicht eindeutig festgelegt

$$\begin{aligned} \vec{A}' &= \vec{A} + \vec{\nabla} \chi(\vec{r}.t) \Rightarrow \vec{B}' = \vec{B} \\ \Phi' &= \Phi - \frac{\partial}{\partial t} \chi(\vec{r}.t) \Rightarrow \vec{E}' = \vec{E} \end{aligned}$$

$\vec{A}, \Phi$  zu Vierervektor

$$A^\mu = (\Phi, \vec{A})$$

$$A^\mu \xrightarrow{\text{Eichtrafo}} A'^\mu = A^\mu - \partial^\mu \chi$$

lässt  $\vec{E}, \vec{B}$  und Maxwellgl. invariant

$$\partial^\mu = \left( \frac{\partial}{\partial t}, -\vec{\nabla} \right)$$

## Bemerkungen und Schreibweisen:

---

Viererstromdichte:  $j^\mu = (\rho, \vec{j})$

$$\text{Feldstärketensor: } F_{\mu\nu} = \partial_\mu A_\nu - \partial_\nu A_\mu = \begin{pmatrix} 0 & E_1 & E_2 & E_3 \\ -E_1 & 0 & -B_3 & B_2 \\ -E_2 & B_3 & 0 & -B_1 \\ -E_3 & -B_2 & B_1 & 0 \end{pmatrix}$$

Damit lauten die Maxwellgleichungen:

$$1.) \quad \partial_\lambda F_{\mu\nu} + \partial_\mu F_{\nu\lambda} + \partial_\nu F_{\lambda\mu} = 0 \quad \mu, \nu, \lambda = 0, 1, 2, 3 \\ (\text{4 Gleichungen}) \quad \rightarrow \vec{\nabla} \times \vec{E} = \dots, \vec{\nabla} \times \vec{B} = \dots$$

$$2.) \quad \partial^\mu F_{\mu\nu} = j_\nu \\ (\text{4 Gleichungen}) \quad \rightarrow \vec{\nabla} \vec{E} = \dots, \vec{\nabla} \times \vec{B} = \dots$$

- Kontinuitätsgleichung: Differenzieren von ② und Einsetzen von  $F_{\mu\nu}$   
 $\partial^\nu j_\nu = 0 \rightarrow \frac{\partial \rho}{\partial t} + \vec{\nabla} \cdot \vec{j} = 0$
- Wellengleichung: Einsetzen von  $F_{\mu\nu}$  in ② $\square A^\nu - \partial^\nu (\partial_\mu A^\mu) = j^\nu$
- Lorenzgleichung: Man kann geeignetes  $\chi$  finden, so dass  
 $\partial_\mu A^\mu = 0 \rightarrow \square A^\nu = j^\nu$

## Eichinvarianz in der Quantenmechanik:

---

### 1.) Schrödinger-Gleichung mit elm. Feld

$$\left\{ \frac{1}{2m} \left( -i\vec{\nabla} - q\vec{A} \right)^2 + q\Phi \right\} \Psi(x) = i\frac{\partial}{\partial t}\psi(x)$$

$$\left( \begin{array}{l} \text{andere Schreibweise: } \vec{D} = -\vec{\nabla} + iq\vec{A}, \ D^0 = \frac{\partial}{\partial t} + iq\Phi \\ \Rightarrow \frac{1}{2m}(i\vec{D})^2\psi = iD^0\psi \end{array} \right)$$

Eichtrafo:

$$\vec{A} \rightarrow \vec{A}' = \vec{A} + \vec{\nabla}\chi$$

$$\Phi \rightarrow \Phi' = \Phi - \frac{\partial}{\partial t}\chi$$

Damit SGL forminvariant ist, muss sich  $\psi$  wie folgt transformieren:

$$\psi(x) \rightarrow \psi'(x) = \underbrace{\psi(x)}_{\text{lokale Phasenänderung}} e^{+iq\chi(x)}$$

## Eichinvarianz in der Quantenmechanik:

---

### 2. Relativistische Wellengleichungen

$$(i\gamma^\mu D_\mu - m)\psi = 0$$

$$D_\mu = \partial_\mu + iqA_\mu \quad \text{kovariante Ableitung}$$

ist identisch mit

$$(i\nabla - m)\psi = q\mathcal{A}\psi$$

Ist diese Gleichung invariant unter der Eichtrafo:?

$$A^\mu \rightarrow A'^\mu = A^\mu - \partial^\mu \chi$$

Ja, wenn

$$\psi \rightarrow \psi' = \psi \cdot e^{+iq\chi(t, \vec{x})}$$

Hier: Eichtrafo der Felder erfordert lokale Phasentransformation der Wellenfunktion damit Forminvarianz der Gleichungen gegeben.

# Lokale und globale Phasentransformation

## a) Globale PT:

$$\psi \rightarrow \psi' = e^{i\alpha} \psi \quad \alpha \text{ unabh. von } \vec{x} \text{ und } t$$

ist nicht messbar

Denn Observablen bleiben gleich:

$$\langle \mathcal{O} \rangle = \int d^3x \psi'^* \mathcal{O} \psi' = \int d^3x \psi^* e^{-i\alpha} \mathcal{O} e^{+i\alpha} \psi = \int d^3x \psi^* \mathcal{O} \psi$$

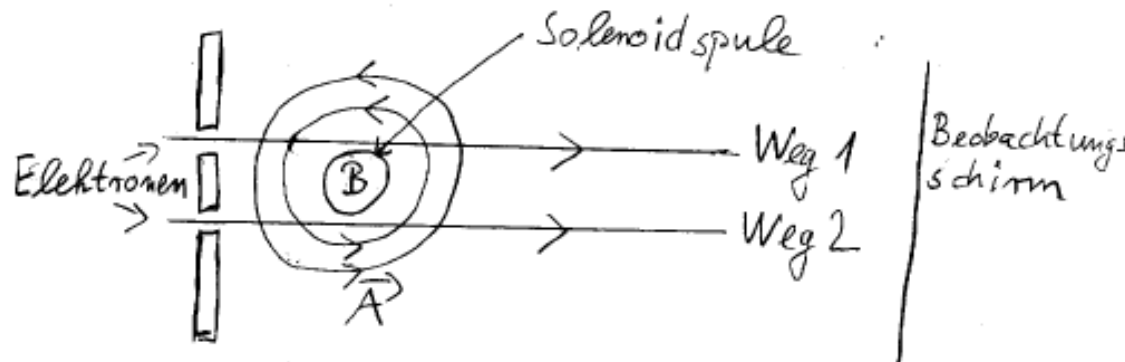
Bedeutung der globalen PT: Aus der Invarianz der Lagrangedichte gegenüber globaler PT folgt ein Erhaltungssatz (Noether-Theorem)

## b) lokale Phasentransformationen

$$\psi \rightarrow \psi'(x) = e^{iq\chi(x)} \psi(x)$$

Ändern die Observablen! (z.B. Interferenzmuster)

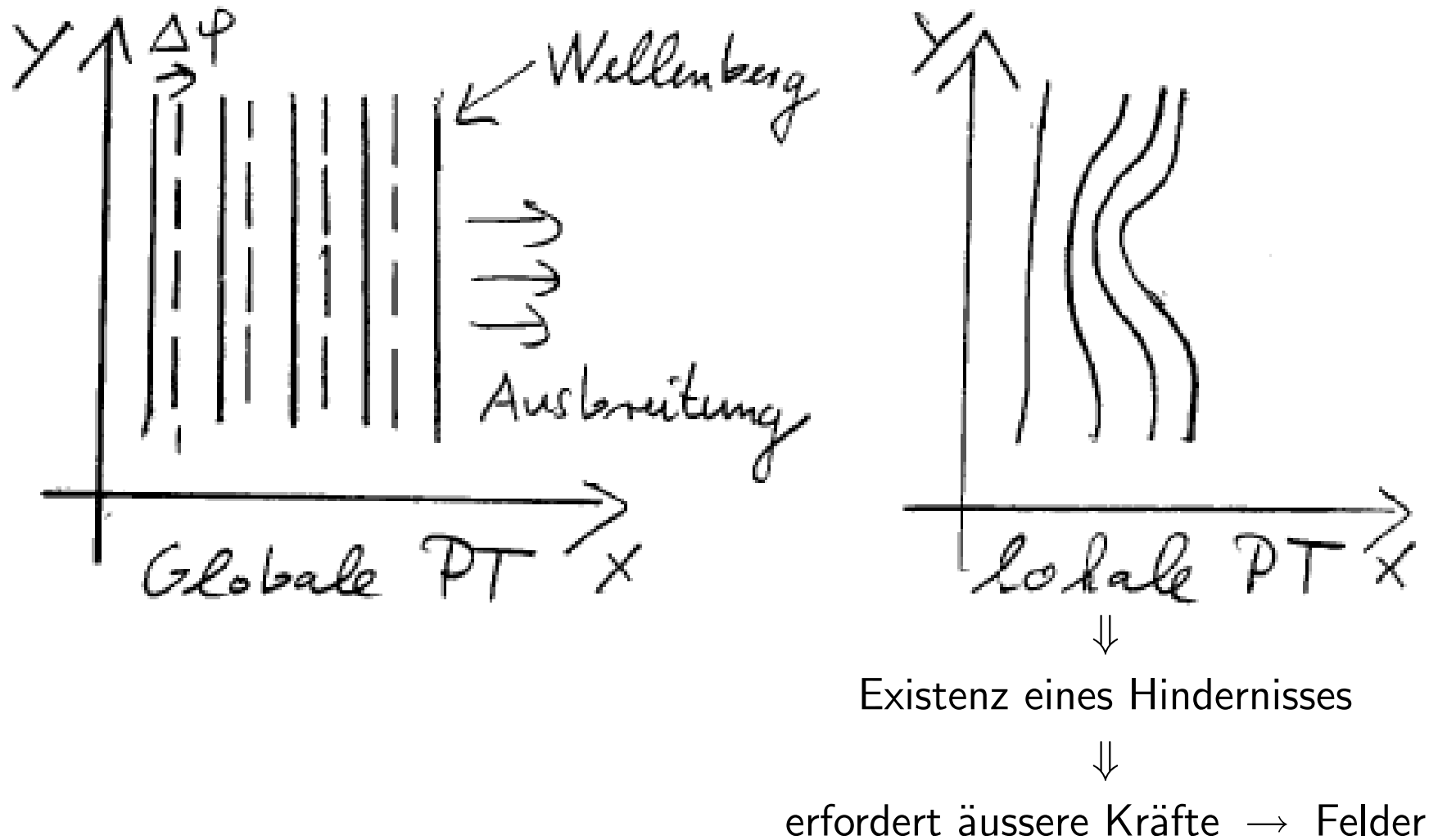
Aharonov Bohm Effekt



$$\begin{aligned}\lambda &= \frac{2\pi}{|\vec{P}|} = \frac{2\pi\hbar}{|m\vec{v} - e\vec{A}|} \\ \rightarrow \Delta\varphi &= \frac{2\pi}{\lambda} \Delta x \\ \Delta\varphi' &= -\frac{e}{\hbar} \vec{A} \cdot \Delta \vec{x}\end{aligned}$$

mit  $\vec{A}$

## Veranschaulichung mit Wasserwellen



## Lokale Phasentransformation $\leftrightarrow$ Eichinvarianz

---

DGL im Vakuum

$$(i\gamma^\mu \partial_\mu - m)\psi(x) = 0$$

Jetzt lokale PT:  $\psi' = e^{iq\chi(x)}\psi(x)$

$$\begin{aligned}(i\gamma^\mu \partial_\mu - m)\psi' &= e^{iq\chi} \underbrace{(i\gamma^\mu \partial_\mu - m)\psi}_{=0} - q\gamma^\mu \partial_\mu \chi \underbrace{e^{iq\chi}\psi}_{\psi'} \\ &= -q\gamma^\mu \partial_\mu \chi \cdot \psi'\end{aligned}$$

DG mit Feld

$$(i\gamma^\mu \partial_\mu - m)\psi' = q\gamma^\mu A'_\mu \psi' \quad \text{wobei hier} \quad A'_\mu = -\partial_\mu \chi$$

Invarianz bei lokaler Phasentrafo geht nur mit Feld

$$(i\gamma^\mu \partial_\mu - m)\psi(x) = q\gamma^\mu A_\mu(x)\psi(x)$$

$\psi'(x) = e^{iq\chi(x)}\psi(x)$  ist Lösung einer formgleichen Gleichung  
mit  $A'^\mu = A^\mu - \partial^\mu \chi$ .

# Eichprinzip:

Postulat/Forderung: Die Diracgleichung muss invariant sein gegenüber beliebiger lokaler Phasentransformation



Dies ist im feldfreien Raum unmöglich



Existenz eines Vektorfeldes ( $A^\mu$ )  
das gleichzeitig eichtransformiert wird

$$\Psi'(x) = e^{iq\chi(x)}\psi(x)$$

$$A'_\mu(x) = A_\mu(x) - \partial_\mu\chi(x)$$

Einführung der kovarianten Ableitung (minimale Kopplung):

$$D_\mu = \partial_\mu + iqA_\mu$$

## Verallgemeinerung (Ausblick)

---

### schwache WW: SU(2)

$$\Psi'(x) = \exp\left(i\frac{g}{2} \vec{\tau} \cdot \vec{\beta}(x)\right) \psi(x)$$

↓ 2 × 2 Matrizen  
↑  
Pauli-Matrizen

$$D^\mu = \partial^\mu + i\frac{g}{2}\vec{\tau}\vec{W}^\mu \rightarrow \text{3 Felder, da 3 Winkel im Isospinraum}$$

### starke WW: Farb SU(3)

$$\psi'(x) = \exp\left(i\frac{g_s}{2} \lambda_j \beta_j(x)\right) \psi(x)$$

↓ 3 × 3 Matrizen Gell-Mann Matrizen  
↑  
 $j = 1, \dots, 8 \Rightarrow$  Existenz der 8 Gluonen Felder

# Der Lagrange-Formalismus

11. Vorlesung, 11.5.2010

Literatur: Anhang A,B Schmüser, Kapitel 1 Griffith

- ① LF in klassischer Mechanik:

$$L(\underbrace{q, \dot{q}}_{\text{verallgemeinerte Koordinaten}}) \text{ Lagrange Funktion} \quad \left. \begin{array}{l} \text{Aus } \delta S = 0 \text{ mit } S = \int dt L(q, \dot{q}) \\ \text{Wirkung} \end{array} \right\}$$
$$\delta S = \int dt \left[ \frac{\partial L}{\partial q} \delta q + \frac{\partial L}{\partial \dot{q}} \delta (\dot{q}) \right] = \int dt \left[ \frac{\partial L}{\partial q} \delta q + \frac{\partial L}{\partial \dot{q}} \frac{d}{dt} \delta (q) \right] =$$

$$\Rightarrow \boxed{\frac{\partial L}{\partial q} - \frac{d}{dt} \left( \frac{\partial L}{\partial \dot{q}} \right) = 0} \quad \text{Euler-Lagrangegleichungen}$$

Beispiel Punktteilchen:  $L = T - V = \frac{p^2}{2m} - V = \frac{1}{2}m\dot{x}^2 - V$

$$\frac{\partial L}{\partial q} = \frac{\partial L}{\partial x} = -\frac{\partial V}{\partial x} = F, \quad \frac{\partial L}{\partial \dot{x}} = m\dot{x} = P \quad \Rightarrow F - \frac{d}{dt}P = 0 \Rightarrow F = \frac{dP}{dt}$$

- ② Ausweitung auf Felder, allgemein  $\phi(x)$ :  $\mathcal{L} = \mathcal{L}(\phi(x), \partial_\mu \phi(x))$   
Lagrangedichte  $\mathcal{L}$ ,  $S = \int dt \int d^3x \mathcal{L}(\phi, \partial_\mu \phi)$

$$\text{Aus } \delta S = 0 \Rightarrow \boxed{\frac{\partial \mathcal{L}}{\partial \phi(x)} - \partial_\mu \frac{\partial \mathcal{L}}{\partial (\partial_\mu \phi(x))} = 0}$$

## Beispiele für Lagrangedichten:

---

### 1. Skalares Feld:

$$\mathcal{L}_{Skalar} = \frac{1}{2} [(\partial_\mu \phi) (\partial^\mu \phi) - m^2 \phi^2]$$

$$\frac{\partial \mathcal{L}}{\partial \phi} = -m^2 \phi; \quad \frac{\partial \mathcal{L}}{\partial_\mu \phi} = \partial^\mu \phi$$

$$\Rightarrow \text{Lagrangegleichungen: } -m^2 \phi - \partial_\mu \partial^\mu \phi = 0 \\ \partial_\mu \partial^\mu \phi + m^2 \phi = 0 \quad \text{Klein-Gordon-Gleichung}$$

### 2. Dirac-Feld:

$$\mathcal{L}_{Dirac} = \bar{\psi}(x) (i\gamma^\mu \partial_\mu - m) \psi(x) = i\bar{\psi} \gamma^\mu \partial_\mu \psi - m \bar{\psi} \psi$$

$\bar{\psi}, \psi$  als unabhängige Koordinaten

$$\frac{\partial \mathcal{L}}{\partial \psi} = -m \bar{\psi}; \quad \frac{\partial \mathcal{L}}{\partial (\partial_\mu \psi)} = \bar{\psi} i\gamma^\mu$$

$$\Rightarrow \text{Lagrangegl.: } -m \bar{\psi} - \partial_\mu \bar{\psi} i\gamma^\mu = 0 \Rightarrow \bar{\psi} \left( i \overleftarrow{\partial}_\mu \gamma^\mu + m \right) = 0$$

$$\frac{\partial \mathcal{L}}{\partial \bar{\psi}} = (i\gamma^\mu \partial_\mu - m) \psi, \quad \frac{\partial \mathcal{L}}{\partial (\partial_\mu \bar{\psi})} = 0 \quad \Rightarrow \underline{\text{Lagrangegl.: }} (i\gamma^\mu \partial_\mu - m) \psi = 0$$

## QED Lagragedichte

---

### 3. Elektromagnetisches Feld (Vakuum)

$$\mathcal{L}_{em} = -\frac{1}{4}F_{\mu\nu}F^{\mu\nu} = -\frac{1}{4}(\partial_\mu A_\nu - \partial_\nu A_\mu)(\partial^\mu A^\nu - \partial^\nu A^\mu)$$

↑ nötig um richtige Energiedichte zu erhalten

$$(*) \quad \partial_\mu \frac{\partial \mathcal{L}}{\partial (\partial_\mu A_\nu)} \Rightarrow \text{Wellengleichung im Vakuum} \quad \square A^\nu - \partial^\nu (\partial_\mu A^\mu) = 0$$

### 4. Lagragedichte der QED:

$$\mathcal{L}_{Dirac} + \mathcal{L}_{em} \quad \text{mit } D_\mu = \partial_\mu + iqA_\mu$$

$$\begin{aligned} \mathcal{L}_{QED} &= \bar{\psi}(i\gamma^\mu D_\mu - m)\psi - \frac{1}{4}F_{\mu\nu}F^{\mu\nu} \\ &= \bar{\psi}(i\gamma^\mu \partial_\mu - m)\psi - \underbrace{q\bar{\psi}\gamma^\mu\psi}_{j^\mu} A_\mu - \frac{1}{4}F_{\mu\nu}F^{\mu\nu} \end{aligned}$$

Tests:

Euler-Lagrange-gl.

$$\begin{aligned} \frac{\partial \mathcal{L}}{\partial \psi} &= (i\gamma^\mu \partial_\mu - m)\psi - q\gamma^\mu\psi A_\mu \Rightarrow (i\gamma^\mu \partial_\mu - m)\psi = q\gamma^\mu\psi A_\mu \Rightarrow \text{Diracgl. mit Feld} \\ -\frac{\partial \mathcal{L}}{\partial A_\mu} &= q\bar{\psi}\gamma^\mu\psi = j^\mu \quad \stackrel{+ (*)}{\Rightarrow} \quad \square A^\nu - \partial^\nu (\partial_\mu A^\mu) = j^\mu \quad \Rightarrow \text{Wellengl. mit Quelle} \end{aligned}$$

## Noether Theorem ( $\mathcal{L}$ und globale PT)

Lagrangedichte ist invariant unter infinitesimaler globaler Phasentransformation

$\Rightarrow$  Es gibt einen erhaltenen Strom  $j^\mu = \frac{\partial \mathcal{L}}{\partial(\partial_\mu \phi)} \cdot \phi$

$$\phi \rightarrow \phi' = e^{i\alpha} \phi \approx (1 + i\alpha) \phi, \quad \delta\phi = i\alpha\phi$$

$$\delta \mathcal{L} = 0, \quad \delta \mathcal{L} = \frac{\partial \mathcal{L}}{\partial \phi} \delta \phi + \frac{\partial \mathcal{L}}{\partial(\partial_\mu \phi)} \delta(\partial_\mu \phi)$$

$$\delta \mathcal{L} = \partial_\mu \left\{ \frac{\partial \mathcal{L}}{\partial(\partial_\mu \phi)} \delta \phi \right\} \quad \text{warum?} \quad \begin{aligned} \frac{\partial \mathcal{L}}{\partial \phi} &= \partial_\mu \frac{\partial \mathcal{L}}{\partial(\partial_\mu \phi)} \\ \delta(\partial_\mu \phi) &= \partial_\mu(\delta \phi) \quad + \text{Kettenregel!} \end{aligned}$$

$$\frac{1}{i\alpha} \delta \mathcal{L} = \partial_\mu \left\{ \underbrace{\frac{\partial \mathcal{L}}{\partial(\partial_\mu \phi)}}_{j^\mu \text{ ist erhalten}} \phi \right\} = 0$$

Beispiel: Diracteilchen  $\mathcal{L} = \bar{\psi}(i\gamma^\mu \partial_\mu - m)\psi$  ist inv. unter  $\psi \rightarrow \psi' = e^{i\theta}\psi$

$$\frac{\partial \mathcal{L}}{\partial(\partial_\mu \psi)} = \bar{\psi} i\gamma^\mu \quad \frac{\partial \mathcal{L}}{\partial(\partial_\mu \bar{\psi})} = 0 \quad j^\mu = \bar{\psi} i\gamma^\mu \psi = i\bar{\psi} \gamma^\mu \psi$$

ist erhalten  $\rightarrow$  Ladungsherhaltung

## Lagrange-Formalismus und lokale Phasentransformation

---

Ist  $\mathcal{L}_{Dirac}$  auch invariant unter lokaler Eichtrafo?  $\psi \rightarrow \psi' = e^{iq\chi(x)}\psi$

$$\mathcal{L}_{Test} = \bar{\psi}(i\gamma^\mu \partial_\mu - m)\psi \rightarrow \mathcal{L}' = \bar{\psi}'(i\gamma^\mu \partial_\mu - m)\psi' = \mathcal{L} - q(\partial_\mu \chi)\bar{\psi}\gamma^\mu \psi$$

Lösung: muss das Feld dazunehmen  $A_\mu$  mit

$$A'_\mu = A_\mu - \partial_\mu \chi \quad \text{wenn } \psi' = \psi(x)e^{iq\chi(x)}, \text{ bzw.:}$$

$$\mathcal{L} = i\bar{\psi}\gamma^\mu D_\mu \psi - m\bar{\psi}\psi$$

$$\rightarrow D_\mu = \partial_\mu + iqA_\mu$$

$\mathcal{L}$  noch nicht komplett, tue "freies Vektorfeld"  $\frac{1}{4}F_{\mu\nu}F^{\mu\nu}$  dazu

$$\text{Wellengl. des Photons: } \partial_\mu F^{\mu\nu} = j^\nu; \quad \partial_\mu \partial^\mu A^\nu - \underbrace{\partial^\nu (\partial_\mu A^\mu)}_{=0 \text{ in Lorenzezeichung}} = j^\nu$$

ist invariant unter  $A^\mu \rightarrow A'^\mu = A^\mu - \partial^\mu \chi$

**Wellengleichung eines massiven Vektorbosons (Feld  $W$  mit Masse  $M_W$ ):**

$$(\partial_\mu \partial^\mu + M_W^2)W^\nu - \partial^\nu (\partial_\mu W^\mu) = j^\nu$$

Unter  $W^\mu \rightarrow W'^\mu = W^\mu - \partial^\mu \chi \rightarrow$  Extraterm in Wellengl.:  $-M_W^2 \partial^\mu \chi$

$\Rightarrow$  Problem bei Vektorfeldern mit Masse!

# Eichfreiheit und Photopolarisation

Betrachte im Folgenden freies Photon mit 3-er Impuls  $\parallel z$ -Achse

Wellengleichung:  $\partial_\mu \partial^\mu A^\nu = 0$ ,      Polarisation:  $A^\mu = N \underbrace{\epsilon^\mu}_{\text{Polarisation (Vierervektor)}} e^{-ikx}$

Lorenz-Bedingung (LB)  $\Rightarrow \partial_\mu A^\mu = 0 \Rightarrow k_\mu \epsilon^\mu = 0$

Beispiel: Photon mit  $k^\mu = E(1, 0, 0, 1)$ ,  $\epsilon^\mu = (1, 1, 0, 1)$  erfüllt LB

$$\Rightarrow \text{LB} \leftrightarrow |\epsilon^0| = |\epsilon^3|$$

Eichtrafo mit  $\chi = \frac{e^{-ikx}}{-iE}$

$$\Rightarrow A'^\mu = A^\mu - \partial^\mu \chi = \text{interaktive Aufgabe } (0, 1, 0, 0) e^{-ikx}$$

$\Rightarrow$  kann Feld so umeichen, dass  $\vec{k} \cdot \vec{\epsilon} = 0$  (Coulombbeichung)

Feld  $A$  hat 4 Freiheitsgrade (DoF):

- 1 DoF durch Lorenzeichnung festgelegt
- Masselosigkeit  $\rightarrow$  1 DoF

$\Rightarrow$  es bleiben 2 DoF: mit  $\vec{k} = (0, 0, k)$ :

transversal polarisiert	$\vec{\epsilon}_1 = (1, 0, 0)$	$\vec{\epsilon}_2 = (0, 1, 0)$
zirkular polarisiert	$\vec{\epsilon}_{\lambda=+\frac{1}{2}} = -\frac{1}{\sqrt{2}}(1, i, 0)$	$\vec{\epsilon}_{\lambda=-\frac{1}{2}} = \frac{1}{\sqrt{2}}(1, -i, 0)$

## Bemerkungen zum Lagrange-Formalismus

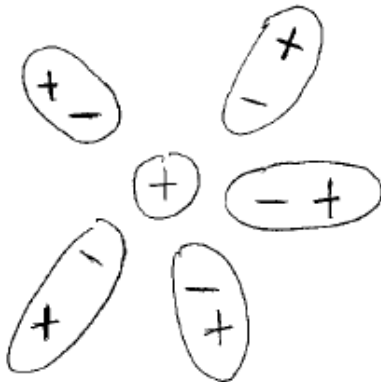
---

- Klassische Mechanik:  $L = T - V$   
QFT: L wird axiomatisch festgelegt
- Aus Lagrangedichte lassen sich Feynman-Regeln der Theorie ableiten  
(Verallgemeinerte Koordinaten oder Pfadintegral)

# Lagrangedichte, Bewegungsgleichungen und Feynmanregeln

	Freies Elektron	Wechselwirkung mit Photonfeld	Freies Photon
Lagrangian	$L_{Frei} = \bar{\psi}(\not{p} - m)\psi$	$L_{Int} = -q\bar{\psi}\gamma^\mu\psi A_\mu$	$L_{frei} = -\frac{1}{4}F_{\mu\nu}F^{\mu\nu}$
Euler-Lagr.gl.	$(\not{p} - m)\psi = 0$	$\rightarrow = q\gamma^\mu\Psi A_\mu   q\bar{\psi}\gamma^\mu\psi = j^\mu = \leftarrow \underbrace{\square A^\mu}_{(\text{Lor. Eichung})} = 0$	
Propagatoren: ~ quadratische Terme in $L_{frei}$	$\begin{aligned}\tilde{K} &= \frac{1}{-i(\not{p} - m)} \\ &= -\frac{(\not{p} + m)}{p^2 - m^2} \\ &= i \sum_s u \bar{u} \\ &= \frac{i}{p^2 - m^2} \\ &\equiv i \frac{\psi \bar{\psi}}{p^2 - m^2}\end{aligned}$		$\begin{aligned}g^{\mu\nu}\square A_\nu &= 0 \\ \tilde{D}^{\mu\nu} &= \frac{i \cdot g^{\mu\nu}}{q^2} \\ &= \frac{i \sum_{\lambda=1}^4 \epsilon_\mu^{(\lambda)*} \epsilon_\nu^{(\lambda)}}{q^2} \\ &\equiv \frac{-iAA}{q^2}\end{aligned}$
Vertices ~ $iL_{WW}$			

$\sum$  Photonpolarisationen:  $\rightarrow i \sum_{\lambda=1}^4 \epsilon_\mu^{(\lambda)*} \epsilon_\nu^{(\lambda)} = \sum_T \underbrace{\epsilon_\mu^T * \epsilon_\nu^T}_{\text{transversal}} + \underbrace{\epsilon_\mu^L * \epsilon_\nu^L}_{\text{longitudinal}} + \underbrace{\epsilon_\mu^S * \epsilon_\nu^S}_{\text{skalar}}$  (s. Halzen & Martin Seite 139 ff)



Bei kleinen Abständen sieht man mehr von der zentralen Ladung → quantifizieren

$$\mathbf{M}^{(1)} = -e^2 [\bar{u}(p_3)\gamma^\mu u(p_1)] \frac{g_{\mu\nu}}{q^2} [\bar{u}(p_4)\gamma^\nu u(p_2)]$$

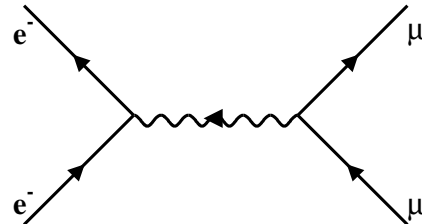
Folgendes: Herleitung siehe z.B. Halzen-Martin

$$\mathbf{M}^{Loop} = -\frac{ie^4}{q^4} [\bar{u}(p_3)\gamma^\mu u(p_1)] \int \frac{d^4k}{(2\pi)^4} \frac{Sp(\gamma_\mu(k+m)\gamma_\nu(q-k+m))}{(k^2-m^2)((q-k)^2-m^2)} [\bar{u}(p_4)\gamma^\nu u(p_2)]$$

Berücksichtigung zusätzliche Ordnung (Loop):

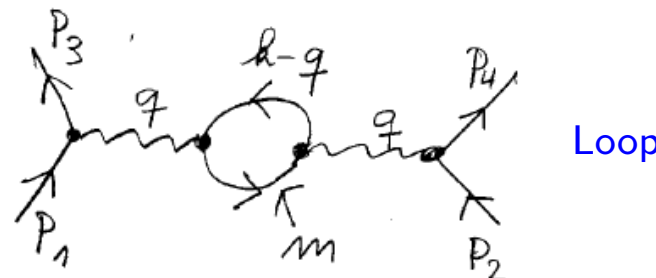
$$\frac{g_{\mu\nu}}{q^2} \rightarrow \frac{g_{\mu\nu}}{q^2} - \frac{i}{q^4} I_{\mu\nu} \quad \text{wobei } I_{\mu\nu} = -e^2 \int \frac{d^4k}{(2\pi)^4} \frac{Sp( )}{( )( )}$$

Beispiel:  $e^- \mu^- \rightarrow e^- \mu^-$



1. Ordnung

Jetzt zusätzlich:



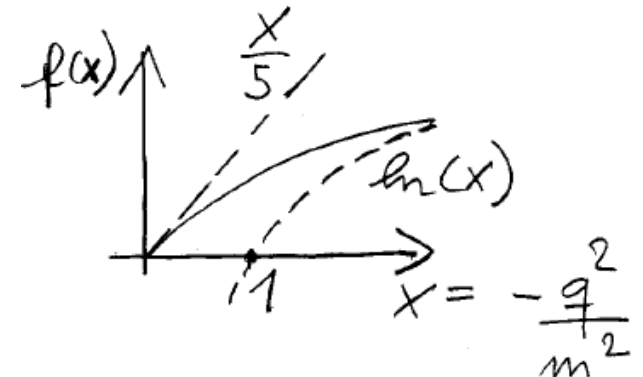
## Loopdiagramm-Integral

Man kann zeigen:  $I_{\mu\nu} = -ig_{\mu\nu}I(q^2)q^2$

$$I(q^2) = \frac{e^2}{12\pi^2} \left[ \underbrace{\int_{m^2}^{\infty} \frac{dx}{x}}_{\text{log. divergent}} - 6 \underbrace{\int_0^1 dz z(1-z) \ln \left( 1 - \frac{q^2}{m^2} z(1-z) \right)}_{f(q^2) > 0 \text{ und endlich}} \right]$$

$$\int_{m^2}^{\infty} \frac{dx}{x} = \lim_{M^2 \rightarrow \infty} \int_{m^2}^{M^2} \frac{dx}{x} = \lim_{M^2 \rightarrow \infty} \ln \left( \frac{M^2}{m^2} \right)$$

Abschneideparameter  $M^2$ , am Ende  $M^2 \rightarrow \infty$



$$I(q^2) = \frac{e^2}{12\pi^2} \left[ \ln \left( \frac{M^2}{m^2} \right) - f(q^2) \right] = \begin{cases} \frac{e^2}{12\pi^2} \ln \left( \frac{M^2}{m^2} \right) + \frac{e^2}{60\pi^2} \frac{q^2}{m^2} & \frac{-q^2}{m^2} \ll 1 \\ \frac{e^2}{12\pi^2} \ln \left( \frac{M^2}{-q^2} \right) & \frac{-q^2}{m^2} \gg 1 \end{cases}$$

Nebenbei:  $q^2 < 0$ ,  $q^2 = -4|\vec{p}|^2 \sin^2 \theta/2$  im CMS

$$\mathbf{M} = -e^2 [\bar{u}(p_3)\gamma^\mu u(p_1)] \frac{g_{\mu\nu}}{q^2} \left[ 1 - \frac{e^2}{12\pi^2} \left( \ln \left( \frac{M^2}{m^2} \right) - f(q^2) \right) \right] [\bar{u}(p_4)\gamma^\nu u(p_2)]$$

## Renormierung der Ladung:

---

Jetzt: Wir stecken  $\ln\left(\frac{M^2}{m^2}\right)$  in "renormierte" Ladung  $e_R$ :

$$e_R \equiv e \sqrt{1 - \frac{e^2}{12\pi^2} \ln\left(\frac{M^2}{m^2}\right)}$$

Damit wird die Amplitude zu:

$$M = -e_R^2 \begin{bmatrix} \bar{u} & \dots & u \\ \scriptstyle 31 & & \end{bmatrix} \frac{g_{\mu\nu}}{q^2} \left[ 1 + \frac{e_R^2}{12\pi^2} f(q^2) \right] \begin{bmatrix} \bar{u} & \dots & u \\ \scriptstyle 24 & & \end{bmatrix} + \mathcal{O}(e^6)$$

- $M$  taucht nicht mehr explizit auf,  $e_R$  ist die gemessene Ladung
- absorbieren endlichen Term  $f(q^2)$  in Kopplungsstärke

$$e_R(q^2) \equiv e_R(0) \sqrt{1 + \frac{e_R^2(0)}{12\pi^2} f(q^2)}$$

$$\text{mit } \alpha = \frac{e^2}{4\pi} \Rightarrow \alpha(q^2) = \alpha(0) \left( 1 + \frac{\alpha(0)}{3\pi} f(q^2) \right) \quad \text{"laufende" Kopplungskonstante}$$

Effekt sehr klein:  $\alpha(0) = \frac{1}{137}$ ,  $\alpha(100 \text{ GeV}) = \frac{1}{128}$

## Aufsummieren der Loopdiagramme

Loopdiagramme in allen Ordnungen:

$$\langle \text{loop} \rangle + \langle \text{loop loop} \rangle + \langle \text{loop loop loop} \rangle + \dots$$

$$\langle \text{loop} \rangle = \langle \text{loop} \rangle \left[ 1 - \frac{\langle \text{loop} \rangle}{\langle \text{loop} \rangle} + \left( \frac{\langle \text{loop} \rangle}{\langle \text{loop} \rangle} \right)^2 - \dots \right]$$

$$e_R(q^2) \equiv e \left[ \underbrace{1 - I(q^2) + I^2(q^2) - I^3(q^2) + \dots}_{\text{geometrische Reihe}} \right] = e \frac{1}{1 + I(q^2)}$$

$$\text{Im Grenzfall hoher } |q^2|: I(q) = \frac{\alpha}{3\pi} \ln \left( \frac{-q^2}{M^2} \right) \Rightarrow \alpha(q^2) = \frac{\alpha(0)}{1 - \frac{\alpha(0)}{3\pi} \ln \left( \frac{-q^2}{M^2} \right)}$$

Renormierungsprozedur: Wähle Renormalisierungsskala  $\mu$  (=Referenzskala) und subtrahiere  $\alpha(\mu^2)$  von  $\alpha(Q^2)$ , nun schicke  $M^2 \rightarrow \infty$

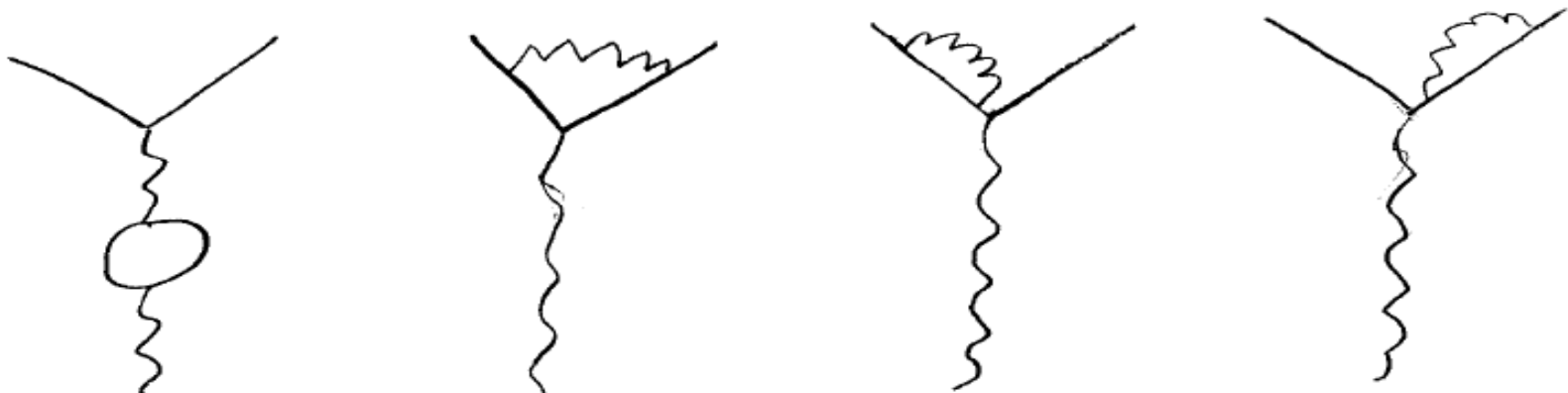
$$\Rightarrow \boxed{\alpha(q^2) = \frac{\alpha(\mu^2)}{1 - \frac{\alpha(\mu^2)}{3\pi} \ln \left( \frac{-q^2}{\mu^2} \right)}}$$

$\Rightarrow$  Verlauf der Kopplung mit  $q^2 \rightarrow$  fixiert Renormierungsgruppengl.

$\Rightarrow$  Absoluter Wert von  $\alpha(q^2)$  muss experimentell bestimmt werden!

# Komplettes Set von $\mathcal{O}(\alpha^2)$ Diagrammen

---



Modifiziert: Photon-Propagator Strom  $j_{fi}^\mu = -e\bar{u}\gamma^\mu u$

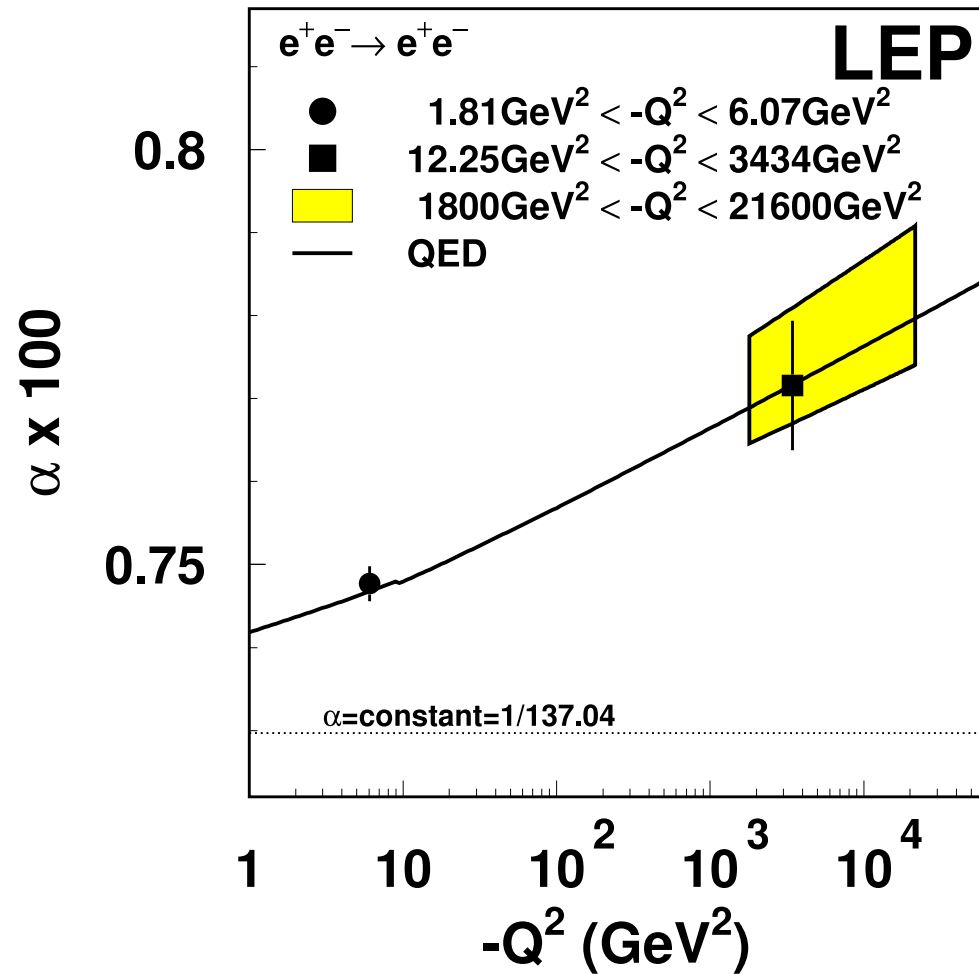
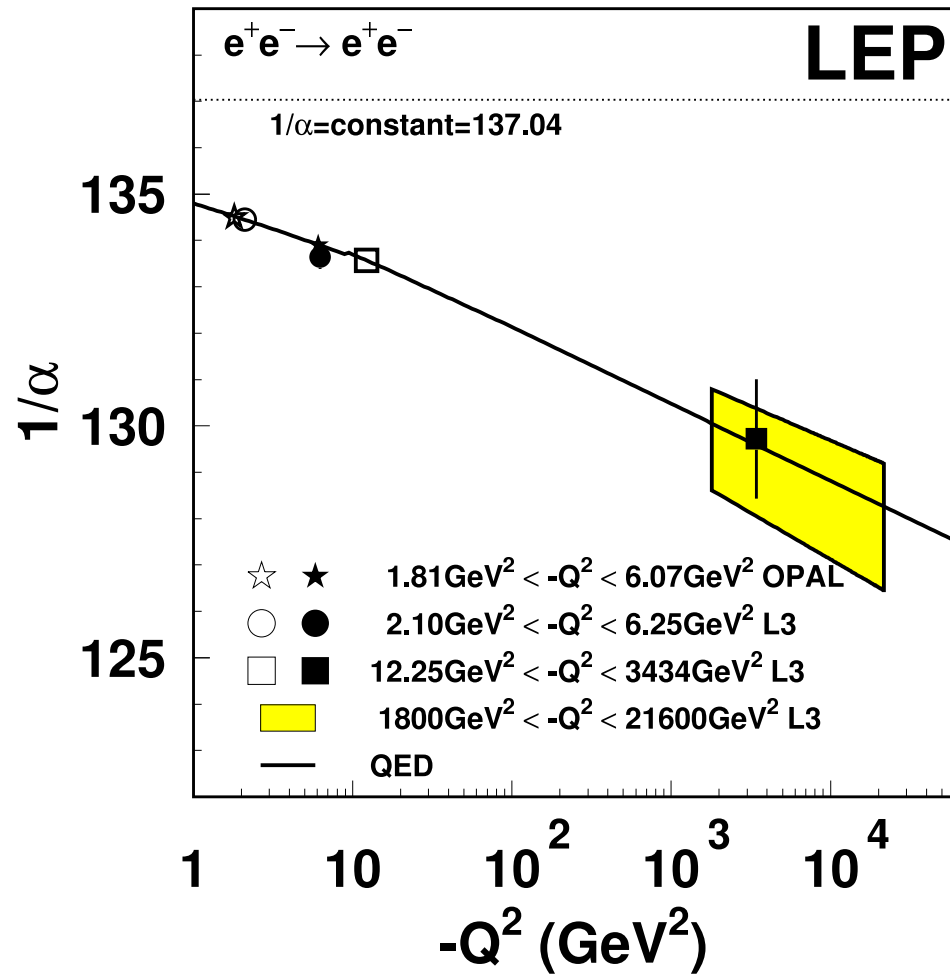
## Renormierung:

Ladung:  $-I(q^2) \stackrel{\text{Hochener.}}{=} \frac{\alpha}{3\pi} \ln \left( \frac{Q^2}{\mu^2} \right)$  \_\_\_\_\_ = 0, Ward-Identitäten \_\_\_\_\_

Magn. Moment: x  $g = 2 + \frac{\alpha}{\pi}$  x x

$e^-$ -Selbstenergie  
= Masse x x ja ja

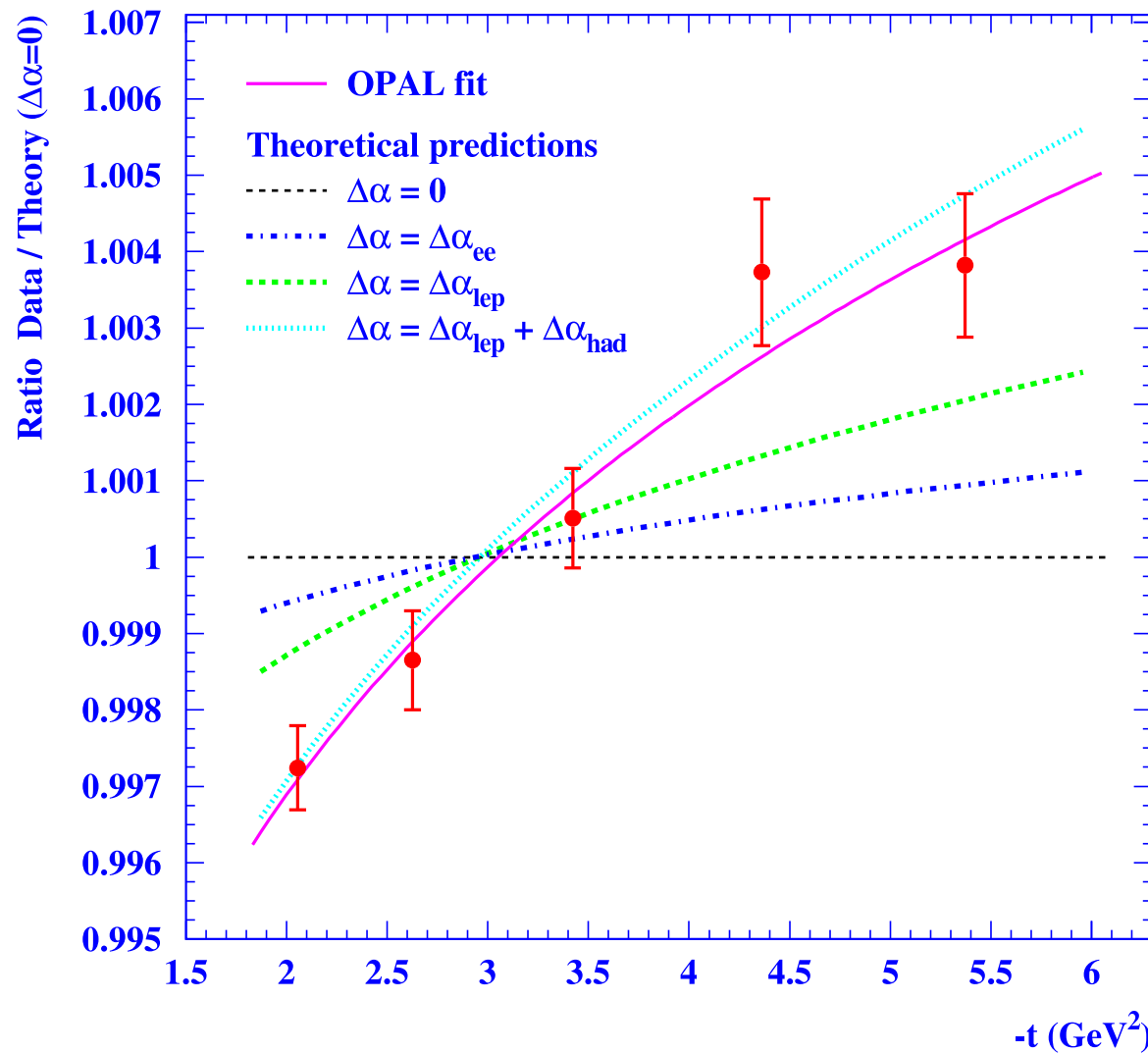
# Messung der laufenden Kopplung in Bhabha Streuung bei LEP



<http://arxiv4.library.cornell.edu/abs/hep-ex/0505072v3>

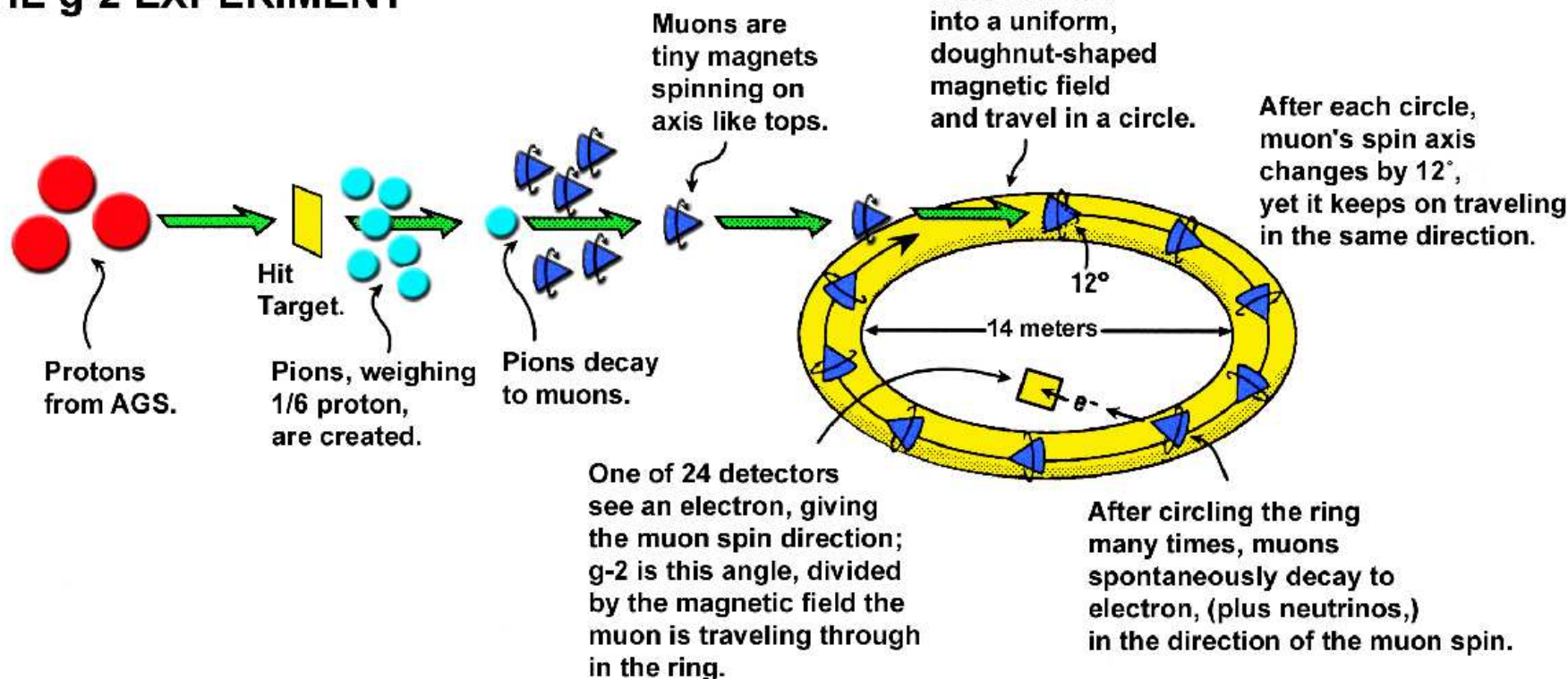
# Running $\alpha$ : Beiträge verschiedener Teilchensorten im Loop

OPAL

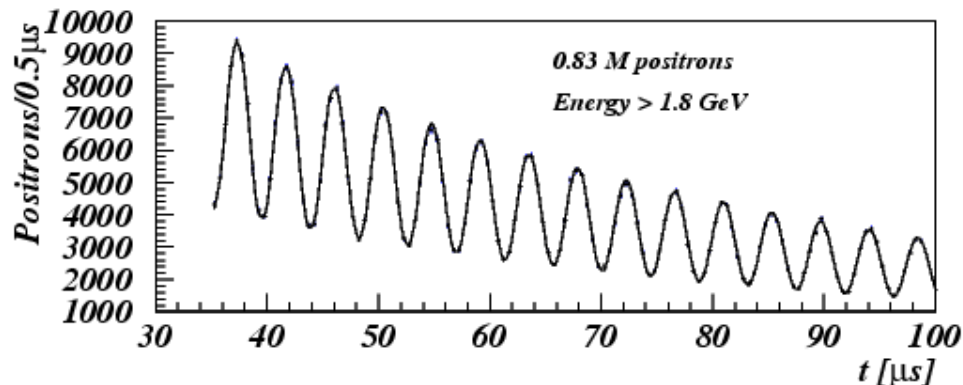


<http://www.slac.stanford.edu/econf/C060706/pdf/0610037.pdf>

## LIFE OF A MUON: THE g-2 EXPERIMENT

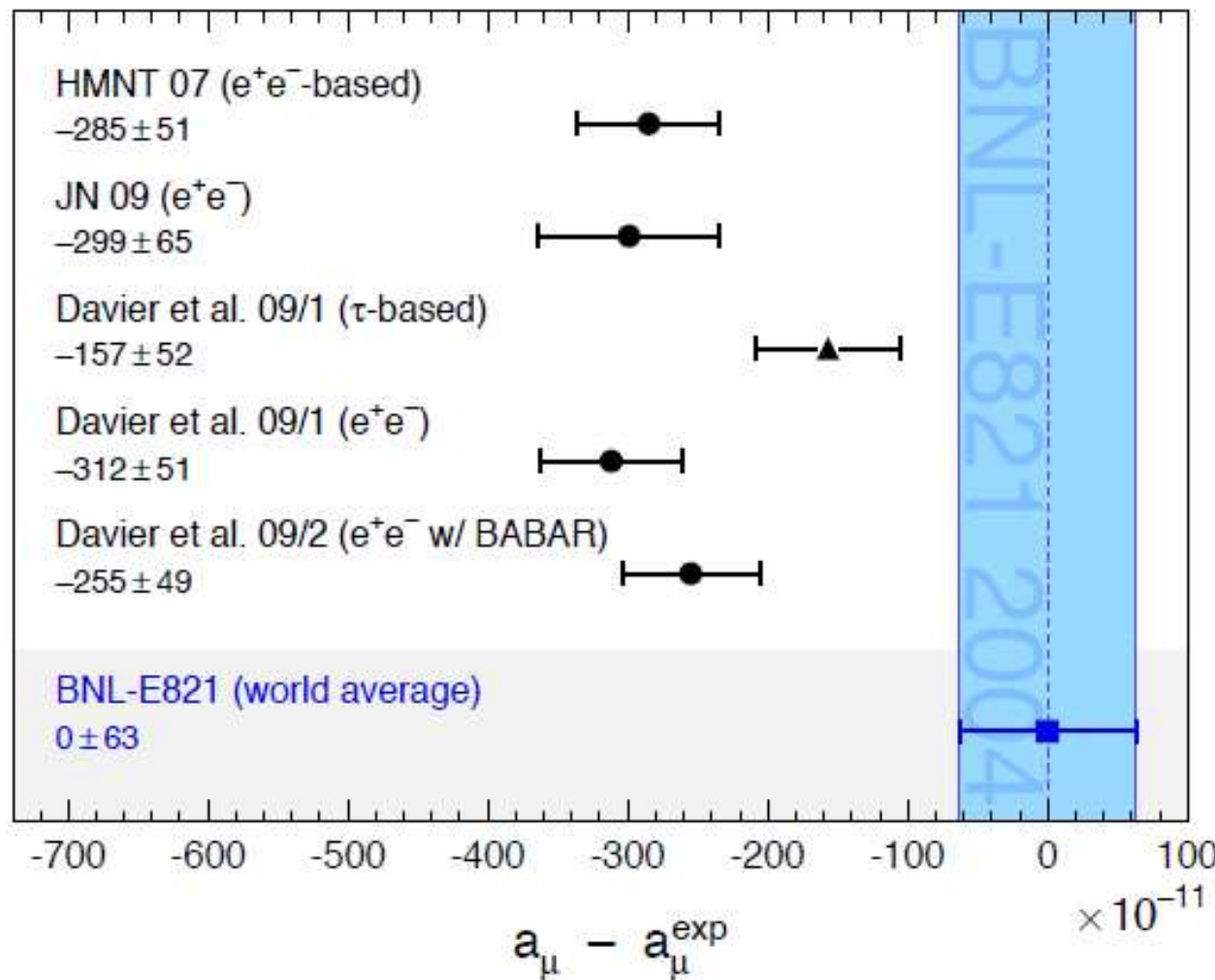


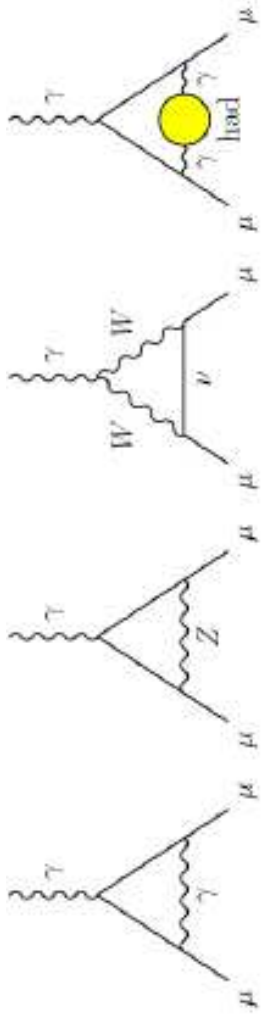
Zahl der  $e^+$  hängt von  $\phi(t)$  ab  
Oszillationsperiode  $\Rightarrow a_\mu = \frac{g-2}{2}$



Zyklotronfrequenz eines Teilchen im  $B$ -Feld:  $\omega_c = \frac{eB}{\gamma m}$   
 Larmorfrequenz der Spin Präzession  $\omega_L = \frac{eB}{\gamma m} [1 + \frac{g-2}{2} \gamma]$   
 $\phi(t) = (\omega_L - \omega_c) \cdot t = \frac{g-2}{2} \frac{eB}{m} t$   
 Winkel zwischen Spin und Impuls

## $g - 2$ Vergleich Experiment (BNL E821) vs Rechnungen





**Figure 1:** Representative diagrams contributing to  $a_\mu^{\text{SM}}$ . From left to right: first order QED (Schwinger term), lowest-order weak, lowest-order hadronic.

$$a_\mu^{\text{QED}} = 116\,584\,718.10(0.16) \times 10^{-11}$$

$$a_\mu^{\text{EW}} = 154(1)(2) \times 10^{-11}$$

$$\begin{aligned} a_\mu^{\text{Had[LO]}} &= 6\,894(42)(18) \times 10^{-11} && \text{aus } \sigma(e^+e^- \rightarrow \text{hadrons}) \\ a_\mu^{\text{Had[LO]}} &= 7\,103(50)(7)(28) \times 10^{-11} (\tau) && \text{aus } \tau \rightarrow \nu_\tau + \text{hadrons} \\ a_\mu^{\text{Had[NLO]}} &= 22(35) \times 10^{-11} \end{aligned}$$

$$a_\mu^{\text{SM}} = 116\,591\,788(2)(46)(35) \times 10^{-11} \quad \Delta a_\mu = a_\mu^{\text{exp}} - a_\mu^{\text{SM}} = 292(63)(58) \times 10^{-11}$$

$$a_\mu^{\text{SUSY}} \simeq \pm 130 \times 10^{-11}, \left( \frac{100 \text{ GeV}}{m_{\text{SUSY}}} \right)^2 \tan\beta,$$